



UNIVERSITAS INDONESIA

**PERANCANGAN KONDENSER REFLUX TIPE *SHELL AND TUBE*  
HEAT EXCHANGER SEBAGAI PENUNJANG SISTEM DESTILASI  
ETHANOL MELALUI SIMULASI *SOFTWARE*  
*SIMULATION FLOW SOLIDWORKS 2009***

**SKRIPSI**

**Diajukan sebagai salah satu syarat untuk memperoleh gelar Sarjana Teknik pada  
Program Studi Teknik Mesin Fakultas Teknik Universitas Indonesia**

**SUHARTOYO BUDI UTOMO**

**NPM : 040502065Y**

**FAKULTAS TEKNIK  
DEPARTEMEN TEKNIK MESIN  
DEPOK  
DESEMBER 2009**



UNIVERSITAS INDONESIA

**PERANCANGAN KONDENSER REFLUX TIPE SHELL AND TUBE HEAT  
EXCHANGER SEBAGAI PENUNJANG SISTEM DESTILASI ETHANOL  
MELALUI SIMULASI SOFTWARE  
*SIMULATION FLOW SOLIDWORKS 2009***

**SKRIPSI**

**SUHARTOYO BUDI UTOMO  
NPM : 040502065Y**

**FAKULTAS TEKNIK  
DEPARTEMEN TEKNIK MESIN  
DEPOK  
DESEMBER 2009**

## **HALAMAN PERNYATAAN ORISINALITAS**

Skripsi ini adalah hasil karya saya sendiri, dan semua sumber baik yang dikutip  
maupun dirujuk telah saya nyatakan dengan benar

Nama : Suhartoyo Budi Utomo

NPM : 040502065Y

Tanda Tangan :

Tanggal : 31 Desember 2009

## HALAMAN PENGESAHAN

Skripsi ini diajukan oleh :

Nama : Suhartoyo Budi Utomo

NPM : 040502065Y

Program Studi : Teknik Mesin

Judul Skripsi : PERANCANGAN KONDENSER REFLUX  
TIPE SHELL AND TUBE HEAT EXCHANGER  
SEBAGAI PENUNJANG SISTEM  
DESTILASI ETHANOL MELALUI  
SIMULASI SOFTWARE SIMULATION FLOW  
*SOLIDWORKS 2009*

Telah berhasil dipertahankan di hadapan Dewan Pengaji dan diterima sebagai bagian persyaratan yang diperlukan untuk memperoleh gelar Sarjana Teknik pada Program Studi Teknik Mesin, Fakultas Teknik, Universitas Indonesia

### DEWAN PENGUJI

Pembimbing : Dr. Ir. Ahmad Indra Siswantara ( .....)

Pengaji : Dr. Ir. Wardjito, M.Eng ( .....)

Pengaji : Dr. Ir. Engkos A. Kosasih, MT. ( .....)

Pengaji : Ir. Imansyah Ibnu Hakim, M.Eng ( .....)

Ditetapkan di : Depok

Tanggal : 31 Desember 2009

## **KATA PENGANTAR/UCAPAN TERIMA KASIH**

Puji syukur saya panjatkan kepada Allah SWT, karena atas berkat dan rahmat-Nya, saya dapat menyelesaikan skripsi ini. Penulisan skripsi ini dilakukan dalam rangka memenuhi salah satu syarat untuk mencapai gelar Sarjana Teknik Jurusan Teknik Mesin pada Fakultas Teknik Universitas Indonesia. Saya menyadari bahwa, tanpa bantuan dan bimbingan dari berbagai pihak, dari masa perkuliahan sampai pada penyusunan skripsi ini, sangatlah sulit bagi saya untuk menyelesaikan skripsi ini. Oleh karena itu, saya mengucapkan terima kasih kepada:

- (1) Dr. Ir. Ahmad Indra Siswantara, selaku dosen pembimbing yang telah menyediakan waktu, tenaga, dan pikiran untuk mengarahkan saya dalam penyusunan skripsi ini;
- (2) Dr. Ir. Warjito, selaku pembimbing akademis yang telah sabar membimbing dari awal semester hingga akhir.
- (3) Ir. Imansyah Ibnu Hakim, M.Eng dan Ir. Ardiansyah, M.Eng. selaku dosen Perpindahan Kalor dan Massa beserta Ir. Haryo Tedjo, M. Eng., yang telah banyak membantu dalam perancangan dan perkuliahan.
- (4) Karyawan dan staf DTM FTUI yang telah banyak membantu dalam penyelesaian skripsi ini (khususnya Pak Udiyono staf Lab lantai 3, mbak Yani Staf Perpustakaan, dan mbak Tina)
- (5) orang tua dan keluarga saya yang telah memberikan bantuan dukungan material dan moral (khususnya Ibu tersayang , Mas Wawan yang baik hati, dan mbah sami nenek tercinta); dan tetangga dekat yang senantiasa memberi semangat (novi dan sekeluarga).
- (6) rekan-rekan mesin angkatan 2005 (khususnya Fery dan Irsyad sebagai rekan skripsi, William S. M'05 atas sumbangsihnya tentang APK) dan semuanya yang tidak dapat disebutkan satu persatu.
- (7) rekan-rekan kuliah PKM (khususnya Ferdy Bastian, M'06)
- (8) rekan-rekan Kaskus UI (Orthanc, Thedjo, Lazy lily, dst) yang telah banyak mendukung saya dalam menyelesaikan skripsi ini.

- (9) rekan-rekan Kost Aries yang senantiasa memberikan semangat dan menghibur dikala sedih mapun senggang (rekan trup, futsal, billiard, dst).
- (10) rekan-rekan yang telah memberikan pinjaman pakaian untuk sidang, yaitu Dito afandi dan mas afdal.
- (11) kepada rekan-rekan yang telah meminjamkan uang untuk nge-print, yaitu : Ridwan, Imam Taufani, dan Dedi Setiono
- (12) kepada Kinanti Larasati yang senantiasa menjadi inspirasi dalam penggerjaan skripsi ini
- (13) kepada semua orang yang telah mendoakan kelancaran skripsi ini dan semua pihak yang telah membantu yang tidak dapat disebutkan namanya satu persatu.

Akhir kata, semoga Allah SWT berkenan membalas segala kebaikan semua pihak yang telah membantu. Semoga skripsi ini membawa manfaat bagi pengembangan ilmu.

Depok, 31 Desember 2009

Penulis

## **HALAMAN PERNYATAAN PERSETUJUAN PUBLIKASI TUGAS AKHIR UNTUK KEPENTINGAN AKADEMIS**

---

Sebagai sivitas akademik Universitas Indonesia, saya yang bertanda tangan dibawah ini:

Nama : Suhartoyo Budi Utomo

NPM : 040502065Y

Program Studi : Teknik Mesin

Departemen : Teknik Mesin

Fakultas : Teknik

Jenis karya : Skripsi

Demi pengembangan ilmu pengetahuan, menyetujui untuk memberikan kepada Universitas Indonesia Hak Bebas Royalti Noneksklusif (Non-exclusive Royalty-Free Right) atas karya ilmiah saya yang berjudul : **PERANCANGAN KONDENSER REFLUX TIPE SHELL AND TUBE HEAT EXCHANGER SEBAGAI PENUNJANG SISTEM DESTILASI ETHANOL MELALUI SIMULASI SOFTWARE SIMULATION FLOW SOLIDWORKS 2009** beserta perangkat yang ada (jika diperlukan). Dengan Hak Bebas Royalti Noneksklusif ini Universitas Indonesia berhak menyimpan, mengalihmedia/formatkan, mengelola dalam bentuk pangkalan data (database), merawat, dan mempublikasikan tugas akhir saya selama tetap mencantumkan nama saya sebagai penulis/pencipta dan sebagai pemilik Hak Cipta.

Demikian pernyataan ini saya buat dengan sebenarnya.

Dibuat di : Depok

Pada tanggal : 31 Desember 2009

Yang menyatakan

(Suhartoyo Budi Utomo)

## **ABSTRAK**

Nama : Suhartoyo Budi Utomo  
Program studi : Teknik Mesin  
Judul : PERANCANGAN KONDENSER REFLUX TIPE SHELL AND TUBE HEAT EXCHANGER SEBAGAI PENUNJANG SISTEM DESTILASI ETHANOL MELALUI SIMULASI SOFTWARE SIMULATION FLOW SOLIDWORKS 2009

Penggunaan energi pada bangunan-bangunan saat ini juga berdampak pada minimnya jumlah energi yang tersedia dan mendorong timbulnya berbagai efek negatif terhadap lingkungan. Oleh karena itu, penerapan konsep *green building* di Negara-negara maju sudah mulai dikembangkan. Salah satu cara untuk mengoptimalkannya adalah dengan menerapkan konsep *Zero Energy Building* (ZEB), baik dengan melakukan konservasi maupun konversi energi (salah satu potensi yang dapat dikembangkan adalah *PEM Fuel Cell*). Dalam mendukung konsep ZEB, maka suplai ethanol untuk PEM Fuel Cell akan diproduksi sendiri melalui sistem destilasi. Salah satu komponen yang vital pada sistem tersebut adalah kondenser. Oleh karena itu, pada penelitian ini akan dirancang kondenser reflux tipe *shell and tube* dengan kapasitas kalor 2287 W dengan temperatur uap ethanol sebesar 376,2 K pada tekanan 104 kPa. Perbandingan hasil perhitungan dengan simulasi *Solidworks Simulation Flow 2009* memiliki selisih 2.2- 11.93 % dan keduanya telah memenuhi syarat untuk terjadi kondensasi, sehingga dapat dicapai desain yang lebih optimal.

Kata kunci :  
CFD, Kondenser Ethanol, Shell and tube heat exchanger

## **ABSTRACT**

Name : Suhartoyo Budi Utomo  
Study Program : Mechanical Engineering  
Title : DESIGN OF REFLUX CONDENSER SHELL AND TUBE HEAT EXCHANGER TYPE TO SUPPORT ETHANOL DESTILATION SYSTEM SIMULATED BY SIMULATION FLOW SOLIDWORKS 2009

The utilize of building energy tend to reduce amount of available energy and make negative effects to the environment. Furthermore, the application of *Green Building* in the advance countries has been developed. One of way to optimize it is *Zero Energy Building (ZEB)* concept, both by doing conservation or conversion. (*PEM Fuel Cell*). In order to support ZEB, ethanol supply for PEM Fuel Cell will be produced itself by destillation system. Condenser is the vital component on that system. Because of that important role, this research try to design reflux condenser shell and tube type with heat capacity 2287 W, temperatur inlet ethanol 376,2 K, at pressure 104 kPa. The verification of simulation with *Solidworks Simulation Flow 2009* has a range different about 2.2- 11.93 %. Both of them has fulfill the requirement to make vapor ethanol condensed, so the design will be optimum and efficient.

Keywords :

CFD, Reflux Condenser, Shell and Tube Heat Exchanger

# DAFTAR ISI

|   | Halaman |
|---|---------|
| HALAMAN JUDUL                             | i       |
| HALAMAN PERNYATAAN ORISINALITAS           | ii      |
| LEMBAR PENGESAHAN                         | iii     |
| KATA PENGANTAR                            | iv      |
| LEMBAR PERSETUJUAN PUBLIKASI KARYA ILMIAH | vi      |
| ABSTRAK                                   | vii     |
| DAFTAR ISI                                | ix      |
| DAFTAR GAMBAR                             | xi      |
| DAFTAR TABEL                              | xii     |
| DAFTAR LAMPIRAN                           | xiii    |
| NOTASI                                    | xiv     |
| <br><b>BAB I PENDAHULUAN</b>              | <br>1   |
| 1.1 LATAR BELAKANG MASALAH                | 1       |
| 1.2 PERUMUSAN MASALAH                     | 1       |
| 1.3 TUJUAN PENULISAN                      | 2       |
| 1.4 RUANG LINGKUP PENULISAN               | 2       |
| 1.5 SISTEMATIKA PENULISAN                 | 3       |
| <br><b>BAB II DASAR TEORI</b>             | <br>4   |
| 2.1 ZERO ENERGI BUILDING                  | 4       |
| 2.2 PEM FUEL CELL                         | 4       |
| 2.3 SISTEM DESTILASI ETHANOL              | 5       |
| 2.4 COMPUTATIONAL FLUID DYNAMICS          | 5       |
| 2.5 PERPINDAHAN KALOR                     | 6       |
| 2.6 ALAT PENUKAR KALOR                    | 7       |
| 2.6.1 Kondenser                           | 8       |
| 2.6.2 Perancangan Kondenser               | 9       |

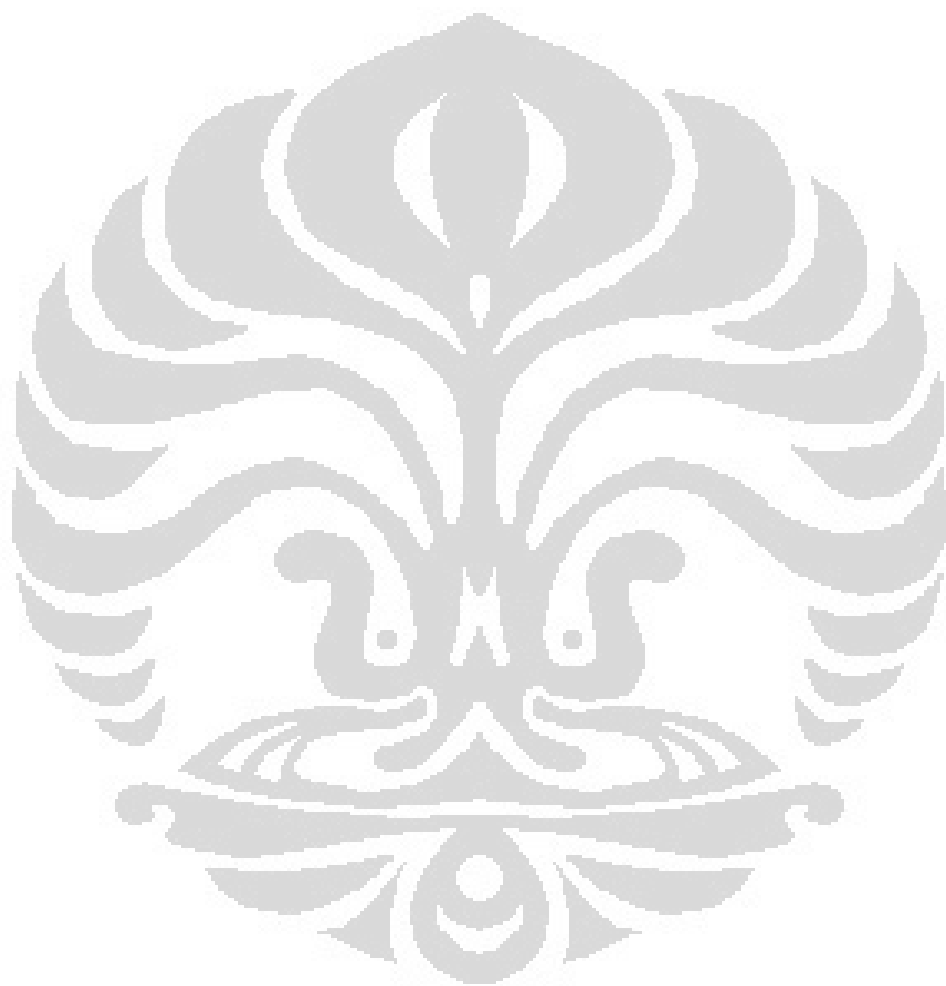
|   |    |
|---|----|
| <b>BAB III PERHITUNGAN</b>                                  | 17 |
| 3.1 Spesifikasi   | 17 |
| 3.2 Keseimbangan Energi                                     | 18 |
| 3.3 <i>Mean Temperature Difference</i>                      | 19 |
| 3.4 <i>Heat Transfer Area</i>                               | 19 |
| 3.5 <i>Tube</i>   | 19 |
| 3.6 <i>Shell</i>  | 19 |
| 3.7 Perkiraan Nilai Keseluruhan Koefisien Perpindahan Kalor | 20 |
| 3.8 <i>Heat Transfer Coefficient</i>                        | 20 |
| <b>BAB IV PEMODELAN DAN SIMULASI</b>                        | 22 |
| 4.1 PEMODELAN CAD   | 22 |
| 4.2 SIMULSI CFD   | 23 |
| 4.2.1 Computational Domain                                  | 23 |
| 4.2.2 Optimasi Mesh   | 24 |
| 4.2.3 Hasil Simulasi  | 26 |
| 4.3 VERIFIKASI  | 29 |
| <b>BAB VI KESIMPULAN DAN SARAN</b>                          | 30 |
| 5.1 KESIMPULAN  | 30 |
| 5.2 SARAN   | 31 |
| <b>DAFTAR PUSTAKA</b>                                       | 32 |
| <b>LAMPIRAN</b>   | 33 |

## DAFTAR GAMBAR

|   |    |
|---|----|
| Gambar 2.1 Proses Reaksi elektrokimia Pada Sel Tunam                        | 4  |
| Gambar 2.2 Sistem Destilasi Ethanol   | 5  |
| Gambar 2.3 Klasifikasi Alat Penukar Kalor                                   | 8  |
| Gambar 2.4 Klasifikasi Kondenser  | 8  |
| Gambar 2.5 Kondenser Reflux   | 9  |
| Gambar 2.6 Prosedur perhitungan desain <i>shell and tube heat exchanger</i> | 10 |
| Gambar 2.7 Grafik faktor koreksi temperatur                                 | 13 |
| Gambar 2.8 <i>Tube patterns</i>   | 13 |
| Gambar 2.9 <i>Pitch Square</i>  | 14 |
| Gambar 4.1 Tampak Isometri  | 22 |
| Gambar 4.2 Tampak Samping dan Depan   | 22 |
| Gambar 4.3 Optimasi Simetris Computational Domain                           | 23 |
| Gambar 4.4 Computational Domain Awal  | 23 |
| Gambar 4.5 Mesh Automatic Level 3   | 24 |
| Gambar 4.6 <i>Mesh Adaptive</i>   | 25 |
| Gambar 4.7 Distribusi Temperatur dan kondensasi Fluida Ethanol              | 26 |
| Gambar 4.8 Distribusi Temperatur Fluida Air                                 | 26 |
| Gambar 4.9 Distribusi Tekanan Fluida Air                                    | 28 |
| Gambar 4.10 Distribusi Tekanan Fluida Ethanol                               | 28 |

## **DAFTAR TABEL**

|            |                                      |    |
|------------|--------------------------------------|----|
| Tabel 2.1. | Perkiraan nilai koefisien menyeluruh | 11 |
| Tabel 2.2. | Nilai konstanta $K_1$ dan $n_1$      | 13 |
| Tabel 2.3. | Koefisien faktor <i>fouling</i>      | 15 |



## **DAFTAR LAMPIRAN**

|   |    |
|---|----|
| Lampiran 1 Standar Tube                   | 34 |
| Lampiran 2 Standar TEMA                   | 36 |
| Lampiran 3 Koreksi Faktor F               | 37 |
| Lampiran 4 Unit Conversion                | 38 |
| Lampiran 5 Tabel Fouling                  | 41 |
| Lampiran 6 Perkiraan Koefisien Menyeluruh | 43 |
| Lampiran 7 Properties dengan RefProp      | 44 |
| Lampiran 8 Hasil Simulasi Keseluruhan     | 45 |
| Lampiran 9 Prosedur CAD                   | 52 |
| Lampiran 10 Prosedur Simulasi             | 53 |

## NOTASI

|                 |   |                                     |
|-----------------|---|-------------------------------------|
| $q$             | laju perpindahan kalor                                | [W]                                 |
| $k$             | konduktivitas termal                                  | [W/m°K]                             |
| $\frac{dT}{dx}$ | gradient suhu ke arah perpindahan kalor               |                                     |
| $T_s$           | Temperatur permukaan                                  | [K]                                 |
| $T_{sur}$       | Temperatur Lingkungan                                 | [K]                                 |
| $\sigma$        | konstanta Boltzman $5,669 \times 10^{-8}$             | [W/m <sup>2</sup> .K <sup>4</sup> ] |
| $h$             | koefisien perpindahan kalor konveksi                  | [W/m <sup>2</sup> °K]               |
| $T_w$           | Temperatur plat                                       | [K]                                 |
| $T_\infty$      | Temperatur fluida                                     | [K]                                 |
| $U$             | Koefisien perpindahan kalor menyeluruh                | [W/m°K]                             |
| $A$             | Luas permukaan perpindahan kalor                      | [m <sup>2</sup> ]                   |
| $A_o$           | Luas permukaan perpindahan kalor keseluruhan          | [m <sup>2</sup> ]                   |
| $\Delta T_m$    | Beda suhu rata-rta yang digunakan dalam penukar kalor | [K]                                 |
| $m_h$           | laju aliran fluida panas                              | [kg/s]                              |
| $c_{p,h}$       | Nilai kalor spesifik fluida panas                     | [J/kg°K]                            |
| $T_{h,i}$       | Temperatur inlet fluida panas                         | [K]                                 |
| $T_{h,o}$       | Temperatur outlet fluida panas                        | [K]                                 |
| $m_c$           | laju aliran fluida dingin                             | [kg/s]                              |
| $c_{p,c}$       | Nilai kalor spesifik fluida dingin                    | [J/kgK]                             |
| $T_{c,o}$       | Temperatur inlet fluida dingin                        | [K]                                 |
| $T_{c,i}$       | Temperatur outlet fluida dingin                       | [K]                                 |
| $U_o$           | Koefisieon perpindahan kalor menyeluruh               | [W/mK]                              |
| $h_o$           | Outside fluid film coefficient                        | [W/mK]                              |

|          |   |                        |
|----------|---|------------------------|
| $h_i$    | Inside fluid film coefficient           | [W/mK]                 |
| $h_{od}$ | Outside dirt factor (fouling factor)    | [W/mK]                 |
| $h_{id}$ | Inside dirt factor (fouling factor)     | [W/mK]                 |
| $k_w$    | Konduktifitas termal dinding tube       | [W/mK]                 |
| $d_i$    | Inside tube diameter                    | [m]                    |
| $d_o$    | Outside tube diameter                   | [m]                    |
| $N_t$    | Jumlah tube                             |                        |
| $D_b$    | Diameter <i>bundle</i>                  | [m]                    |
| $d_o$    | Diameter luar <i>tube</i>               | [m]                    |
| $D_s$    | Diameter <i>Shell</i>                   | [m]                    |
| $D_e$    | Diameter Equivalent                     | [m]                    |
| $G_s$    | Shell side mass velocity untuk $D_e$    | [kg/s.m <sup>2</sup> ] |
| $A_s$    | Heat transfer area untuk $D_e$          | [m <sup>2</sup> ]      |
| $W$      | mass flowrate pada tube                 | [kg/s]                 |
| $Re_i$   | Reynold Number untuk internal flow      |                        |
| $Re_o$   | Reynold Number untuk eksternal flow     |                        |
| $Pr$     | Prandtl Number                          |                        |
| $Nu$     | Nusselt Number                          |                        |
| $R_D$    | <i>Fouling Factor</i>                   | [W/mK]                 |
| $R_{di}$ | <i>Fouling Factor for tube on fluid</i> | [W/mK]                 |
| $R_{do}$ | <i>Fouling Factor for tube on Shell</i> | [W/mK]                 |
| $C$      | Clearence                               | [m]                    |
| $P_T$    | Pitch Square                            | [m]                    |
| $B$      | Baffle Spacing                          | [m]                    |
| $\mu$    | Viskositas Dinamik                      | [Pa.s]                 |

# BAB I

## PENDAHULUAN

### 1.1 LATAR BELAKANG

Berkurangnya cadangan sumber energi minyak bumi khususnya dan energi fosil pada umumnya merupakan persoalan penting saat ini. Terutama keterkaitannya sebagai sumber bahan bakar pembangkit tenaga listrik dan dampak yang ditimbulkannya pada kerusakan lingkungan dan perubahan iklim. Penggunaan energi pada bangunan-bangunan saat ini juga berdampak pada minimnya jumlah energi yang tersedia dan mendorong timbulnya berbagai efek negatif terhadap lingkungan. Selain itu, kebutuhan akan energi semakin meningkat dan penggunaan energi semakin berlebih. Oleh karena itu, penerapan konsep *green building* di Negara-negara maju sudah mulai dikembangkan. Salah satu cara untuk mengoptimalkannya adalah dengan menerapkan konsep *Zero Energy Building* (ZEB), baik dengan melakukan konservasi maupun konversi energi (pemanfaatan potensi energi yang bersifat dapat diperbarui ).

Salah satu potensi yang dapat dikembangkan adalah *PEM Fuel Cell*. Sebuah teknologi konversi energi potensial kimia gas hidrogen menjadi energi termal dan potensial listrik melalui proses oksidasi (ionisasi proton dan elektron) dan reduksi (pembentukan air) pada sebuah membran polymer berkatalis. Model tersebut mempunyai dimensi relatif kecil dan banyak diaplikasikan untuk peralatan berpindah (mobile) serta untuk rumah tinggal (residence).

Dalam mendukung konsep ZEB, maka suplai ethanol untuk PEM Fuel Cell akan diproduksi sendiri melalui sistem destilasi. Salah satu komponen yang vital pada sistem tersebut adalah kondenser. Oleh karena itu, pada penelitian ini akan dirancang kondenser yang memiliki desain yang efisien untuk sistem tersebut.

## 1.2 TUJUAN PENULISAN

Tujuan dan manfaat dari desain kondenser ini adalah untuk

1. Merancang kondenser reflux untuk menunjang sistem destilasi ethanol
2. Melakukan simulasi dan verifikasi perancangan kondenser dengan menggunakan perangkat lunak

Dengan pertimbangan-pertimbangan di atas maka diharapkan perancangan kondenser yang dihasilkan optimal, efektif, dan efisien.

## 1.3 RUANG LINGKUP PENULISAN

Pembatasan masalah dalam penulisan ini adalah:

- ❑ Perancangan kondenser reflux tipe *shell and tube* dengan satu laluan dengan posisi vertikal.
- ❑ Melakukan simulasi dan verifikasi dengan hasil perhitungan.
- ❑ Perangkat lunak yang digunakan adalah *Simulation Flow Solidworks 2009*

## 1.4 SISTEMATIKA PENULISAN

Sistematika penulisan dalam penelitian ini akan dilakukan dengan tahapan sebagai berikut :

### BAB I. PENDAHULUAN

Berisikan latar belakang penelitian, rumusan masalah, tujuan diadakannya penelitian, ruang lingkup penelitian, dan sistematika penulisan.

### BAB II. DASAR TEORI

Bab tinjauan pustaka, berisikan teori – teori, literatur dan informasi yang digunakan dalam mendukung dalam penelitian ini.

### BAB III. PERHITUNGAN

Bab ini berisikan proses perhitungan dalam proses pemodelan dan perancangan konstruksi kondenser reflux.

### BAB IV. PEMODELAN DAN SIMULASI

Bab ini akan membahas pemodelan dan simulasi perancangan kondenser reflux yang disertai verifikasi dari hasil perhitungan

## BAB V. KESIMPULAN

Bab ini akan berisi kesimpulan yang diambil dari analisa Tugas Akhir dan saran-saran untuk tahap pengembangan selanjutnya yang mungkin dilakukan.



**Universitas Indonesia**

## BAB II

### DASAR TEORI

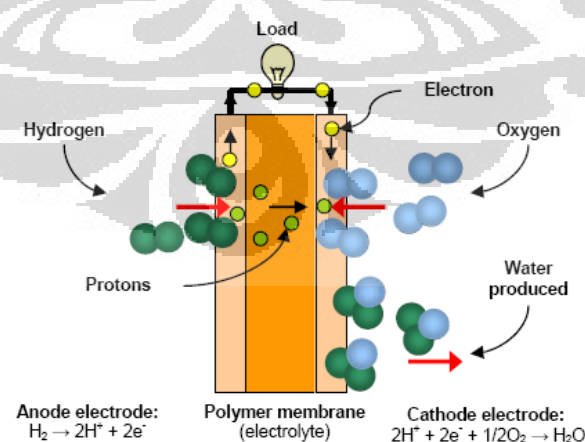
#### 2.1 ZERO ENERGY BUILDING

*Zero Energy Building* (ZEB) adalah sebuah bangunan komersial atau residensial dengan pengurangan kebutuhan energi yang besar melalui efisiensi yang didapat, contohnya kebutuhan energi secara seimbang dapat di suplai dari teknologi yang dapat di perbaharui. Salah satu sumber energi yang dapat diperbaharui tersebut adalah *PEM Fuel Cell*

Kontribusi bangunan komersial pada masalah pemanasan global semakin meningkat. Peningkatan efisiensi energi dan pendorongan produksi *on-site power generation* akan secara signifikan mengurangi dampak negatif bangunan komersial tersebut terhadap lingkungan. ZEBs lebih sehat, nyaman, dan mengurangi polusi, bahkan tidak mahal untuk dioperasikan.

#### 2.2 PEM FUEL CELL

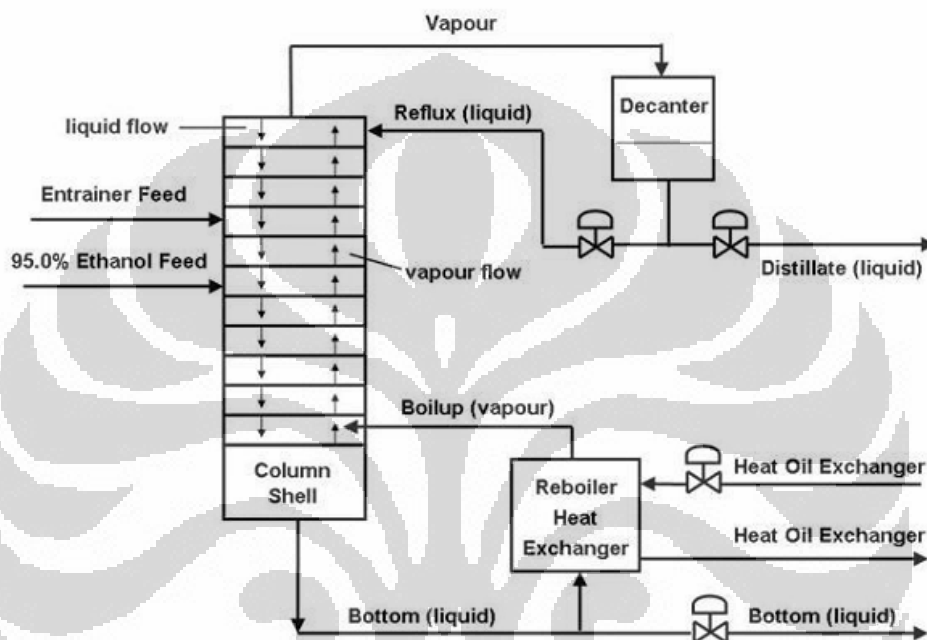
Fuel Cell membran elektrolit adalah sebuah piranti konversi energi elektromia pada sebuah membran elektrolit hasil reaksi gas reaktan hidrogen dan oksigen dengan bantuan katalis. Selain potensial gerak listrik dalam reaksi elektrokimia juga akan dihasilkan energi termal reaksi.



Gambar 2.1 Proses Reaksi elektrokimia Pada Sel Tunam

### 2.3 SISTEM DESTILASI ETHANOL

Salah satu potensi yang dapat dikembangkan pada konsep ZEB pada penelitian ini adalah PEM Fuel Cell. Oleh karena itu, sebagai suplai bahan alkohol diperlukan ethanol yang didapatkan dari destilasi fermentasi. Adapun untuk mendapatkan ethanol yang lebih banyak diperlukan desain sistem destilasi yang efisien. Merujuk pada jurnal [9], skema yang ada adalah sebagai berikut,



Gambar 2.2 Sistem Destilasi Ethanol

Pada kesempatan ini peneliti akan merancang komponen condenser reflux (*Decanter*) pada sistem tersebut. Dari hasil pembahasan diskusi dengan tim, maka dipilihlah jenis alat penukar kalor tipe *shell and tube*.

### 2.4 COMPUTATIONAL FLUID DYNAMICS

CFD merupakan teknik komputasi yang telah banyak digunakan untuk memyelesaikan permasalahan fluida di bidang engineering. Melalui pendekatan metode volum hingga dengan berbagai persamaan-persamaan yang mengaturnya, CFD telah banyak dikembangkan sebagai tool yang handal. Banyak perangkat lunak yang telah berkembang hingga saat ini, salahsatunya adalah *Simulation Flow Solidworks 2009*. Walaupun begitu, pada dasarnya CFD terdiri dari 3 modul:

- Preprocessor

Modul untuk pendefinisian properties maupun geometri model dengan boundary conditionnya hingga ke dalam penentuan mesh-nya.

- Solver

Solver merupakan modul untuk memecahkan permasalahan yang telah didefinisikan oleh Preprocessor

- Postprocessor

Merupakan visualisasi hasil dari solusi yang diberikan solver, baik dengan grafik maupun gradasi warna.

## 2.5 PERPINDAHAN KALOR

### 2.4.1. KONDUKSI

Konduksi merupakan perpindahan kalor yang terjadi pada benda padat. Jika pada suatu benda terdapat gradien suhu, maka akan terjadi perpindahan energi dari bagian suhu tinggi ke bagian yang bersuhu rendah. Persamaan di bawah tentang konduksi kalor disebut dengan hukum Fourier (Joseph Fourier; ahli matematika fisika dari Perancis).

$$q = -kA \frac{dT}{dx} \quad (2-1)$$

### 2.4.2. KONVEKSI

Konveksi adalah pertukaran energi antara pemukaan benda padat yang mempunyai luasan A dengan fluida sekitarnya.

Persamaan umum perpindahan kalor konveksi adalah :

*Fluksi kalor (laju kalor Q / luas permukaan A), Q/A, sebanding dengan beda temperatur antara fluida dan permukaan padat. Pembandingnya dikenal dengan koeffisien perpindahan kalor konveksi yang disimbolkan dengan h.*

$$q = hxA \times (T_s - T_\infty) \quad (2.2)$$

### 2.4.3. RADIASI

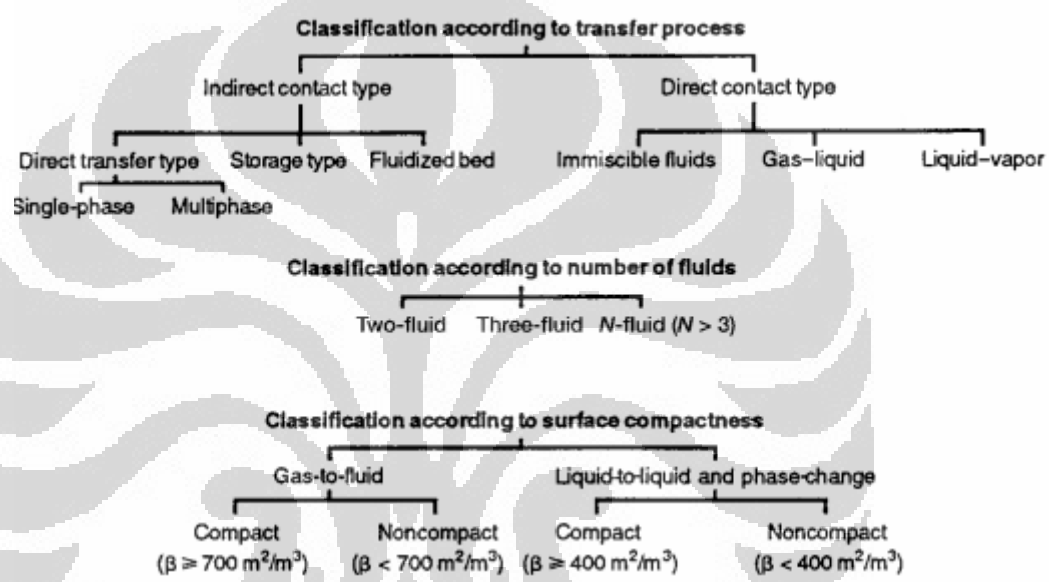
Radiasi panas adalah pancaran gelombang elektromagnetik dari permukaan atau gas yang beradiasi yang mempunyai temperatur tinggi. Radiasi panas tidak membutuhkan media penghantar seperti halnya pada konduksi atau konveksi panas. Radiator (penyinar) ideal, atau *benda hitam (black body)*,

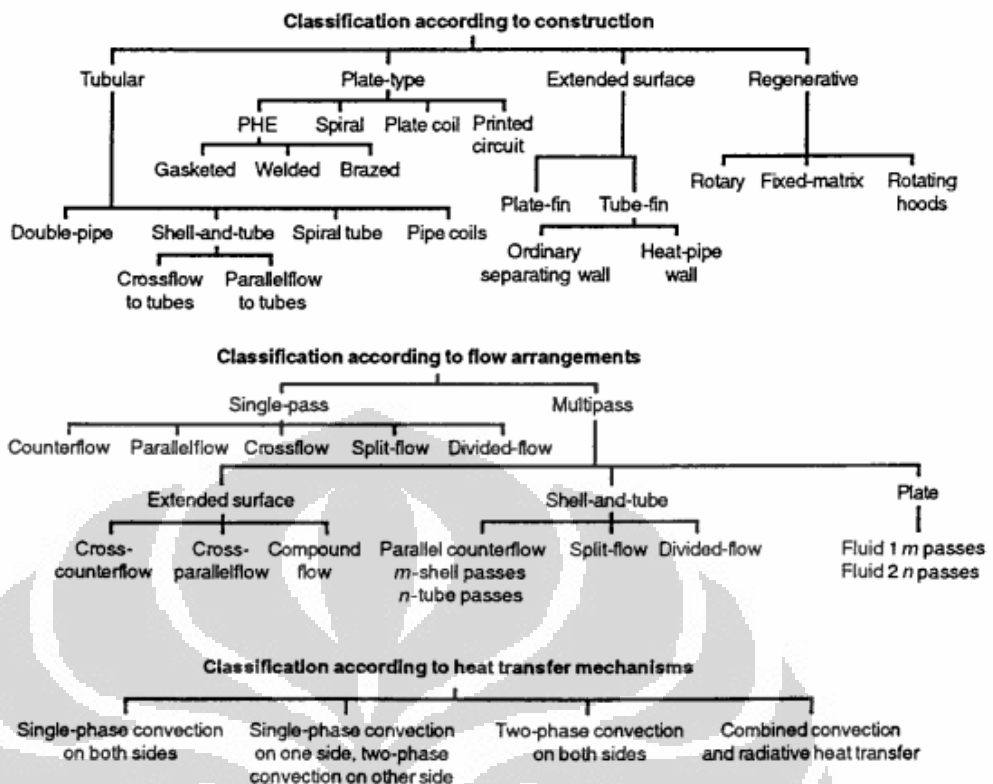
memancarkan energi dengan laju yang sebanding dengan pangkat empat suhu absolut benda. Jika dua benda saling bertukar kalor dengan proses radiasi, maka kalor bersih yang bertukar sebanding dengan beda  $T^4$ . jadi,

$$q = \sigma A (T_s - T_{Sur}) \quad (2.3)$$

## 2.6 ALAT PENUKAR KALOR

Alat penukar kalor merupakan alat yang berfungsi untuk memindahkan kalor antara dua atau lebih aliran fluida.

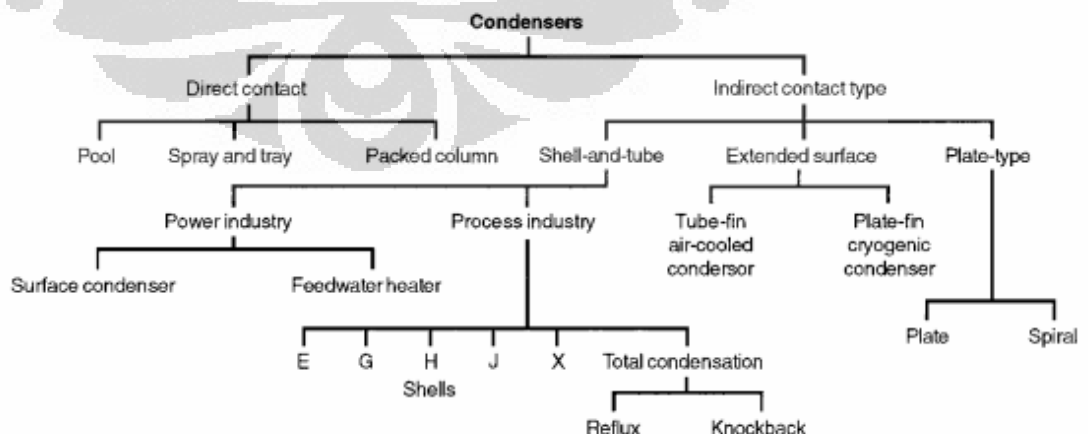




Gambar 2.3 Klasifikasi Alat Penukar Kalor [7]

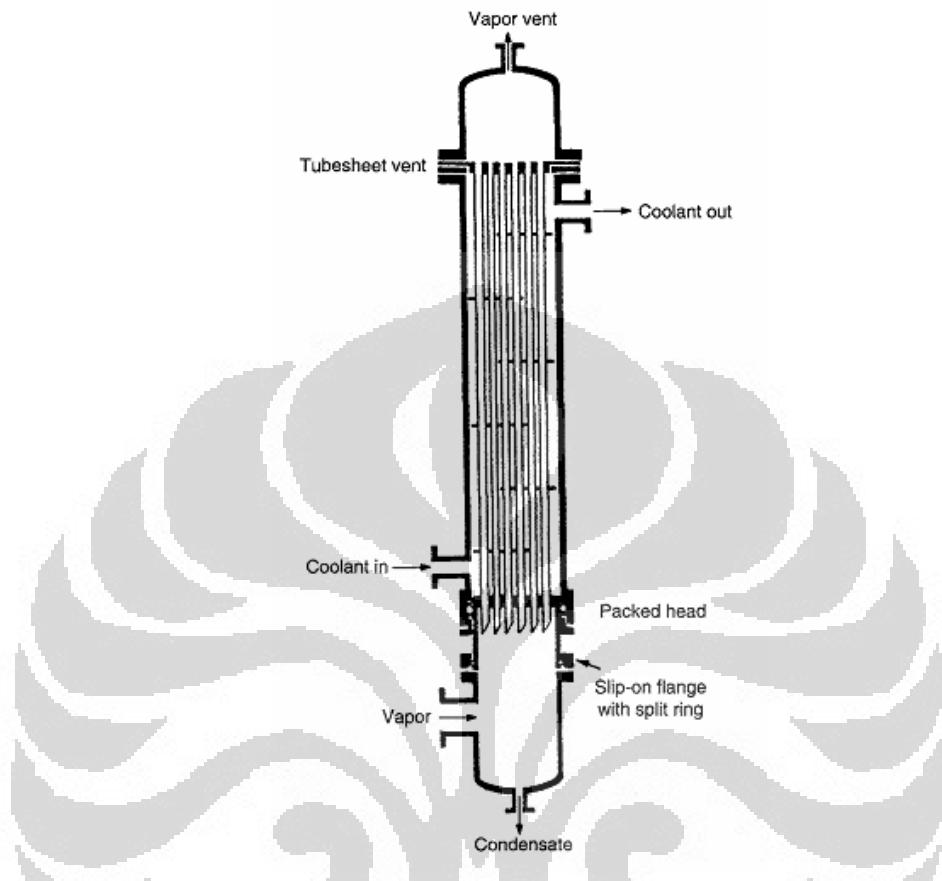
### 2.6.1 Kondenser

Salah satu aplikasi alat penukar kalor yang banyak digunakan adalah kondenser. Kondenser adalah alat yang berfungsi untuk menyerap kalor yang dilepas oleh fluida panas.



Gambar 2.4 Klasifikasi Kondenser [8]

Pada perancangan kondenser ini dipilih jenis kondenser reflux, karena biasa digunakan dalam sistem destilasi.

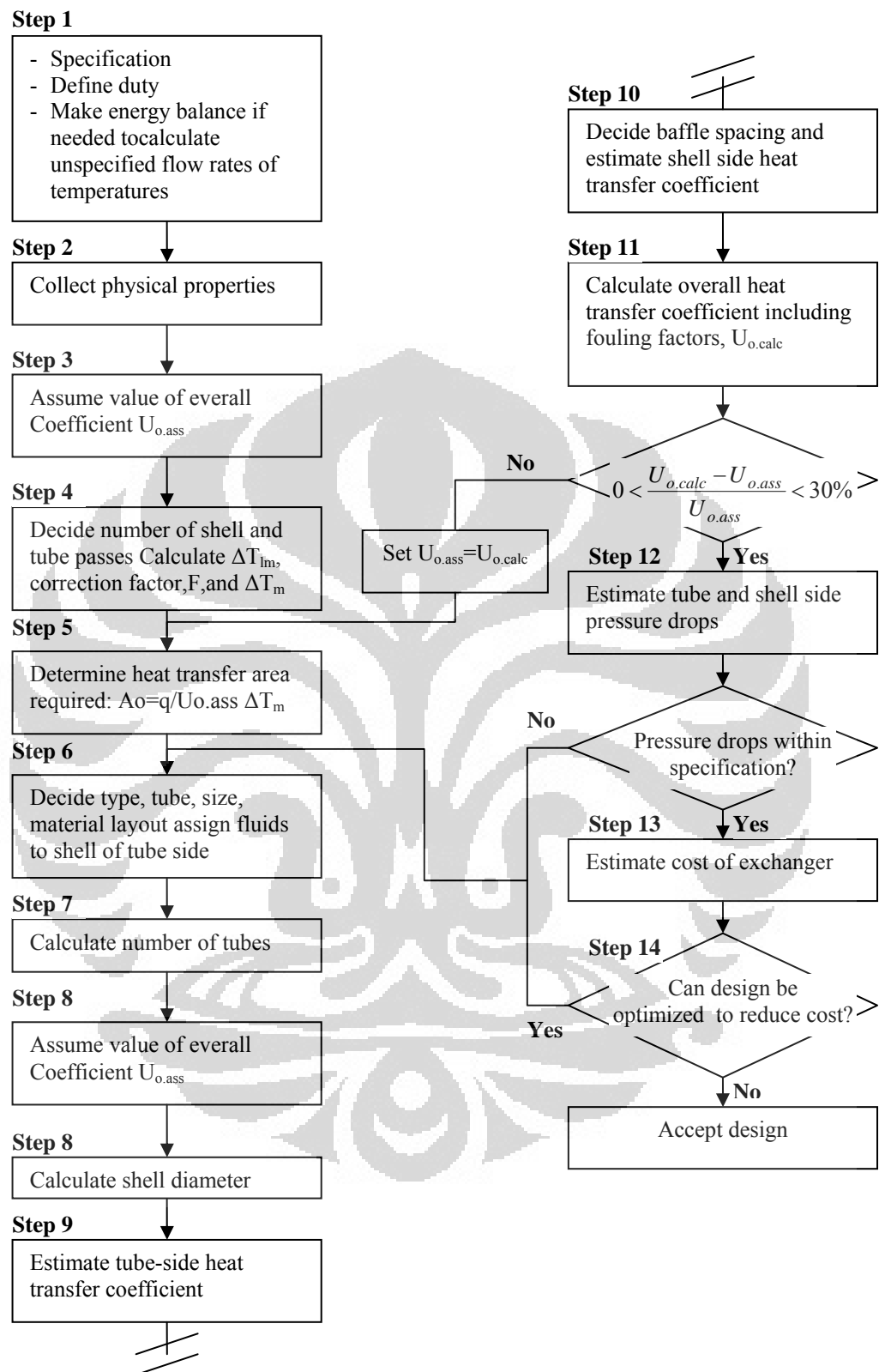


Gambar 2.5 Kondenser Reflux [8]

## 2.6.2 Perancangan Kondenser

Kondenser yang dirancang adalah kondenser reflux tipe *shell and tube*.

Adapun langkah-langkah perancangannya adalah sebagai berikut :

Gambar 2.6 Prosedur perhitungan desain *shell and tube heat exchanger* [13]

Langkah-langkah perancangan :

- Keseimbangan Energi

Persamaan umum perpindahan kalor :

$$q = UA_o \Delta T_m \quad (2.4)$$

Perpindahan kalor juga dapat diperoleh dari persamaan :

$$q = m_h c_{p,h} (T_{h,i} - T_{h,o}) \quad (2.5)$$

(untuk kalor laten)

$$q = m_c c_{p,c} (T_{c,o} - T_{c,i}) \quad (2.6)$$

(untuk kalor sensible)

- Tabel Perkiraan Koefisien perpindahan kalor menyeluruh

Tabel 2.1 Perkiraan nilai koefisien menyeluruh

| Shell and tube exchangers        |                     |                           |
|----------------------------------|---------------------|---------------------------|
| Hot fluid                        | Cold fluid          | $U$ (W/m <sup>2</sup> °C) |
| <i>Heat exchangers</i>           |                     |                           |
| Water                            | Water               | 800–1500                  |
| Organic solvents                 | Organic solvents    | 100–300                   |
| Light oils                       | Light oils          | 100–400                   |
| Heavy oils                       | Heavy oils          | 50–300                    |
| Gases                            | Gases               | 10–50                     |
| <i>Coolers</i>                   |                     |                           |
| Organic solvents                 | Water               | 250–750                   |
| Light oils                       | Water               | 350–900                   |
| Heavy oils                       | Water               | 60–300                    |
| Gases                            | Water               | 20–300                    |
| Organic solvents                 | Brine               | 150–500                   |
| Water                            | Brine               | 600–1200                  |
| Gases                            | Brine               | 15–250                    |
| <i>Heaters</i>                   |                     |                           |
| Steam                            | Water               | 1500–4000                 |
| Steam                            | Organic solvents    | 500–1000                  |
| Steam                            | Light oils          | 300–900                   |
| Steam                            | Heavy oils          | 60–450                    |
| Steam                            | Gases               | 30–300                    |
| Dowtherm                         | Heavy oils          | 50–300                    |
| Dowtherm                         | Gases               | 20–200                    |
| Flue gases                       | Steam               | 30–100                    |
| Flue                             | Hydrocarbon vapours | 30–100                    |
| <i>Condensers</i>                |                     |                           |
| Aqueous vapours                  | Water               | 1000–1500                 |
| Organic vapours                  | Water               | 700–1000                  |
| Organics (some non-condensables) | Water               | 500–700                   |
| Vacuum condensers                | Water               | 200–500                   |
| <i>Vaporisers</i>                |                     |                           |
| Steam                            | Aqueous solutions   | 1000–1500                 |
| Steam                            | Light organics      | 900–1200                  |
| Steam                            | Heavy organics      | 600–900                   |

- Beda suhu rata-tata log (LMTD)

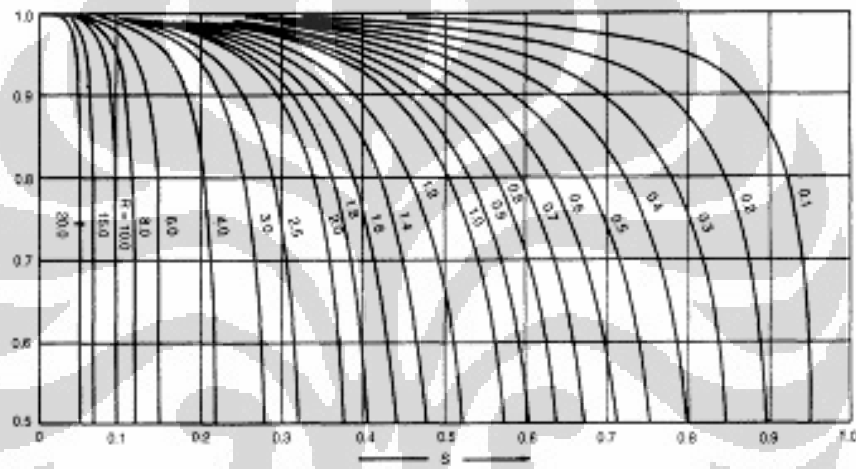
$$LMTD = \frac{(T_{h,i} - T_{c,o}) - (T_{h,o} - T_{c,i})}{\ln(T_{h,i} - T_{c,o})/(T_{h,o} - T_{c,i})} \quad (2.8)$$

Faktor koreksi temperatur :

$$R = \frac{T_1 - T_2}{t_2 - t_1} \quad (2.9)$$

$$S = \frac{t_2 - t_1}{T_1 - T_2} \quad (2.10)$$

$$\Delta T_m = F_t \Delta T l_m \quad (2.11)$$

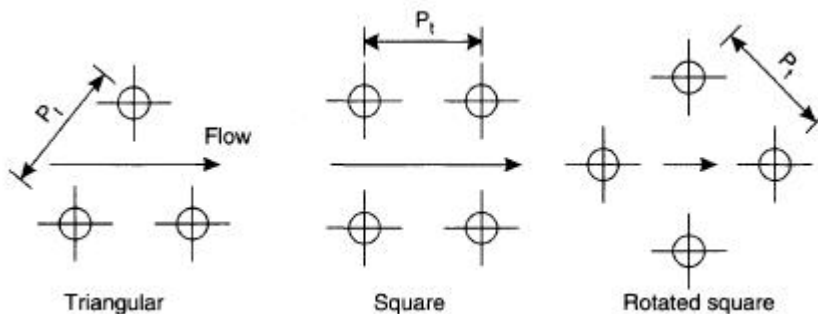


Gambar 2.7 Grafik faktor koreksi temperatur  
(one shell pass; two or more even tube passes)

- Dimensi dan layout *Shell and tube*

Susunan pipa dalam *shell and tube heat exchanger* terdiri dari 3 macam seperti ditunjukkan dalam gambar 2.3 , yaitu :

1. Pola segitiga ( *equilateral triangular* )
2. Pola bujur sangkar ( *square* )
3. Pola bujursangkar yang diputar ( *rotated square pattern* )



Gambar 2.8 Tube patterns

Jumlah tube dapat dihitung dari persamaan :

$$N_t = \frac{A_o}{\pi d_o L} \quad (2.12)$$

$$D_b = d_o \left( \frac{N_t}{K_1} \right)^{1/n_1} \quad (2.13)$$

Nilai  $K_1$  dan  $n_1$  ditentukan dari tabel 2.3

Diameter *shell* dihitung dari persamaan :

$$D_s = D_b + BDC \quad (2.14)$$

Tabel 2.2 Nilai konstanta  $K_1$  dan  $n_1$ 

| Triangular pitch, $p_t = 1.25d_o$ |       |       |       |        |        |
|-----------------------------------|-------|-------|-------|--------|--------|
| No. passes                        | 1     | 2     | 4     | 6      | 8      |
| $K_1$                             | 0.319 | 0.249 | 0.175 | 0.0743 | 0.0365 |
| $n_1$                             | 2.142 | 2.207 | 2.285 | 2.499  | 2.675  |
| Square pitch, $p_t = 1.25d_o$     |       |       |       |        |        |
| No. passes                        | 1     | 2     | 4     | 6      | 8      |
| $K_1$                             | 0.215 | 0.156 | 0.158 | 0.0402 | 0.0331 |
| $n_1$                             | 2.207 | 2.291 | 2.263 | 2.617  | 2.643  |

Pitch dapat dihitung dengan persamaan,

$$p_t = 1.25d_o \quad (2.15)$$

- Persamaan Empiris Koefisien Perpindahan Kalor Menyeluruh
  - Untuk heat transfer coefficient pada sisi *tube* ( $h_i$ ), persamaan empiris kondensasi untuk tube vertikal pada  $30 < Re < 2100$  menggunakan persamaan : [8]

Bilangan Reynold

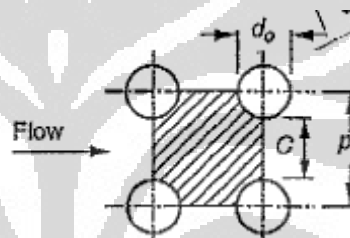
$$\Gamma = \frac{W}{n_t \pi D_i} \quad (2.16)$$

$$Re_i = \frac{4\Gamma}{\mu_L} \quad (2.17)$$

$$h = \frac{\text{Re} [k_L^3 \rho_L g / \mu_L^2]^{1/3}}{1.08 \text{Re}^{1.22} - 5.2} \quad (2.18)$$

- Untuk heat transfer coefficient pada sisi *shell* ( $h_o$ ) [8],  
Diameter Equivalent untuk Square Pitch [3],

$$D_e = \frac{4(P_T^2 - \pi d_o^2 / 4)}{\pi d_o} \quad (2.19)$$



Gambar 2.9 Pitch Square [3]

$$A_s = \frac{D_s C B}{P_T} \quad (2.20)$$

$$G_s = \frac{\dot{m}}{A_s} \quad (2.21)$$

$$C = P_T - d_o \quad (2.22)$$

$$\frac{h_o D_e}{k} = 0.36 \left( \frac{D_e G_s}{\mu} \right)^{0.55} \left( \frac{c_p \mu}{k} \right)^{1/3} \left( \frac{\mu_b}{\mu_w} \right)^{0.14} \quad (2.23)$$

(Persamaan Mc Adam untuk  $2 \times 10^3 < Re_o < 10^6$ )

- Untuk Overall Heat Transfer coefficient [8]

$$U_c = \left[ \frac{D_o}{h_i D_i} + \frac{D_o \ln(D_o / D_i)}{2k_{tube}} + \frac{1}{h_o} \right]^{-1} \quad (2.24)$$

$$U_d = \left[ \frac{1}{U_c} + R_D \right]^{-1} \quad (2.25)$$

$R_D = \text{Fouling Factor}$

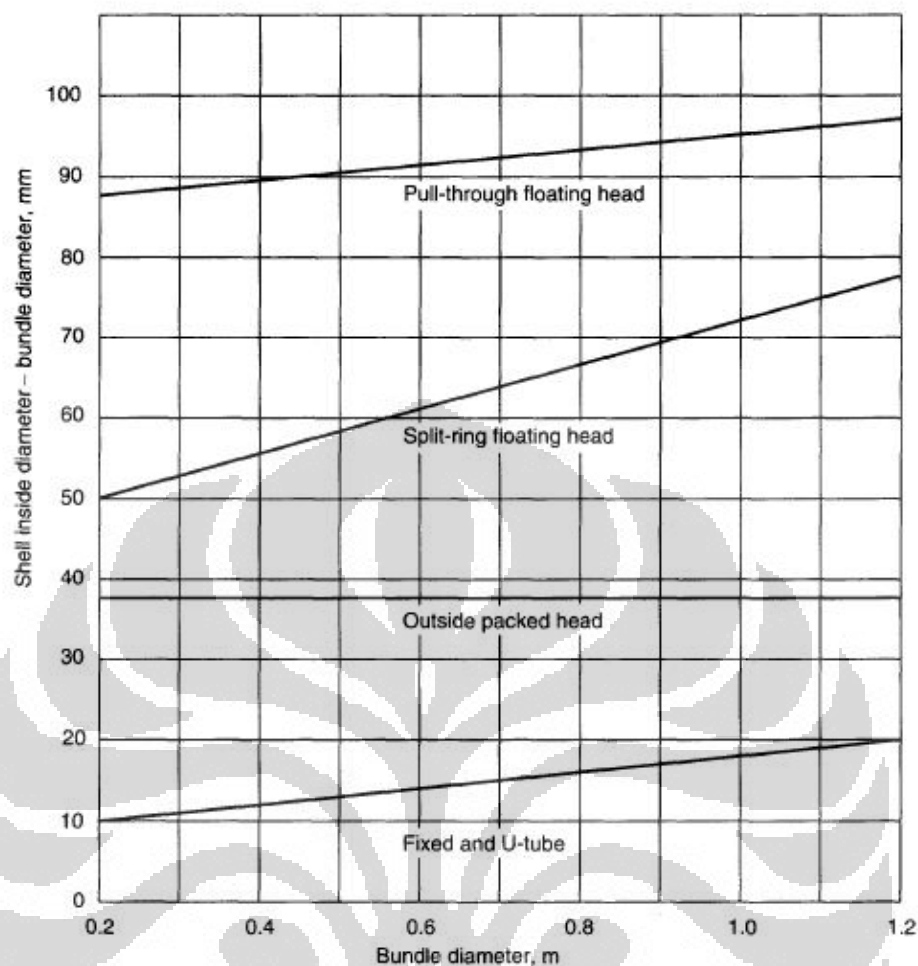
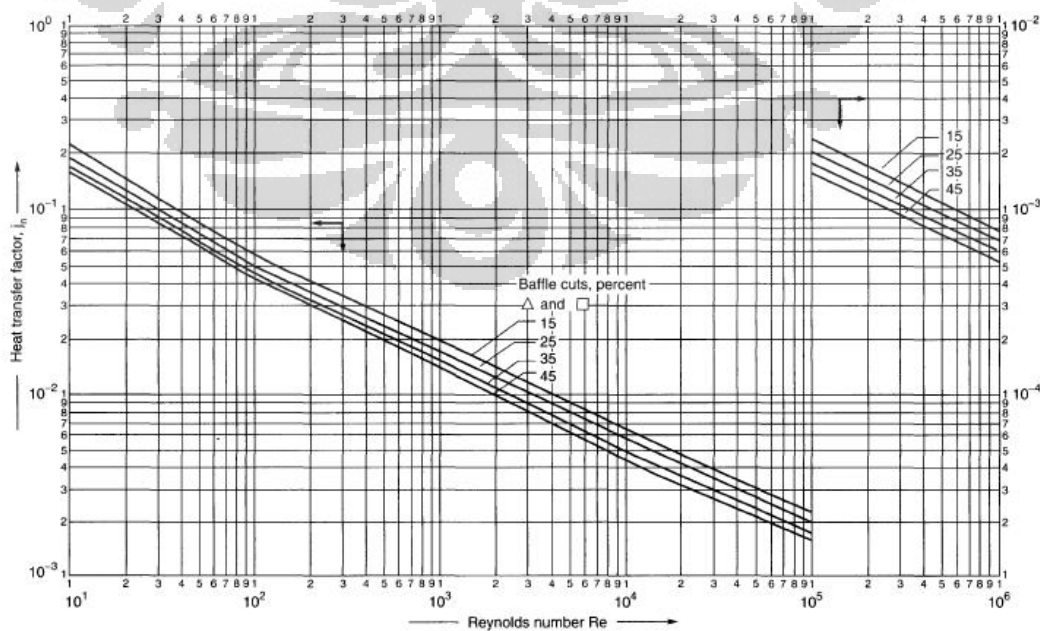
$$R_D = (R_{di} \cdot D_o / D_i) + R_{do} \quad (2.26)$$

$R_{di} = \text{Fouling Factor for tube on fluid}$

$R_{do} = \text{Fouling Factor for tube on Shell}$

Tabel 2.3 Koefisien faktor fouling

| Fluid                    | Coefficient ( $\text{W/m}^2\text{°C}$ ) | Factor (resistance) ( $\text{m}^2\text{°C/W}$ ) |
|--------------------------|---|---|
| River water              | 3000–12,000                             | 0.0003–0.0001                                   |
| Sea water                | 1000–3000                               | 0.001–0.0003                                    |
| Cooling water (towers)   | 3000–6000                               | 0.0003–0.00017                                  |
| Towns water (soft)       | 3000–5000                               | 0.0003–0.0002                                   |
| Towns water (hard)       | 1000–2000                               | 0.001–0.0005                                    |
| Steam condensate         | 1500–5000                               | 0.000037–0.0002                                 |
| Steam (oil free)         | 4000–10,000                             | 0.0025–0.0001                                   |
| Steam (oil traces)       | 2000–5000                               | 0.0005–0.0002                                   |
| Refrigerated brine       | 3000–5000                               | 0.0003–0.0002                                   |
| Air and industrial gases | 5000–10,000                             | 0.0002–0.0001                                   |
| Flue gases               | 2000–5000                               | 0.0005–0.0002                                   |
| Organic vapours          | 3000                                    | 0.0002  |
| Organic liquids          | 5000                                    | 0.0002  |
| Light hydrocarbons       | 3000                                    | 0.0002  |
| Heavy hydrocarbons       | 2000                                    | 0.0005  |
| Boiling organics         | 2500                                    | 0.0004  |
| Condensing organics      | 5000                                    | 0.0002  |
| Heat transfer fluids     | 3000                                    | 0.0002  |
| Aqueous salt solutions   | 3000–5000                               | 0.0003–0.0002                                   |

Gambar 2.10 *Shell bundle clearance*Gambar 2.11 *shell side heat transfer factors, segmental baffle*

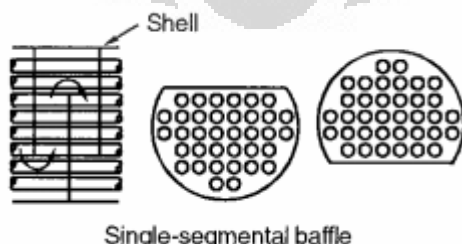
Universitas indonesia

## BAB III

### PERHITUNGAN DIMENSI

#### 3.1 Spesifikasi Awal

- a. Penempatan Fluida
  - Kondenser tipe vertikal
  - Uap yang dikondensasikan berada pada tube
  - Air pendingin di *Shell*
- b. Tipe *Shell and Tube*
  - Tipe E-*Shell* digunakan karena lebih ekonomis, sehingga tipe AEL akan digunakan dalam desain ini.
  - Jumlah lintasan di *shell* : 1
  - Jumlah lintasan di *tube* : 1
- c. Tubing
  - Diameter  $\frac{1}{4}$  in
  - 16-BWG tubes
  - Panjang 35 cm.
- d. Tube layout
  - Tipe pitch square
- e. Baffles
  - Jarak segmental baffle 0.4 kali diameter shell
  - Cut 35 % untuk kondensasi uap



- f. Konstruksi Material
  - Tube : Tembaga (cupro-nickel alloy untuk resistansi terhadap korosi)

- Shell : Plain Carbon Steel

### 3.2 Keseimbangan Energi

$$q = m_h (h_{h,i} - h_{h,o}) \quad (2.5)$$

$$= 2287.35 \text{ W}$$

$$q = m_c c_{p,c} (T_{c,o} - T_{c,i}) \quad (2.6)$$

$$m_c = 0.15 \text{ kg/s}$$

#### Fluida panas : Ethanol

Temperature masuk  $T_{h1} = 376.2 \text{ K}$

Temperatur keluar  $T_{h2} = 352 \text{ K}$

Laju aliran  $m_h = 0.0026 \text{ kg/s}$

Enthalpi masuk  $h1 = 1310 \text{ kJ/kg}$

Enthalpi masuk  $h1 = 416.3 \text{ kJ/kg}$

Tekanan  $P = 104 \text{ kPa}$

| REFPROP (ethanol) - NIST Reference Fluid Properties - [5: ethanol: Specified state points] |                 |                |                  |                         |                        |              |                     |                    |                   |                          |                         |         |                |               |  |
|--|-----------------|----------------|------------------|-------------------------|------------------------|--------------|---------------------|--------------------|-------------------|--------------------------|-------------------------|---------|----------------|---------------|--|
|  | File            | Edit           | Options          | Substance               | Calculate              | Plot         | Window              | Help               | Cautions          |                          |                         |         |                |               |  |
|  | Temperature (K) | Pressure (MPa) | Enthalpy (kJ/kg) | Liquid Enthalpy (kJ/kg) | Vapor Enthalpy (kJ/kg) | Cp (kJ/kg-K) | Liquid Cp (kJ/kg-K) | Vapor Cp (kJ/kg-K) | Viscosity (μPa-s) | Liquid Viscosity (μPa-s) | Vapor Viscosity (μPa-s) | Prandtl | Liquid Prandtl | Vapor Prandtl |  |
| 1  | 376.20          | 0.10400        | 1310.1           | Superheated             | 1310.1                 | 1.8940       | Superheated         | 1.8940             | 11.136            | Superheated              | 11.136                  | 0.87373 | Superheated    | 0.87373       |  |
| 2  | 353.00          | 0.10400        | 1267.0           | Superheated             | 1267.0                 | 1.8140       | Superheated         | 1.8140             | 10.428            | Superheated              | 10.428                  | 0.85451 | Superheated    | 0.85451       |  |
| 3  | 352.00          | 0.10400        | 416.31           | 416.31                  | Subcooled              | 3.1917       | 3.1917              | Subcooled          | 436.88            | 436.88                   | Subcooled               | 9.1106  | 9.1106         | Subcooled     |  |

#### Fluida Dingin : Air

Temperatur masuk  $T_{c1} = 293 \text{ K}$

Laju aliran  $m_c = 0.15 \text{ kg/s}$

| REFPROP (water) - NIST Reference Fluid Properties - [6: water: Specified state points] |                 |                |                  |                         |                        |        |                     |                    |                   |                          |                         |         |                |               |  |
|--|-----------------|----------------|------------------|-------------------------|------------------------|--------|---------------------|--------------------|-------------------|--------------------------|-------------------------|---------|----------------|---------------|--|
|  | File            | Edit           | Options          | Substance               | Calculate              | Plot   | Window              | Help               | Cautions          |                          |                         |         |                |               |  |
|  | Temperature (K) | Pressure (MPa) | Enthalpy (kJ/kg) | Liquid Enthalpy (kJ/kg) | Vapor Enthalpy (kJ/kg) | Cp     | Liquid Cp (kJ/kg-K) | Vapor Cp (kJ/kg-K) | Viscosity (μPa-s) | Liquid Viscosity (μPa-s) | Vapor Viscosity (μPa-s) | Prandtl | Liquid Prandtl | Vapor Prandtl |  |
| 1  | 293.00          | 0.10130        | 83.380           | 83.380                  | Subcooled              | 4.1842 | 4.1842              | Subcooled          | 1005.3            | 1005.3                   | Subcooled               | 7.0317  | 7.0317         | Subcooled     |  |
| 2  | 298.40          | 0.10130        | 105.97           | 105.97                  | Subcooled              | 4.1812 | 4.1812              | Subcooled          | 885.04            | 885.04                   | Subcooled               | 6.0902  | 6.0902         | Subcooled     |  |
| 3  | 295.70          | 0.10130        | 94.675           | 94.675                  | Subcooled              | 4.1825 | 4.1825              | Subcooled          | 942.07            | 942.07                   | Subcooled               | 6.5347  | 6.5347         | Subcooled     |  |

### 3.3 Mean Temperature Difference

Beda suhu rata-rata log dihitung dengan persamaan :

$$LMTD = \frac{(T_{h,i} - T_{c,o}) - (T_{h,o} - T_{c,i})}{\ln(T_{h,i} - T_{c,o}) / (T_{h,o} - T_{c,i})} = 66.38 \text{ K} \quad (2.8)$$

Faktor koreksi temperatur :

$$P = \frac{T_{c2} - T_{c1}}{T_{h1} - T_{c1}} = 0.084 \quad (2.9)$$

$$R = \frac{T_{h1} - T_{h2}}{T_{c2} - T_{c1}} = 3.46 \quad (2.10)$$

Dari tabel , faktor koreksi temperatur ( $F_t$ ) = 0.99

$$\Delta T_m = F_t \Delta T_{lm} = 65.72 \text{ K} \quad (2.11)$$

### 3.4 Heat Transfer Area

$$A_o = \frac{q}{U \Delta T_m} = 0.258 \text{ m}^2 \quad (2.4)$$

### 3.5 Tube

Jumlah tube dapat dihitung dari persamaan :

$$N_t = \frac{A_0}{\pi d L} = 36.95 \sim 37 \quad (2.12)$$

### 3.6 Shell

Diameter bundle ( $D_b$ ) dapat dihitung dari persamaan :

$$D_b = d_o \left( \frac{N_t}{K_l} \right)^{1/n_1} = 65.4 \text{ mm} \quad (2.13)$$

Dari table 2.3, didapatkan nilai :

$$K_1 = 0.215, n_1 = 2.207,$$

Diameter *Shell*( $D_s$ )

Dari spesifikasi yang ada didapat :

$$D_s = 3 \text{ inch} = 0.0762 \text{ mm}$$

Pitch dapat dihitung dari pesamaan :

$$p_t = 1.25d_o = 7.94 \text{ mm} \quad (2.19)$$

### 3.7 Perkiraan nilai keseluruhan koefisien perpindahan kalor

Perkiraan nilai keseluruhan koefisien perpindahan kalor dapat ditentukan dengan melihat tabel.

Dari tabel 2.1, didapatkan nilai koefisien berada di 20-300 W/m°C

Maka ditentukan  $U_0 = 131 \text{ W/m°C}$ , untuk mengatasi fouling maka dipilih nilai  $U$  yang lebih kecil dari nilai rata-rata agar diperoleh *heat transfer area* yang lebih luas.

### 3.8 Heat transfer coefficient

- Bilangan Reynold untuk tube [8]

$$\Gamma = \frac{W}{n_t \pi D_i} = 0,00322 \quad (2.16)$$

$$Re = \frac{4\Gamma}{\mu_L} = 29,45 \quad (2.17)$$

- Untuk heat transfer coefficient pada sisi tube ( $h_i$ ), persamaan empiris kondensasi untuk tube vertikal pada  $Re < 2100$  menggunakan persamaan : [8]

$$h_i = \frac{Re \left[ k_L^3 \rho_L g / \mu_L^2 \right]^{1/3}}{1,08 Re^{1,22} - 5,2} = 2211710 \text{ W/m}^2 \cdot \text{K} \quad (2.18)$$

- Untuk heat transfer coefficient pada sisi shell ( $h_o$ ),

Diameter Equivalent untuk Square Pitch [3],

$$D_e = \frac{4(P_T^2 - \pi d_o^2 / 4)}{\pi d_o} = 0,0065 \text{ m} \quad (2.19)$$

$$A_s = \frac{D_s C B}{P_T} = 0,000479 \text{ m}^2 \quad (2.20)$$

$$G_s = \frac{\dot{m}}{A_s} = 163,11 \text{ kg/sm}^2 \quad (2.21)$$

$$C = P_T - d_o = 0.00165 \text{ m} \quad (2.22)$$

$$\text{Re} = 2123,26$$

Sehingga dapat digunakan persamaan McAdams,

$$\frac{h_o D_e}{k} = 0.36 \left( \frac{D_e G_s}{\mu} \right)^{0.55} \left( \frac{c_p \mu}{k} \right)^{1/3} \left( \frac{\mu_b}{\mu_w} \right)^{0.14} \quad (2.23)$$

$$\text{Sehingga, } h_o = 4239,29 \text{ W/m}^2 \cdot \text{K}$$

- Overall Heat Transfer Coefficient

$$U_c = \left[ \frac{D_o}{h_i D_i} + \frac{D_o \ln(D_o / D_i)}{2k_{tube}} + \frac{1}{h_o} \right]^{-1} = 4253 \text{ W/m}^2 \cdot \text{K} \quad (2.24)$$

$$U_c > U_o \text{ (memenuhi)}$$

$$R_D = (R_{di} \cdot D_o / D_i) + R_{do} = 0.001237 \quad (2.26)$$

$$R_{di} = 0.0002$$

$$R_{do} = 0.002$$

$$U_d = \left[ \frac{1}{U_c} + R_D \right]^{-1} = 404.45 \quad (2.25)$$

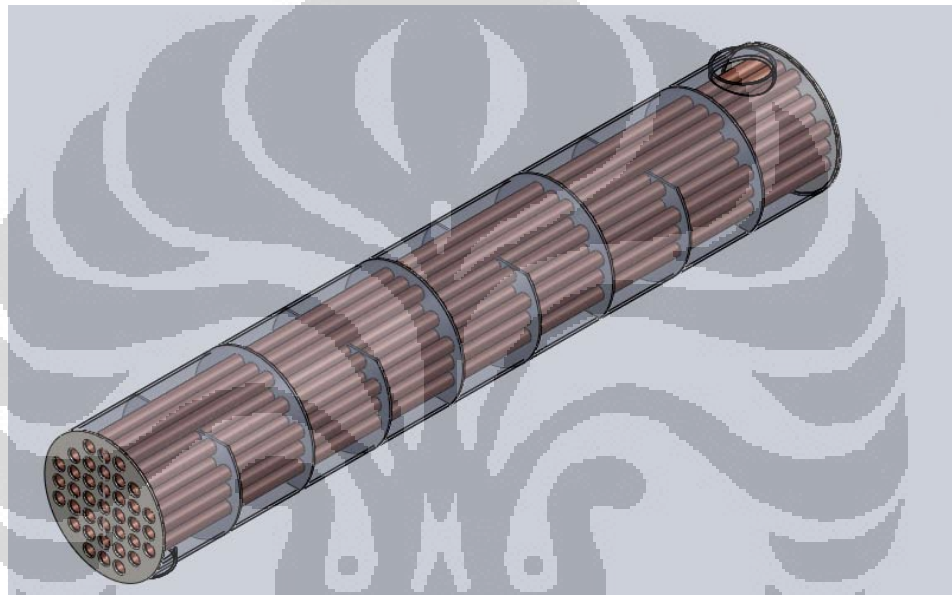
$$U_d > U_a \text{ (memenuhi)}$$

## BAB IV

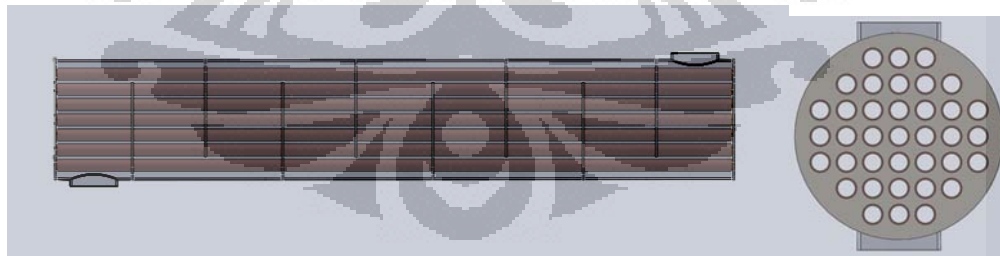
### PEMODELAN DAN SIMULASI

Pada simulasi ini digunakan *software Solidworks Simulation Flow 2009* untuk komponen condenser.

#### 4.1 PEMODELAN CAD DENGAN SOLIDWORKS 2009



Gambar 4.1 Tampak Isometri



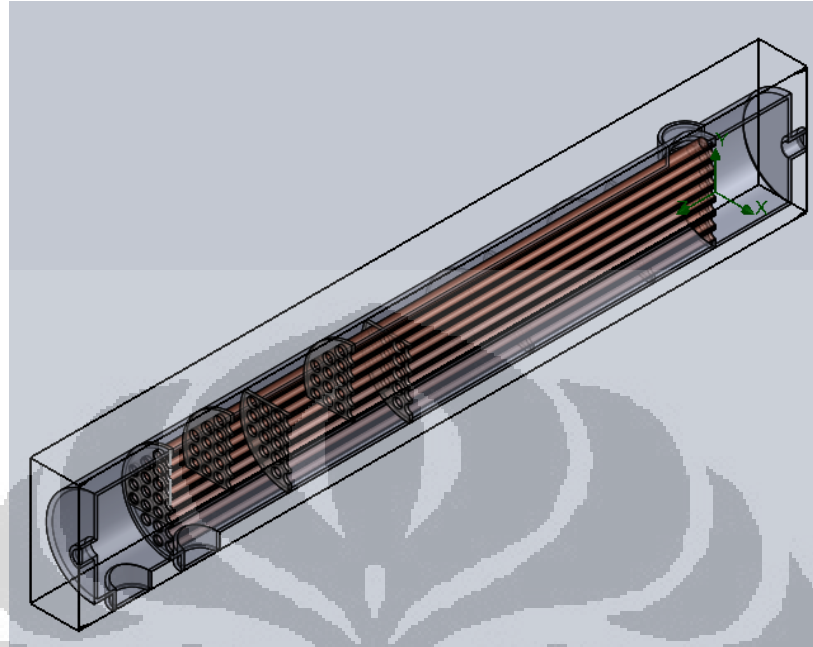
Gambar 4.2 Tampak Samping dan Depan

Spesifikasi :

- Tube :  $\frac{1}{4}$  Inch (Tembaga), 37 buah
- Shell : 3 Inch (Plain Carbon Steel)
- Baffle : 35 % cut dan 0.4 kali spasi (Plain Carbon Steel)
- Nozzle : 1 Inch dan  $\frac{1}{2}$  Inch Plain Carbon Steel)

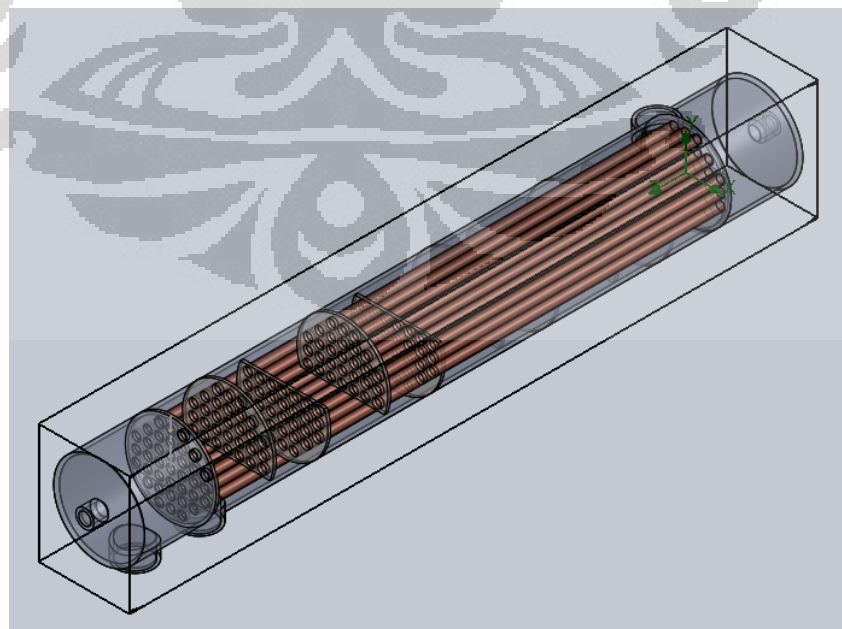
## 4.2 SIMULASI CFD DENGAN SOLIDWORKS 2009

### 4.2.1 Penyederhanaan *Computational Domain* (Simetris)



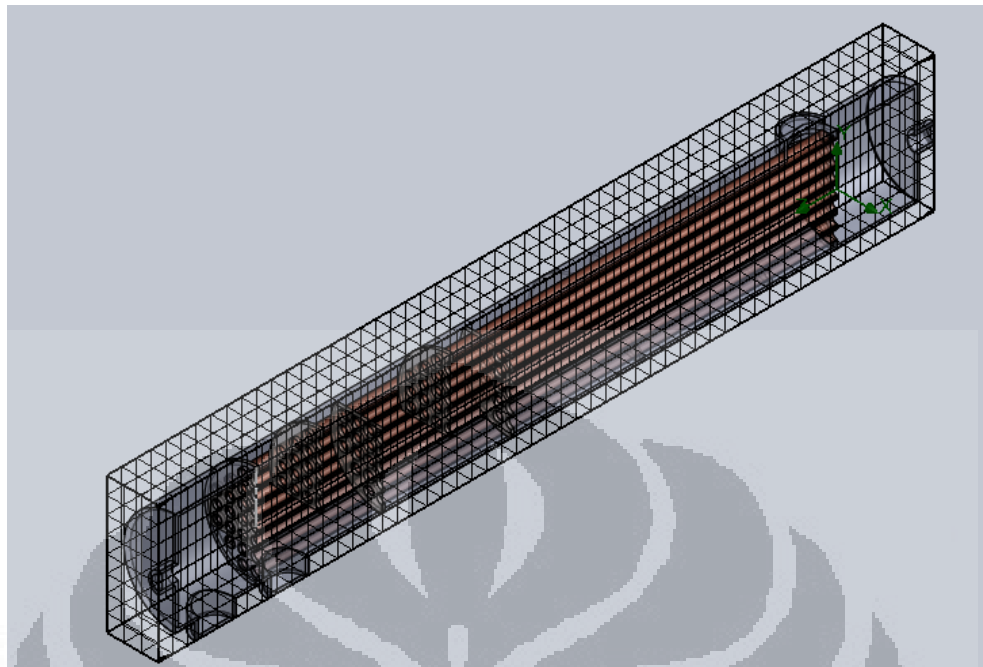
Gambar 4.3 Optimasi Simetris Computational Domain

Karena bentuk geometri condenser ini simetris, maka perhitungan dapat disederhanakan menjadi setengahnya saja, sehingga dapat menghasilkan waktu simulasi yang lebih efisien.



Gambar 4.4 Computational Domain Awal

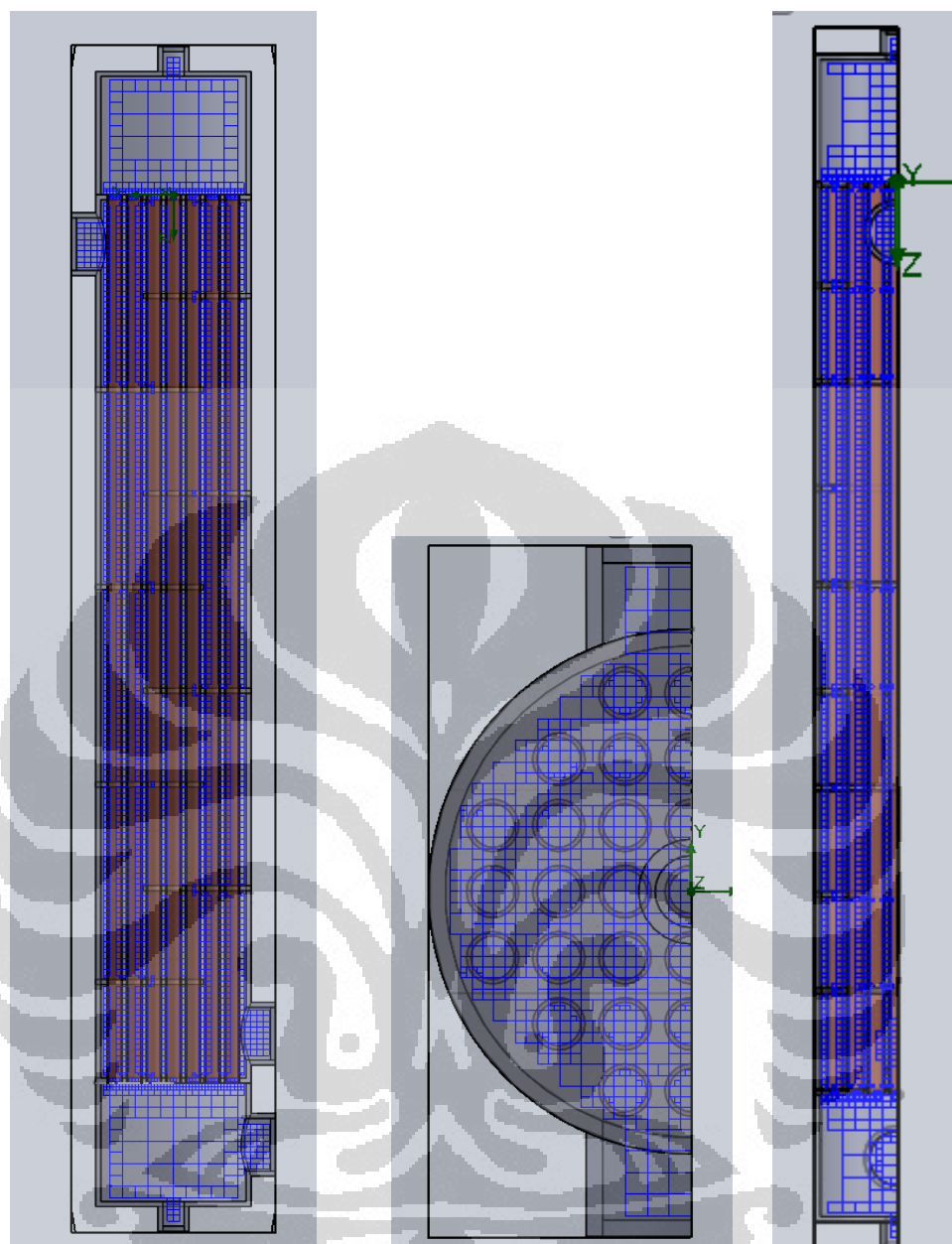
### Optimasi Mesh



Gambar 4.5 Mesh Automatic Level 3

#### 4.2.2 Optimasi Mesh

- Mesh yang digunakan adalah automatic setting Level 3
- Dari perbandingan beberapa level, hasil yang diperoleh tidak terlalu signifikan, sehingga level 3 sudah memenuhi
- Adanya Refinement Mesh

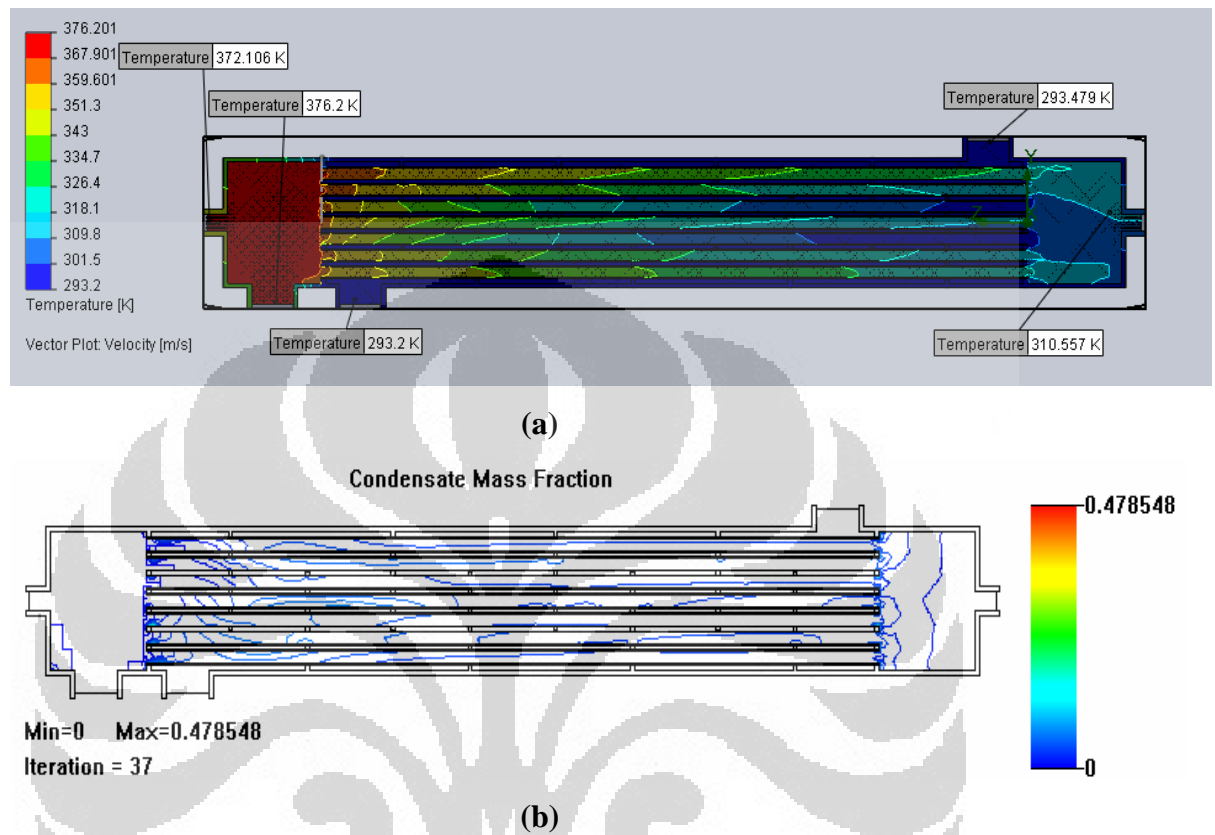


Gambar 4.6 *Mesh Adaptive*

Dari hasil *Mesh Adaptive* di atas terlihat adanya daerah yang memiliki mesh lebih rapat, yaitu bagian yang mendekati dinding dan jarak yang sedikit. Hal ini penting sekali dalam menangkap fenomena aliran yang terjadi pada bagian tersebut, sehingga pola yang di peroleh bisa merepresentasikan aliran sebenarnya.

### 4.2.3 Hasil Simulasi

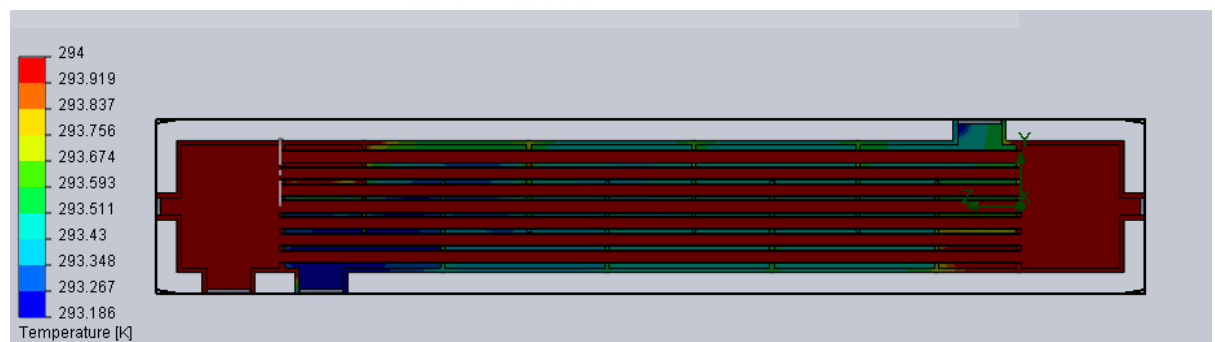
#### 4.2.3.1 Distribusi Temperatur



Gambar 4.7 Distribusi Temperatur Fluida Ethanol,

(a) Contour dan isoline (b) Isoline Kondensasi

Gambar di atas menunjukkan distribusi temperatur fluida panas. Temperatur menurun dari inlet 376.2 K hingga outlet menjadi 320 K. Berdasarkan literatur, titik kondensasi ethanol adalah 352 K, sehingga hasil tersebut sudah memungkinkan untuk terjadinya kondensasi.



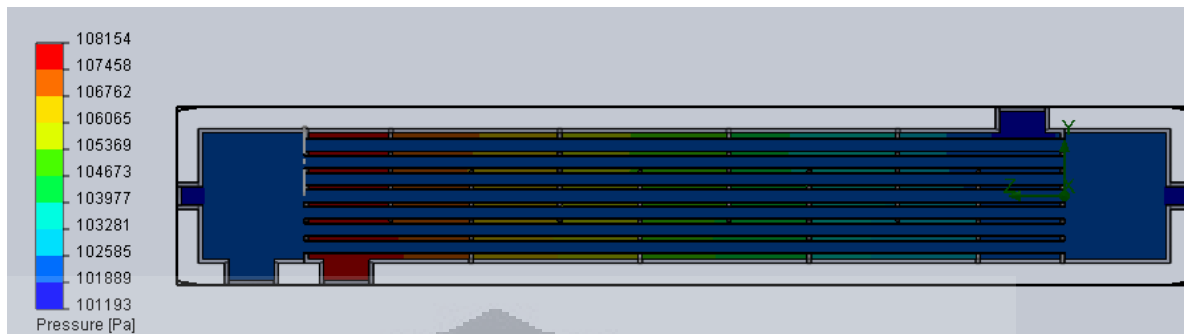
Gambar 4.8 Distribusi Temperatur Fluida Air

Pada distribusi temperatur di atas memiliki selisih yang tidak terlalu jauh, sehingga cukup aman bagi material kondenser tersebut. Selain itu, kondenser umumnya memiliki selisih temperatur hingga 6 K. [11]

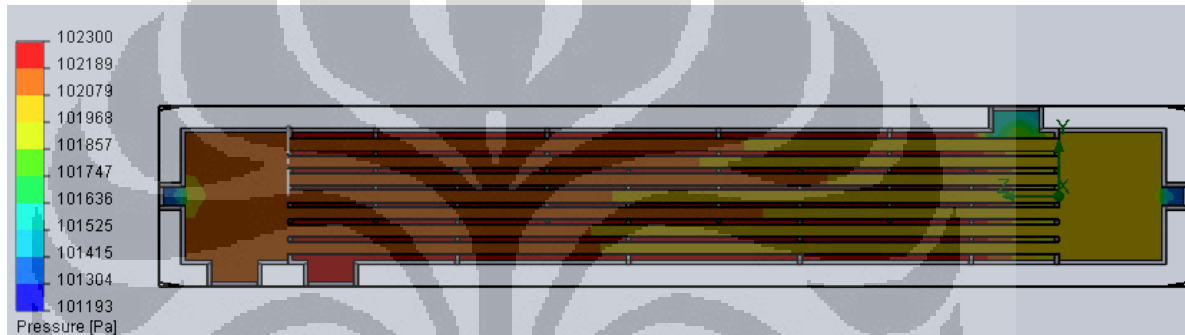
Untuk mengelimnir harga koefisien perpindahan panas kondensasi ini kita terlebih dahulu harus memperhatikan jenis kondensasi yang terjadi, dimana proses kondensasi ada 2 jenis yaitu kondensasi lapisan film dan titik. Dari jenis kondensasi yang terjadi, dimana harga koefisien perpindahan panas kondensasi yang terjadi pada kondensasi jenis lapisan film lebih kecil dibandingkan harga koefisien kondensasi titik. Dalam perencanaan ini kita menganggap proses yang terjadi adalah campuran antara keduanya, karena kenyataannya untuk terjadi kondensasi titik sangatlah sulit dan memiliki batas-batas perencanaan yang kompleks.

#### 4.2.3.2 Distribusi Tekanan

##### Distribusi Tekanan



Gambar 4.9 Distribusi Tekanan Fluida Air



Gambar 4.10 Distribusi Tekanan Fluida Ethanol

Air pendingin yang dialirkan ke dalam tube kondenser akan mengalami proses penurunan tekanan (*pressure drop*). Penurunan tekanan ini dapat disebabkan :

1. Pengaruh masuknya air pendingin ke dalam tube
2. Pengaruh gesekan antara air pendingin dengan permukaan aliran tube (*friction effect*)
3. Pengaruh keluarnya air pendingin dari dalam tube (*exit effect*)

Penurunan tekanan ini merupakan salah satu kerugian beban yang akan dialami oleh pompa air pendingin. Oleh sebab itu, nilainya perlu diperhitungkan agar diketahui pengaruhnya terhadap beban pendingin. Dari hasil tersebut menunjukkan bahwa hasil simulasi memenuhi standar yang telah ditentukan, yaitu jatuh tekanan tidak boleh melebihi 10 psia atau 68.948 Pa. [11]

### 4.3 VERIFIKASI

#### 4.3.1 Distribusi Temperatur

- Ethanol
  - Temperatur Outlet perhitungan : 352 K
  - Temperatur Outlet simulasi : 310 K
  - Selisih =  $\frac{352 - 310}{352} \times 100\% = 11.93\%$
- Air
  - Temperatur Outlet perhitungan : 352 K
  - Temperatur Outlet simulasi : 293.4 K
  - Selisih =  $\frac{352 - 293.4}{352} \times 100\% = 2.2\%$

Perbedaan yang agak jauh ini disebabkan karena penyederhanaan model dari simulasi yang mengabaikan kekasaran permukaan.

## BAB V

### KESIMPULAN

#### **5.1. KESIMPULAN**

Setelah membahas tentang perencanaan kondenser reflux yang akan digunakan pada system destilasi ethanol berkapasitas 2287 Watt dengan Temperatur 376,2 K dan tekanan masuk sebesar 104 kPa, maka didapatkan hasil sebagai berikut :

1. Tube pendingin yang digunakan memakai bahan jenis tembaga. Ukuran dan besaran tube memiliki jenis BWG yang memiliki dimensi :
  - Diameter luar :  $\frac{1}{4}$  inch
2. Kondenser ini memiliki sistem aliran tube pendingin satu laluan (*single pass*), dan arah aliran uapnya menuju ke atas (upflow), dengan susunan tube vertikal dengan panjang 35 cm.  
Luas permukaan perpindahan panas pada kondenser ini adalah  $0.258 \text{ m}^2$ , karena itu membutuhkan tube pendingin sebanyak 37 buah.
3. Untuk mendapatkan sejumlah tube di dalamnya, maka diperlukan tabung (*shell*), dimana luas bidang tabung harus lebih besar dibandingkan dengan luas bidang tube dikali dengan jumlah tube, didapatkan :
  - Diameter shell : 3 Inch
  - Tebal shell : 2 mm
4. Hasil simulasi menunjukkan bahwa temperatur outlet dari uap ethanol sudah memenuhi untuk terjadi kondensasi yaitu 320 K, walaupun dibandingkan dengan hasil perhitungan memiliki error 2.2 – 11.93 %.

## 5.2. SARAN

- Dengan adanya perangkat lunak *Simulation Flow Solidworks 2009*, perancangan kondenser dapat dilakukan lebih optimal, akan tetapi memiliki beberapa kendala :
  1. Sulitnya pensimulasian CAD yang berbentuk assembly. Oleh karena itu, sebaiknya CAD digambar dalam satu assembly dengan jenis *Inplace Mates* (proses penggambaran tidak dilakukan terspisah berdasarkan *part* yang kemudian di gabungkan dalam gambar *assembly*).
  2. Membutuhkan spesifikasi computer yang tinggi untuk mendapatkan akurasi mesh yang lebih rapat. Oleh karena itu, sebaiknya dilakukan beberapa optimasi seperti : penyederhanaan computational domain menjadi setengahnya untuk yang simetris dan penyederhanaan mesh baik dengan manual ataupun automatic yang memiliki hasil tidak terlalu jauh jika dibandingkan dengan mesh yang lebih rapat.
- Dalam perencanaan condenser satu laluan jenis *shell and tube* tahapan awal dalam manufakturnya adalah desain thermal (*thermal design*), sehingga dalam perhitungannya tidak boleh mengabaikan faktor-faktor yang ada dalam sebuah instalasi sistem destilasi.

## BAB V

### KESIMPULAN

#### **5.1. KESIMPULAN**

Setelah membahas tentang perencanaan kondenser reflux yang akan digunakan pada system destilasi ethanol berkapasitas 2287 Watt dengan Temperatur 376,2 K dan tekanan masuk sebesar 104 kPa, maka didapatkan hasil sebagai berikut :

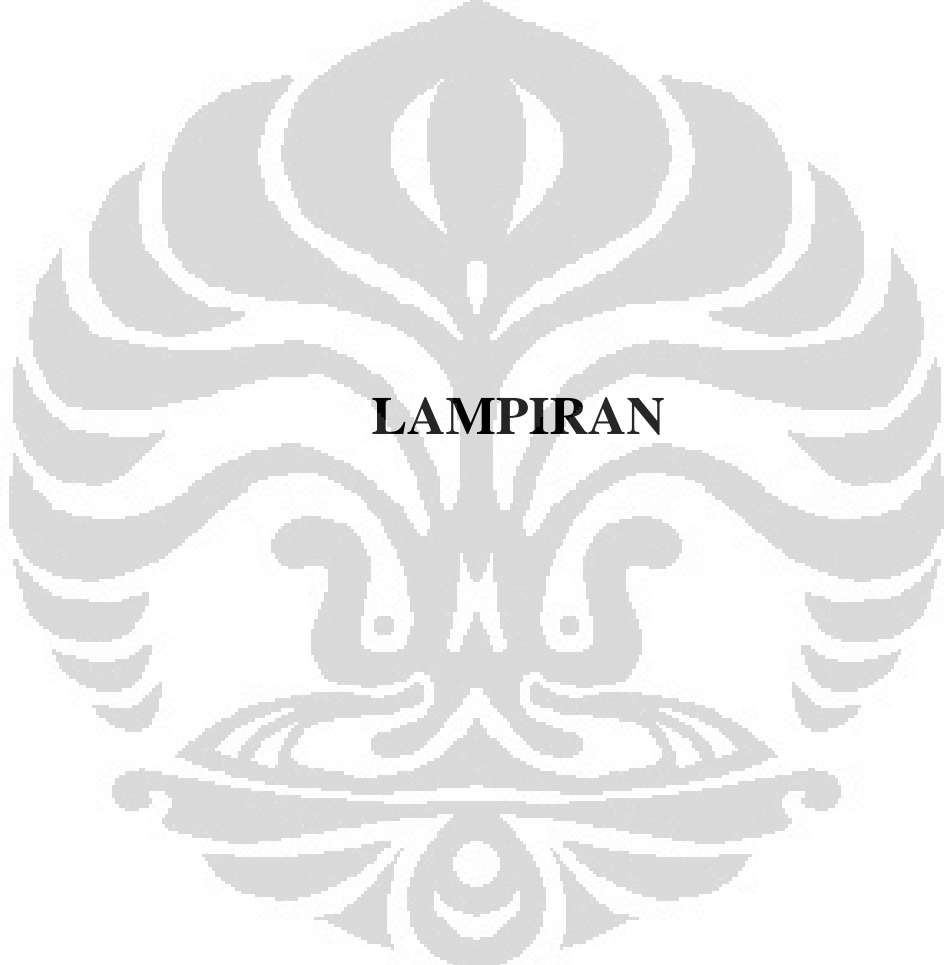
1. Tube pendingin yang digunakan memakai bahan jenis tembaga. Ukuran dan besaran tube memiliki jenis BWG yang memiliki dimensi :
  - Diameter luar :  $\frac{1}{4}$  inch
2. Kondenser ini memiliki sistem aliran tube pendingin satu laluan (*single pass*), dan arah aliran uapnya menuju ke atas (upflow), dengan susunan tube vertikal dengan panjang 35 cm.  
Luas permukaan perpindahan panas pada kondenser ini adalah  $0.258 \text{ m}^2$ , karena itu membutuhkan tube pendingin sebanyak 37 buah.
3. Untuk mendapatkan sejumlah tube di dalamnya, maka diperlukan tabung (*shell*), dimana luas bidang tabung harus lebih besar dibandingkan dengan luas bidang tube dikali dengan jumlah tube, didapatkan :
  - Diameter shell : 3 Inch
  - Tebal shell : 2 mm
4. Hasil simulasi menunjukkan bahwa temperatur outlet dari uap ethanol sudah memenuhi untuk terjadi kondensasi yaitu 320 K, walaupun dibandingkan dengan hasil perhitungan memiliki error 2.2 – 11.93 %.

## 5.2. SARAN

- Dengan adanya perangkat lunak *Simulation Flow Solidworks 2009*, perancangan kondenser dapat dilakukan lebih optimal, akan tetapi memiliki beberapa kendala :
  1. Sulitnya pensimulasian CAD yang berbentuk assembly. Oleh karena itu, sebaiknya CAD digambar dalam satu assembly dengan jenis *Inplace Mates* (proses penggambaran tidak dilakukan terspisah berdasarkan *part* yang kemudian di gabungkan dalam gambar *assembly*).
  2. Membutuhkan spesifikasi computer yang tinggi untuk mendapatkan akurasi mesh yang lebih rapat. Oleh karena itu, sebaiknya dilakukan beberapa optimasi seperti : penyederhanaan computational domain menjadi setengahnya untuk yang simetris dan penyederhanaan mesh baik dengan manual ataupun automatic yang memiliki hasil tidak terlalu jauh jika dibandingkan dengan mesh yang lebih rapat.
- Dalam perencanaan condenser satu laluan jenis *shell and tube* tahapan awal dalam manufakturnya adalah desain thermal (*thermal design*), sehingga dalam perhitungannya tidak boleh mengabaikan faktor-faktor yang ada dalam sebuah instalasi sistem destilasi.

## DAFTAR PUSTAKA

1. Bott, TR. *Fouling of Heat Exchanger*. Elsevier. 1995
2. J.P Holman, E Jasjfi, *Perpindahan Kalor*, Erlangga: Jakarta 1995
3. Kakac, Sadic. *Heat Exchanger: Selection, Rating, and Thermal Design*. CRC Press. 2002
4. Kuppan, T,1982, *Heat Exchanger Design Handbook*, Marcel Dekker Inc.1982
5. Maloney, J.o., *Perry's chemical engineer's handbook*, The Mcgraw-Hill Companies, 2008
6. Kreith, F., *Principle of Heat Transfer*, Harper & Row, Publisher,Inc., 1973
7. K Shah, Ramesh. *Fundamental of Heat Exchanger Design*. John Wiley & Son. 2003
8. Sert, Robert. *Process Heat Transfer*. Elsevier. 2007
9. V. Udeye\*, S. Mopoung, A. Vorasingha and P. Amornsakchai “Ethanol heterogeneous azeotropic distillation design and construction“. (International Journal of Physical Sciences Vol. 4 (3), pp. 101-106, March, 2009)
10. Siregar, Paniel. *Desain Termal Kondenser Satu Laluan Jenis Shell and Tube dengan Metode Heat Balance*. Skripsi DTM FTUI. 1995
11. Winata, Adi Indra. *Perancangan Shell And Tube Heat Exchanger Tipe Fixed Head dengan Menggunakan Desain 3D Template*. Skripsi DTM FTUI. 2008.
13. Open university course T333 Priciples ans application of Heat Transfer
14. *Software Reprop*
15. *Tutorial Solidworks Simulation Flow 2009*



## **LAMPIRAN**

# Lampiran 1 (Standar Tube) [3] & [5]

Dimensional Data for Commercial Tubing

| OD of<br>Tubing<br>(in.) | BWG<br>Gauge | Thickness<br>(in.) | Internal<br>Flow<br>Area<br>(in. <sup>2</sup> ) | Sq. Ft.<br>External<br>Surface<br>per Ft.<br>Length | Sq. Ft.<br>Internal<br>Surface<br>per Ft.<br>Length | Weight<br>per Ft.<br>Length,<br>Steel<br>(lb.) | ID<br>Tubing<br>(in.) | OD/ID |
|--------------------------|--------------|--------------------|---|---|---|--|-----------------------|-------|
| 1/4                      | 22           | 0.028              | 0.0295  | 0.0655  | 0.0508  | 0.066  | 0.194                 | 1.289 |
| 1/4                      | 24           | 0.022              | 0.0333  | 0.0655  | 0.0539  | 0.054  | 0.206                 | 1.214 |
| 1/4                      | 26           | 0.018              | 0.0360  | 0.0655  | 0.0560  | 0.045  | 0.214                 | 1.168 |
| 3/8                      | 18           | 0.049              | 0.0603  | 0.0982  | 0.0725  | 0.171  | 0.277                 | 1.354 |
| 3/8                      | 20           | 0.035              | 0.0731  | 0.0982  | 0.0798  | 0.127  | 0.305                 | 1.233 |
| 3/8                      | 22           | 0.028              | 0.0799  | 0.0982  | 0.0835  | 0.104  | 0.319                 | 1.176 |
| 3/8                      | 24           | 0.022              | 0.0860  | 0.0982  | 0.0867  | 0.083  | 0.331                 | 1.133 |
| 1/2                      | 16           | 0.065              | 0.1075  | 0.1309  | 0.0969  | 0.302  | 0.370                 | 1.351 |
| 1/2                      | 18           | 0.049              | 0.1269  | 0.1309  | 0.1052  | 0.236  | 0.402                 | 1.244 |
| 1/2                      | 20           | 0.035              | 0.1452  | 0.1309  | 0.1126  | 0.174  | 0.430                 | 1.163 |
| 1/2                      | 22           | 0.028              | 0.1548  | 0.1309  | 0.1162  | 0.141  | 0.444                 | 1.126 |
| 5/8                      | 12           | 0.109              | 0.1301  | 0.1636  | 0.1066  | 0.602  | 0.407                 | 1.536 |
| 5/8                      | 13           | 0.095              | 0.1486  | 0.1636  | 0.1139  | 0.537  | 0.435                 | 1.437 |
| 5/8                      | 14           | 0.083              | 0.1655  | 0.1636  | 0.1202  | 0.479  | 0.459                 | 1.362 |
| 5/8                      | 15           | 0.072              | 0.1817  | 0.1636  | 0.1259  | 0.425  | 0.481                 | 1.299 |
| 5/8                      | 16           | 0.065              | 0.1924  | 0.1636  | 0.1296  | 0.388  | 0.498                 | 1.263 |
| 5/8                      | 17           | 0.058              | 0.2035  | 0.1636  | 0.1333  | 0.350  | 0.509                 | 1.228 |
| 5/8                      | 18           | 0.049              | 0.2181  | 0.1636  | 0.1380  | 0.303  | 0.527                 | 1.186 |
| 5/8                      | 19           | 0.042              | 0.2298  | 0.1636  | 0.1416  | 0.262  | 0.541                 | 1.155 |
| 5/8                      | 20           | 0.035              | 0.2419  | 0.1636  | 0.1453  | 0.221  | 0.555                 | 1.136 |
| 3/4                      | 10           | 0.134              | 0.1825  | 0.1963  | 0.1262  | 0.884  | 0.482                 | 1.556 |
| 3/4                      | 11           | 0.120              | 0.2043  | 0.1963  | 0.1335  | 0.809  | 0.510                 | 1.471 |
| 3/4                      | 12           | 0.109              | 0.2223  | 0.1963  | 0.1393  | 0.748  | 0.532                 | 1.410 |
| 3/4                      | 13           | 0.095              | 0.2463  | 0.1963  | 0.1466  | 0.666  | 0.560                 | 1.339 |
| 3/4                      | 14           | 0.083              | 0.2679  | 0.1963  | 0.1529  | 0.592  | 0.584                 | 1.284 |
| 3/4                      | 15           | 0.072              | 0.2884  | 0.1963  | 0.1587  | 0.520  | 0.606                 | 1.238 |
| 3/4                      | 16           | 0.065              | 0.3019  | 0.1963  | 0.1623  | 0.476  | 0.620                 | 1.210 |
| 3/4                      | 17           | 0.058              | 0.3157  | 0.1963  | 0.1660  | 0.428  | 0.634                 | 1.183 |
| 3/4                      | 18           | 0.049              | 0.3339  | 0.1963  | 0.1707  | 0.367  | 0.652                 | 1.150 |
| 3/4                      | 20           | 0.035              | 0.3632  | 0.1963  | 0.1780  | 0.269  | 0.680                 | 1.103 |
| 7/8                      | 10           | 0.134              | 0.2892  | 0.2291  | 0.1589  | 1.061  | 0.607                 | 1.441 |
| 7/8                      | 11           | 0.120              | 0.3166  | 0.2291  | 0.1662  | 0.969  | 0.635                 | 1.378 |
| 7/8                      | 12           | 0.109              | 0.3390  | 0.2291  | 0.1720  | 0.891  | 0.657                 | 1.332 |
| 7/8                      | 13           | 0.095              | 0.3685  | 0.2291  | 0.1793  | 0.792  | 0.685                 | 1.277 |
| 7/8                      | 14           | 0.083              | 0.3948  | 0.2291  | 0.1856  | 0.704  | 0.709                 | 1.234 |
| 7/8                      | 16           | 0.065              | 0.4359  | 0.2291  | 0.1950  | 0.561  | 0.745                 | 1.174 |
| 7/8                      | 18           | 0.049              | 0.4742  | 0.2291  | 0.2034  | 0.432  | 0.777                 | 1.126 |
| 7/8                      | 20           | 0.035              | 0.5090  | 0.2291  | 0.2107  | 0.313  | 0.805                 | 1.087 |
| 1                        | 8            | 0.165              | 0.3526  | 0.2618  | 0.1754  | 1.462  | 0.670                 | 1.493 |
| 1                        | 10           | 0.134              | 0.4208  | 0.2618  | 0.1916  | 1.237  | 0.732                 | 1.366 |
| 1                        | 11           | 0.120              | 0.4536  | 0.2618  | 0.1990  | 1.129  | 0.760                 | 1.316 |
| 1                        | 12           | 0.109              | 0.4803  | 0.2618  | 0.2047  | 1.037  | 0.782                 | 1.279 |
| 1                        | 13           | 0.095              | 0.5153  | 0.2618  | 0.2121  | 0.918  | 0.810                 | 1.235 |
| 1                        | 14           | 0.083              | 0.5463  | 0.2618  | 0.2183  | 0.813  | 0.834                 | 1.199 |
| 1                        | 15           | 0.072              | 0.5755  | 0.2618  | 0.2241  | 0.714  | 0.856                 | 1.167 |
| 1                        | 16           | 0.065              | 0.5945  | 0.2618  | 0.2278  | 0.649  | 0.870                 | 1.119 |

**TABLE 11-12 Characteristics of Tubing (From *Standards of the Tubular Exchanger Manufacturers Association, 8th Ed., 1999; 25 North Broadway, Tarrytown, N.Y.*)**

| Tube O.D., in. | B.W.G. gage | Thickness, in. | Internal area, in. <sup>2</sup> | Sq. ft. external surface per foot length | Sq. ft. internal surface per foot length | Weight per ft. length steel, lb* | Tube I.D., in. | Moment of inertia, in. <sup>4</sup> | Section modulus, in. <sup>3</sup> | Radius of gyration, in. | Constant C† | O.D. I.D. | Transverse metal area, in. <sup>2</sup> |
|----------------|-------------|----------------|---------------------------------|--|--|----------------------------------|----------------|-------------------------------------|-----------------------------------|-------------------------|-------------|-----------|---|
| 1/4            | 22          | 0.028          | 0.0296                          | 0.0654                                   | 0.0508                                   | 0.066                            | 0.194          | 0.00012                             | 0.00098                           | 0.0791                  | 46          | 1.289     | 0.0195                                  |
|                | 24          | 0.022          | 0.0333                          | 0.0654                                   | 0.0539                                   | 0.054                            | 0.206          | 0.00010                             | 0.00083                           | 0.0810                  | 52          | 1.214     | 0.0158                                  |
|                | 26          | 0.018          | 0.0360                          | 0.0654                                   | 0.0560                                   | 0.045                            | 0.214          | 0.00009                             | 0.00071                           | 0.0823                  | 56          | 1.168     | 0.0131                                  |
|                | 27          | 0.016          | 0.0373                          | 0.0654                                   | 0.0571                                   | 0.040                            | 0.218          | 0.00008                             | 0.00065                           | 0.0829                  | 58          | 1.147     | 0.0118                                  |
| 3/8            | 18          | 0.049          | 0.0603                          | 0.0982                                   | 0.0725                                   | 0.171                            | 0.277          | 0.00065                             | 0.0036                            | 0.1166                  | 94          | 1.354     | 0.0502                                  |
|                | 20          | 0.035          | 0.0731                          | 0.0982                                   | 0.0798                                   | 0.127                            | 0.305          | 0.00055                             | 0.0029                            | 0.1208                  | 114         | 1.230     | 0.0374                                  |
|                | 22          | 0.028          | 0.0799                          | 0.0982                                   | 0.0835                                   | 0.104                            | 0.319          | 0.00046                             | 0.0025                            | 0.1231                  | 125         | 1.176     | 0.0305                                  |
|                | 24          | 0.022          | 0.0860                          | 0.0982                                   | 0.0867                                   | 0.083                            | 0.331          | 0.00038                             | 0.0020                            | 0.1250                  | 134         | 1.133     | 0.0244                                  |
| 1/2            | 16          | 0.065          | 0.1075                          | 0.1309                                   | 0.0969                                   | 0.302                            | 0.370          | 0.0021                              | 0.0086                            | 0.1555                  | 168         | 1.351     | 0.0888                                  |
|                | 18          | 0.049          | 0.1269                          | 0.1309                                   | 0.1052                                   | 0.236                            | 0.402          | 0.0018                              | 0.0071                            | 0.1604                  | 198         | 1.244     | 0.0694                                  |
|                | 20          | 0.035          | 0.1452                          | 0.1309                                   | 0.1126                                   | 0.174                            | 0.430          | 0.0014                              | 0.0056                            | 0.1649                  | 227         | 1.163     | 0.0511                                  |
|                | 22          | 0.028          | 0.1548                          | 0.1309                                   | 0.1162                                   | 0.141                            | 0.444          | 0.0012                              | 0.0046                            | 0.1672                  | 241         | 1.126     | 0.0415                                  |
| 5/8            | 12          | 0.109          | 0.1301                          | 0.1636                                   | 0.1066                                   | 0.601                            | 0.407          | 0.0061                              | 0.0197                            | 0.1865                  | 203         | 1.536     | 0.177                                   |
|                | 13          | 0.095          | 0.1486                          | 0.1636                                   | 0.1139                                   | 0.538                            | 0.435          | 0.0057                              | 0.0183                            | 0.1904                  | 232         | 1.437     | 0.158                                   |
|                | 14          | 0.083          | 0.1655                          | 0.1636                                   | 0.1202                                   | 0.481                            | 0.459          | 0.0053                              | 0.0170                            | 0.1939                  | 258         | 1.362     | 0.141                                   |
|                | 15          | 0.072          | 0.1817                          | 0.1636                                   | 0.1259                                   | 0.426                            | 0.491          | 0.0049                              | 0.0156                            | 0.1972                  | 283         | 1.299     | 0.125                                   |
|                | 16          | 0.065          | 0.1924                          | 0.1636                                   | 0.1296                                   | 0.389                            | 0.495          | 0.0045                              | 0.0145                            | 0.1993                  | 300         | 1.263     | 0.114                                   |
|                | 17          | 0.058          | 0.2035                          | 0.1636                                   | 0.1333                                   | 0.352                            | 0.509          | 0.0042                              | 0.0134                            | 0.2015                  | 317         | 1.228     | 0.103                                   |
|                | 18          | 0.049          | 0.2181                          | 0.1636                                   | 0.1390                                   | 0.302                            | 0.527          | 0.0037                              | 0.0119                            | 0.2044                  | 340         | 1.186     | 0.089                                   |
|                | 19          | 0.042          | 0.2299                          | 0.1636                                   | 0.1416                                   | 0.262                            | 0.541          | 0.0033                              | 0.0105                            | 0.2067                  | 359         | 1.155     | 0.077                                   |
|                | 20          | 0.035          | 0.2419                          | 0.1636                                   | 0.1453                                   | 0.221                            | 0.555          | 0.0028                              | 0.0091                            | 0.2090                  | 377         | 1.126     | 0.065                                   |
|                | 21          | 0.030          | 0.2539                          | 0.1636                                   | 0.1489                                   | 0.181                            | 0.569          | 0.0023                              | 0.0081                            | 0.2113                  | 395         | 1.096     | 0.053                                   |
| 3/4            | 10          | 0.134          | 0.1825                          | 0.1963                                   | 0.1262                                   | 0.833                            | 0.482          | 0.0129                              | 0.0344                            | 0.2229                  | 285         | 1.556     | 0.259                                   |
|                | 11          | 0.120          | 0.2043                          | 0.1963                                   | 0.1335                                   | 0.808                            | 0.510          | 0.0122                              | 0.0326                            | 0.2267                  | 319         | 1.471     | 0.238                                   |
|                | 12          | 0.109          | 0.2223                          | 0.1963                                   | 0.1393                                   | 0.747                            | 0.532          | 0.0116                              | 0.0309                            | 0.2299                  | 347         | 1.410     | 0.219                                   |
|                | 13          | 0.095          | 0.2463                          | 0.1963                                   | 0.1466                                   | 0.665                            | 0.560          | 0.0107                              | 0.0285                            | 0.2340                  | 384         | 1.339     | 0.195                                   |
|                | 14          | 0.083          | 0.2679                          | 0.1963                                   | 0.1529                                   | 0.592                            | 0.584          | 0.0098                              | 0.0262                            | 0.2376                  | 418         | 1.284     | 0.174                                   |
|                | 15          | 0.072          | 0.2884                          | 0.1963                                   | 0.1587                                   | 0.522                            | 0.606          | 0.0089                              | 0.0238                            | 0.2411                  | 450         | 1.238     | 0.153                                   |
|                | 16          | 0.065          | 0.3019                          | 0.1963                                   | 0.1623                                   | 0.476                            | 0.620          | 0.0083                              | 0.0221                            | 0.2433                  | 471         | 1.210     | 0.140                                   |
|                | 17          | 0.058          | 0.3157                          | 0.1963                                   | 0.1660                                   | 0.429                            | 0.634          | 0.0076                              | 0.0203                            | 0.2455                  | 492         | 1.183     | 0.126                                   |
|                | 18          | 0.049          | 0.3339                          | 0.1963                                   | 0.1707                                   | 0.367                            | 0.652          | 0.0067                              | 0.0178                            | 0.2484                  | 521         | 1.150     | 0.108                                   |
|                | 20          | 0.035          | 0.3632                          | 0.1963                                   | 0.1750                                   | 0.268                            | 0.680          | 0.0050                              | 0.0134                            | 0.2531                  | 567         | 1.103     | 0.079                                   |
| 7/8            | 10          | 0.134          | 0.2894                          | 0.2291                                   | 0.1589                                   | 1.062                            | 0.607          | 0.0221                              | 0.0505                            | 0.2662                  | 451         | 1.442     | 0.312                                   |
|                | 11          | 0.120          | 0.3167                          | 0.2291                                   | 0.1662                                   | 0.969                            | 0.635          | 0.0208                              | 0.0475                            | 0.2703                  | 494         | 1.378     | 0.285                                   |
|                | 12          | 0.109          | 0.3390                          | 0.2291                                   | 0.1720                                   | 0.893                            | 0.657          | 0.0196                              | 0.0449                            | 0.2736                  | 529         | 1.332     | 0.262                                   |
|                | 13          | 0.095          | 0.3685                          | 0.2291                                   | 0.1793                                   | 0.792                            | 0.685          | 0.0180                              | 0.0411                            | 0.2778                  | 575         | 1.277     | 0.233                                   |
|                | 14          | 0.083          | 0.3948                          | 0.2291                                   | 0.1856                                   | 0.703                            | 0.709          | 0.0164                              | 0.0374                            | 0.2815                  | 616         | 1.234     | 0.207                                   |
|                | 15          | 0.072          | 0.4197                          | 0.2291                                   | 0.1914                                   | 0.618                            | 0.731          | 0.0148                              | 0.0337                            | 0.2850                  | 655         | 1.197     | 0.182                                   |
|                | 16          | 0.065          | 0.4359                          | 0.2291                                   | 0.1950                                   | 0.563                            | 0.745          | 0.0137                              | 0.0312                            | 0.2873                  | 680         | 1.174     | 0.165                                   |
|                | 17          | 0.058          | 0.4525                          | 0.2291                                   | 0.1957                                   | 0.507                            | 0.759          | 0.0125                              | 0.0285                            | 0.2896                  | 706         | 1.153     | 0.149                                   |
|                | 18          | 0.049          | 0.4742                          | 0.2291                                   | 0.2034                                   | 0.453                            | 0.777          | 0.0109                              | 0.0249                            | 0.2925                  | 740         | 1.126     | 0.127                                   |
|                | 20          | 0.035          | 0.5090                          | 0.2291                                   | 0.2107                                   | 0.314                            | 0.805          | 0.0082                              | 0.0187                            | 0.2972                  | 794         | 1.087     | 0.092                                   |
| 1              | 8           | 0.165          | 0.3526                          | 0.2618                                   | 0.1754                                   | 1.473                            | 0.670          | 0.0392                              | 0.0784                            | 0.3009                  | 550         | 1.493     | 0.433                                   |
|                | 10          | 0.134          | 0.4208                          | 0.2618                                   | 0.1916                                   | 1.241                            | 0.732          | 0.0350                              | 0.0700                            | 0.3098                  | 656         | 1.366     | 0.365                                   |
|                | 11          | 0.120          | 0.4536                          | 0.2618                                   | 0.1990                                   | 1.129                            | 0.760          | 0.0327                              | 0.0654                            | 0.3140                  | 708         | 1.316     | 0.332                                   |
|                | 12          | 0.109          | 0.4903                          | 0.2618                                   | 0.2047                                   | 1.038                            | 0.782          | 0.0307                              | 0.0615                            | 0.3174                  | 749         | 1.279     | 0.305                                   |
|                | 13          | 0.095          | 0.5153                          | 0.2618                                   | 0.2121                                   | 0.919                            | 0.810          | 0.0280                              | 0.0559                            | 0.3217                  | 804         | 1.235     | 0.270                                   |
|                | 14          | 0.083          | 0.5463                          | 0.2618                                   | 0.2153                                   | 0.814                            | 0.834          | 0.0253                              | 0.0507                            | 0.3255                  | 852         | 1.199     | 0.239                                   |
|                | 15          | 0.072          | 0.5755                          | 0.2618                                   | 0.2241                                   | 0.714                            | 0.856          | 0.0227                              | 0.0455                            | 0.3291                  | 898         | 1.168     | 0.210                                   |
|                | 16          | 0.065          | 0.5945                          | 0.2618                                   | 0.2279                                   | 0.650                            | 0.870          | 0.0210                              | 0.0419                            | 0.3314                  | 927         | 1.149     | 0.191                                   |
|                | 18          | 0.049          | 0.6390                          | 0.2618                                   | 0.2361                                   | 0.498                            | 0.902          | 0.0166                              | 0.0332                            | 0.3367                  | 997         | 1.109     | 0.146                                   |
|                | 20          | 0.035          | 0.6793                          | 0.2618                                   | 0.2435                                   | 0.361                            | 0.930          | 0.0124                              | 0.0247                            | 0.3414                  | 1060        | 1.075     | 0.106                                   |
| 1-1/4          | 7           | 0.180          | 0.6221                          | 0.3272                                   | 0.2330                                   | 2.059                            | 0.890          | 0.0890                              | 0.1425                            | 0.3836                  | 970         | 1.404     | 0.605                                   |
|                | 8           | 0.165          | 0.6648                          | 0.3272                                   | 0.2409                                   | 1.914                            | 0.920          | 0.0847                              | 0.1355                            | 0.3880                  | 1037        | 1.359     | 0.562                                   |
|                | 10          | 0.134          | 0.7574                          | 0.3272                                   | 0.2571                                   | 1.599                            | 0.982          | 0.0742                              | 0.1187                            | 0.3974                  | 1182        | 1.273     | 0.470                                   |
|                | 11          | 0.120          | 0.8012                          | 0.3272                                   | 0.2644                                   | 1.450                            | 1.010          | 0.0688                              | 0.1100                            | 0.4018                  | 1250        | 1.238     | 0.426                                   |
|                | 12          | 0.109          | 0.8365                          | 0.3272                                   | 0.2702                                   | 1.330                            | 1.032          | 0.0642                              | 0.1027                            | 0.4052                  | 1305        | 1.211     | 0.391                                   |
|                | 13          | 0.095          | 0.8825                          | 0.3272                                   | 0.2775                                   | 1.173                            | 1.060          | 0.0579                              | 0.0926                            | 0.4097                  | 1377        | 1.179     | 0.345                                   |
|                | 14          | 0.083          | 0.9229                          | 0.3272                                   | 0.2838                                   | 1.036                            | 1.084          | 0.0521                              | 0.0833                            | 0.4136                  | 1440        | 1.153     | 0.304                                   |
|                | 16          | 0.065          | 0.9852                          | 0.3272                                   | 0.2932                                   | 0.824                            | 1.120          | 0.0426                              | 0.0682                            | 0.4196                  | 1537        | 1.116     | 0.242                                   |
|                | 18          | 0.049          | 1.0423                          | 0.3272                                   | 0.3016                                   | 0.629                            | 1.152          | 0.0334                              | 0.0534                            | 0.4250                  | 1626        | 1.085     | 0.185                                   |
|                | 20          | 0.035          | 1.0936                          | 0.3272                                   | 0.3089                                   | 0.455                            | 1.180          | 0.0247                              | 0.0395                            | 0.4297                  | 1706        | 1.059     | 0.134                                   |
| 1-1/2          | 10          | 0.134          | 1.1921                          | 0.3927                                   | 0.3225                                   | 1.957                            | 1.232          | 0.1354                              | 0.1806                            | 0.4853                  | 1860        | 1.218     | 0.575                                   |
|                | 12          | 0.109          | 1.2908                          | 0.3927                                   | 0.3356                                   | 1.621                            | 1.282          | 0.1159                              | 0.1545                            | 0.4933                  | 2014        | 1.170     | 0.476                                   |
|                | 14          | 0.083          | 1.3977                          | 0.3927                                   | 0.3492                                   | 1.257                            | 1.334          | 0.0931                              | 0.1241                            | 0.5018                  | 2180        | 1.124     | 0.369                                   |
|                | 16          | 0.065          | 1.4741                          | 0.3927                                   | 0.3587                                   | 0.997                            | 1.370          | 0.0756                              | 0.1008                            | 0.5079                  | 2300        | 1.095     | 0.293                                   |
| 2              | 11          | 0.120          | 2.4328                          | 0.5236                                   | 0.4608                                   | 2.412                            | 1.760          | 0.3144                              | 0.3144                            | 0.6660                  | 3795        | 1.136     | 0.709                                   |
|                | 12          | 0.109          | 2.4941                          | 0.5236                                   | 0.4665                                   | 2.204                            | 1.782          | 0.2904                              | 0.2904                            | 0.6697                  | 3891        | 1.122     | 0.648                                   |
|                | 13          | 0.095          | 2.5730                          | 0.5236                                   | 0.4739                                   | 1.935                            | 1.810          | 0.2586                              | 0.2588                            | 0.6744                  | 4014        | 1.105     | 0.569                                   |
|                | 14          | 0.083          | 2.6417                          | 0.5236                                   | 0.4801                                   | 1.701                            | 1.834          | 0.2300                              | 0.2300                            | 0.6784                  | 4121        | 1.091     | 0.500                                   |

\*Weights are based on low-carbon steel with a density of 0.2936 lb/cu. in. For other metals multiply by the following factors: aluminum, 0.35; titanium, 0.58; A.I.S.I. 400 Series S/steels, 0.99; A.I.S.I. 300 Series S/steels, 1.02; aluminum bronze, 1.04; aluminum brass, 1.06; nickel-chrome-iron, 1.07; Admiralty, 1.09; nickel, 1.13; nickel-copper, 1.12; copper and cupro-nickels, 1.14.

$$\text{Liquid velocity} = \frac{\text{lb per tube hour}}{C \times \text{sp gr of liquid}} \quad \text{ft/s (sp gr of water at } 60^\circ\text{F} = 1.0)$$

## Lampiran 2 (Standar TEMA) [5]

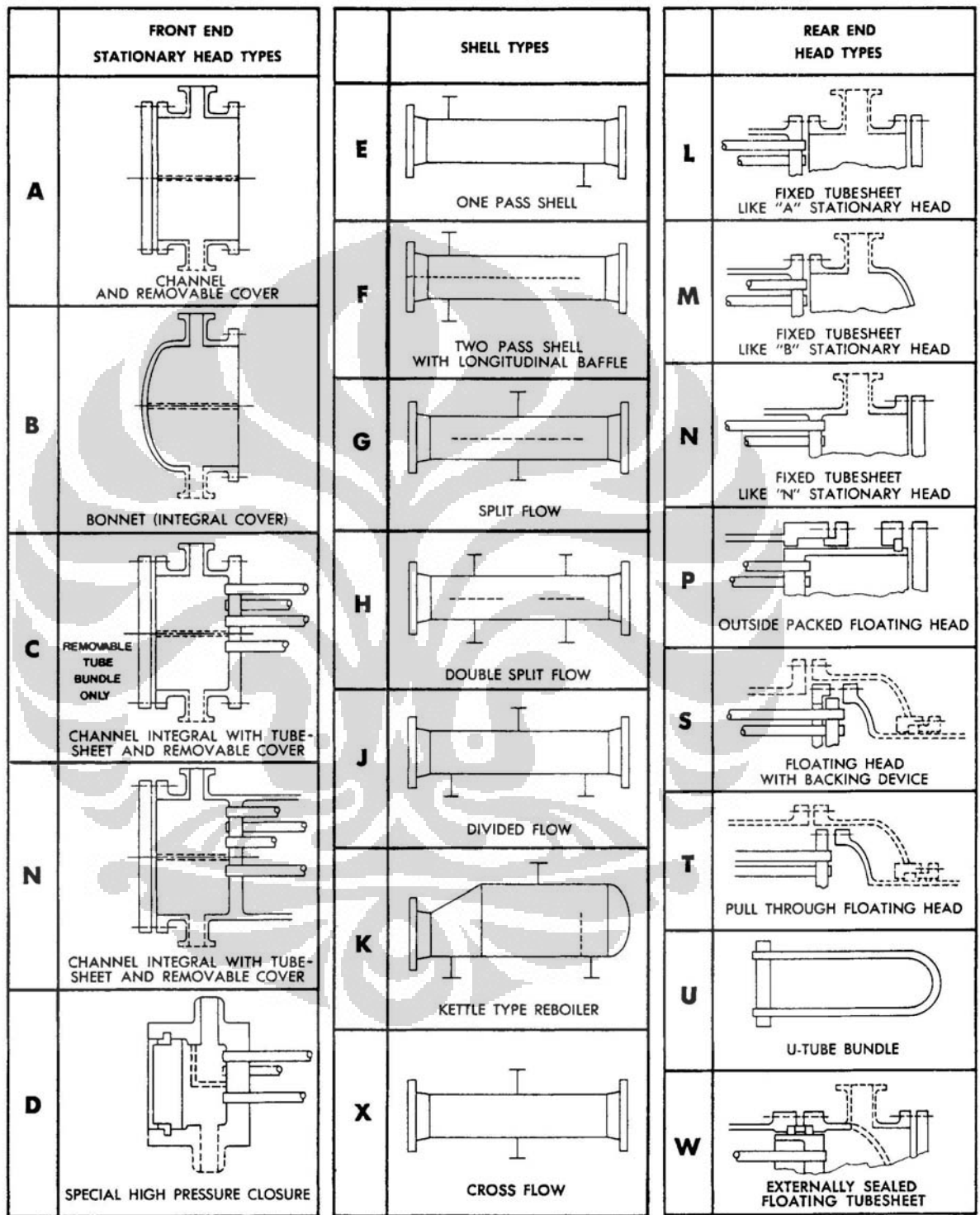
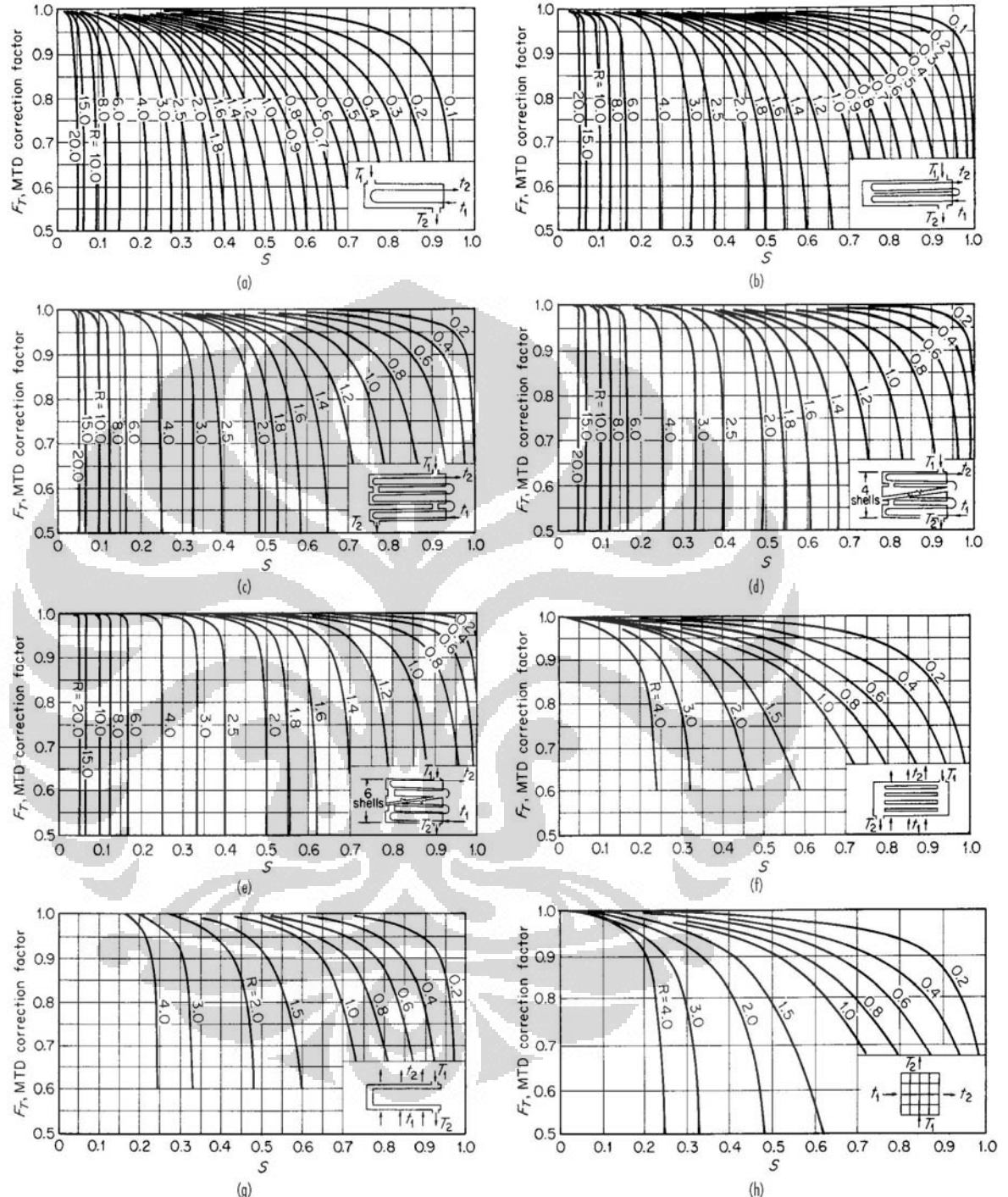


FIG. 11-35 TEMA-type designations for shell-and-tube heat exchangers. (Standards of Tubular Exchanger Manufacturers Association, 6th ed., 1978.)

### Lampiran 3 (Koreksi Faktor F) [5]



**FIG. 11-4** LMTD correction factors for heat exchangers. In all charts,  $R = (T_1 - T_2)/(t_2 - t_1)$  and  $S = (t_2 - t_1)/(T_1 - T_2)$ . (a) One shell pass, two or more tube passes. (b) Two shell passes, four or more tube passes. (c) Three shell passes, six or more tube passes. (d) Four shell passes, eight or more tube passes. (e) Six shell passes, twelve or more tube passes. (f) Cross-flow, one shell pass, one or more parallel rows of tubes. (g) Cross-flow, two passes, two rows of tubes; for more than two passes, use  $F_T = 1.0$ . (h) Cross-flow, one shell pass, one tube pass, both fluids unmixed. (i) Cross-flow (drip type), two horizontal passes with U-bend connections (trombone type). (j) Cross-flow (drip type), helical coils with two turns.

## Lampiran 4 (Unit Conversion) [4]

| Physical quantity | Given in           | Multipled by | Gives           | Approximate or useful relationship             |
|-------------------|--------------------|--------------|-----------------|--|
|                   | Gives              | Divided by   | Given in        |  |
| Length            | ft                 | 0.3048       | m               | $3\frac{1}{4} \text{ ft} \approx 1 \text{ m}$  |
|                   | in                 | 25.4 (exact) | mm              | $1 \text{ in} \approx 25 \text{ mm}$           |
|                   | mil                | 0.0254       | mm              |  |
|                   | yard               | 0.9144       | m               |  |
|                   | mile (mi)          | 1609.3       | m               | $1 \text{ mi} \approx 1.6 \text{ km}$          |
|                   | km                 | 0.621388     | mi              |  |
| Area              | ft <sup>2</sup>    | 0.092903     | m <sup>2</sup>  | $100 \text{ ft}^2 \approx 9 \text{ m}^2$       |
|                   | in <sup>2</sup>    | 645.16       | mm <sup>2</sup> | $1 \text{ in}^2 \approx 650 \text{ mm}^2$      |
|                   | acre               | 4 047.0      | m <sup>2</sup>  |  |
| Volume            | ft <sup>3</sup>    | 0.028317     | m <sup>3</sup>  | $35 \text{ ft}^3 \approx 1 \text{ m}^3$        |
|                   | U.S. gal           | 0.003785     | m <sup>3</sup>  | $260 \text{ gal} \approx 1 \text{ m}^3$        |
|                   | U.S. gal           | 3.785        | liter (L)       | $1 \text{ gal} \approx 3\frac{3}{4} \text{ L}$ |
|                   | L (liter)          | 0.2642       | U.S. gal        | $1 \text{ L} \approx 0.26 \text{ gal}$         |
|                   | Brit. gal          | 0.004546     | m <sup>3</sup>  |  |
|                   | U.S. gal           | 0.13368      | ft <sup>3</sup> |  |
|                   | barrel (U.S. pet.) | 0.15898      | m <sup>3</sup>  |  |
|                   | barrel (U.S. pet.) | 42           | U.S. gal        |  |
| Velocity          | ft/s <sup>a</sup>  | 0.3048       | m/s             | $10 \text{ ft/s} \approx 3 \text{ m/s}$        |
|                   | m/s                | 3.2808       | ft/s            |  |
|                   | ft/min             | 0.00508      | m/s             |  |
|                   | mi/h               | 1.6093       | km/h            |  |
|                   | km/h               | 0.6214       | mi/h            |  |
|                   | knots              | 1.852        | km/h            |  |

Table 3 Unit conversion (Continued)

| Physical quantity            | Given in<br>Gives  | Multipled by<br>Divided by  | Gives<br>Given in   | Approximate or useful<br>relationship   |
|------------------------------|--|---|---|---|
| Mass                         | $\text{lb}_m$<br>$\text{kg}$<br>metric ton<br>ton (2 000 lb.)  | 0.45359<br>2.2046<br>2 204.6<br>907.18  | $\text{kg}$<br>$\text{lb}_m$<br>$\text{lb}_m$<br>$\text{kg}$  | 1 lb, r.45 kg<br>1 kg- 2.2 lb,<br>metric ton = $10^3$ kg  |
| Force                        | $\text{lb}_f$<br>$\text{lb}_f$<br>$\text{kg}_f$<br>$\text{kg}_f$<br>dyne   | 4.44822<br>0.45359<br>2.2046<br>9.80665<br>0.00001 (exact)                        | $N = \text{kg m/s}^2$<br>$\text{kg}_f$<br>$\text{lb}_f$<br>$N$<br>$N$   | $1 N \approx 0.1 \text{ kg}_f$<br>$\approx 0.22 \text{ lb}_f$   |
| Amount of substance          | $\text{lb}_m\text{-mol}$<br>$\text{g}\text{-mol}$<br>$\text{kg}\text{-mol}$<br>$\text{mol}$                            | 453.6<br>1.000<br>1.000<br>1 000  | $\text{kmol}$<br>$\text{mol}$<br>$\text{kmol}$<br>$\text{kmol}$   |   |
| Mass flow rate               | $\text{lb}_m/\text{h}$<br>$\text{kg/s}$<br>$\text{lb}_m/\text{s}$<br>$\text{lb}_m/\text{min}$                          | 0.0001260<br>7 936.51<br>0.4536<br>0.00756  | $\text{kg/s}$<br>$\text{lb}_m/\text{h}$<br>$\text{kg/s}$<br>$\text{kg/s}$   | $10^3 \text{ lb/h} \approx .13 \text{ kg/s}$  |
| Volume flow rate             | U.S. gal/min<br>U.S. bbl/day<br>U.S. bbl/day<br>$\text{ft}^3/\text{s}$<br>$\text{ft}^3/\text{min}$                     | $6.309 \times 10^{-5}$<br>0.15899<br>$1.84 \times 10^{-6}$<br>0.02832<br>0.000472 | $\text{m}^3/\text{s}$<br>$\text{m}^3/\text{day}$<br>$\text{m}^3/\text{s}$<br>$\text{m}^3/\text{s}$<br>$\text{m}^3/\text{s}$ |   |
| Mass velocity<br>(mass flux) | $\text{lb}_m/\text{h ft}^2$<br>$\text{kg/s m}^2$   | $1.356 \times 10^-3$<br>737.5   | $\text{kg/s m}^2$<br>$\text{lb}_m/\text{h ft}^2$  |   |
| Energy (work)<br>(heat)      | Btu<br>Btu<br>Btu<br>kcal<br>$\text{ft lb}_f$<br>Wh  | 1 055.056<br>0.2520<br>778.28<br>4 186.8<br>1.3558<br>3 600                       | J = N m = W s<br>kcal<br>$\text{ft lb}_f$<br>J<br>J<br>J  | $1 \text{ Btu} \approx 1 000 \text{ J}$<br>$1 \text{ kcal} \approx 4 \text{ Btu}$<br>$1 \text{ kcal} \approx 4 000 \text{ J}$ |
| Power                        | Btu/h<br>W<br>kcal/h<br>$\text{ft lb}_f/\text{s}$<br>hp (metric)<br>Btu/h<br>tons refriger.                            | 0.2931<br>3.4118<br>1.163<br>1.3558<br>735.5<br>0.2520<br>3 5 16.9                | W = J/s<br>Btu/h<br>W<br>W<br>W<br>kcal/h<br>W  | $10^6 \text{ Btu/h} \approx 300 \text{ kW}$<br>$1 000 \text{ kW} \approx 3.5 \times 10^6 \text{ Btu/h}$                       |
| Heat flux                    | Btu/h $\text{ft}^2$<br>$\text{W/m}^2$<br>kcal/ $\text{cm}^2 \text{ s}$   | 3.1546<br>0.317<br>41.868   | $\text{W/m}^2$<br>$\text{Btu/h ft}$<br>$\text{W/m}^2$   | $1 000 \text{ Btu/h ft}^2 \approx 3.2 \text{ kW/m}^2$   |
| Heat transfer coefficient    | Btu/h $\text{ft}^2 \text{ }^\circ\text{F}$<br>$\text{W/m}^2 \text{ K}$<br>kcal/ $\text{cm}^2 \text{ s }^\circ\text{C}$ | 5.6784<br>0.1761<br>41.868  | $\text{W/m}^2 \text{ K}$<br>$\text{Btu/h ft}^2 \text{ }^\circ\text{F}$<br>$\text{W/m}^2 \text{ K}$                          | $1 000 \text{ Btu/h ft}^2 \text{ }^\circ\text{F} \approx 5 600 \text{ W/m}^2 \text{ K}$                                       |
| Heat transfer resistance     | $(\text{Btu/h ft}^2 \text{ }^\circ\text{F})^{-1}$<br>$(\text{W/m}^2 \text{ K})^{-1}$                                   | 0.1761<br>5.6784  | $(\text{W/m}^2 \text{ K})^{-1}$<br>$(\text{Btu/h ft}^2 \text{ }^\circ\text{F})^{-1}$  | $0.001 (\text{Btu/h ft}^2 \text{ }^\circ\text{F})^{-1} \approx 0.000 18 (\text{W/m}^2 \text{ K})^{-1}$                        |
| Pressure                     | $\text{lb}_f/\text{in}^2$ (psi)<br>kPa<br>bar  | 6.8948<br>0.1450<br>100   | $\text{kN/m}^2 = \text{kPa}$<br>psi<br>kPa  | 1 psi $\approx 7 \text{ kPa}$<br>14.5 psi $\approx 100 \text{ kPa}$   |

(See footnotes on page xxix.)

Table 3 Unit conversion (*Continued*)

| Physical quantity                 | Given in<br>G i v e s   | Multipled by<br>Divided by  | Gives<br>Given in  | Approximate or useful<br>relationship  |
|-----------------------------------|---|---|--|--|
| Pressure ( <i>Continued</i> )     | $\text{lb}_f/\text{ft}^2$<br>mm Hg (torr)<br>in Hg<br>mm $H_2O$<br>in $H_2O$<br>at ( $\text{kg}_f/\text{cm}^2$ )<br>atm (normal)                        | 0.0479<br>0.1333<br>3.3866<br>9.8067<br>249.09<br>98.0665<br><u>101.325</u>   | kPa<br>kPa<br>kPa<br>Pa<br>Pa<br>kPa<br>kPa  | $1\ 000\ \text{kPa} = 1\ \text{MPa} \approx 150\ \text{psi}$<br>$1\ \text{in } H_2O \approx .25\ \text{kPa}$<br>atm = 760 mmHg |
| Mass flux                         | $\text{lb}_m/\text{ft}^2\ \text{s}$<br>$\text{lb}_m/\text{ft}^2\ \text{h}$  | 4.8824<br>0.001356  | $\text{kg}/\text{m}^2\ \text{s}$<br>$\text{kg}/\text{m}^2\ \text{s}$   |  |
| Physical and Transport Properties |   |   |  |  |
| Thermal conductivity              | Btu/ $\text{ft}\ \text{h}\ {}^\circ\text{F}$<br>W/m K<br>kcal/ $\text{m}\ \text{h}\ {}^\circ\text{C}$   | 1.7308<br>0.5778<br>1.163   | W/m K<br>Btu/ $\text{ft}\ \text{h}\ {}^\circ\text{F}$<br>W/m K   | steel $\approx 50\ \text{W/m K}$<br>water (20°C) $\approx 0.6\ \text{W/m K}$<br>air (STP) $\approx 24\ \text{mW/m K}$          |
| Density                           | $\text{lb}_m/\text{ft}^3$<br>$\text{kg}/\text{m}^3$<br>$\text{lb}_m/\text{U.S. gal}$  | <u>16.0185</u><br>0.06243<br>119.7  | $\text{kg}/\text{m}^3$<br>$\text{lb}_m/\text{ft}^3$<br>$\text{kg}/\text{m}^3$  | 62.4 $\text{lb}_m/\text{ft}^3 \approx 1\ 000\ \text{kg}/\text{m}^3$  |
| Specific heat capacity            | Btu/ $\text{lb}_m\ {}^\circ\text{F}$<br>kcal/ $\text{kg}\ {}^\circ\text{C}$   | 4 186.8<br>4 186.8  | J/kg K<br>J/kg K   | $1\ \text{Btu}/\text{lb}_m\ {}^\circ\text{F} \approx 4.2\ \text{kJ}/\text{kg K}$   |
| Enthalpy                          | Btu/ $\text{lb}_m$<br>kcal/ $\text{kg}_m$   | 2 326<br>4 186.8  | J/kg<br>J/kg   |  |
| Dynamic (absolute) viscosity      | centipoise (cP)<br>poise (P)<br>cP<br>$\text{lb}_m/\text{ft}\ \text{h}$<br>$\text{lb}_m/\text{ft}\ \text{h}$<br>cP<br>$\text{lb}_m/\text{ft}\ \text{s}$ | 0.001<br>0.1<br>1.000<br>0.0004 134<br>0.4134<br>2.4189<br>1.4482   | $\text{kg}/\text{m s}$<br>Pa s<br>mPa s<br>$\mu\text{Pa s}$<br>Pa s<br>cP<br>$\text{lb}_m/\text{ft}\ \text{h}$<br>Pa s                       | $\text{kg}/\text{m s} = \text{N s}/\text{m}^2 = \text{Pa s}$<br>water (100°C), 0.31 cP<br>air (100°C), 0.021 cP                |
| Kinematic viscosity               | stoke (St), $\text{cm}^2/\text{s}$<br>centistoke (cSt)<br>$\text{ft}^2/\text{s}$  | 0.0001<br>$10^{-6}$<br>0.092903   | $\text{m}^2/\text{s}$<br>$\text{m}^2/\text{s}$<br>$\text{m}^2/\text{s}$  |  |
| Diffusivity                       | $\text{ft}^2/\text{s}$  | 0.092903  | $\text{m}^2/\text{s}$  |  |
| Thermal diffusivity               | $\text{m}^2/\text{h}$<br>$\text{ft}^2/\text{s}$<br>$\text{ft}^2/\text{h}$   | 0.0002778<br>0.092903<br>$25.81 \times 10^{-6}$   | $\text{m}^2/\text{s}$<br>$\text{m}^2/\text{s}$<br>$\text{m}^2/\text{s}$  |  |
| Surface tension                   | dyne/cm<br>dyne/cm<br>$\text{lb}_f/\text{ft}$   | 0.001<br>$6.852 \times 10^{-5}$<br>14.954   | N/m<br>$\text{lb}_f/\text{ft}$<br>N/m  |  |
| Temperature relations:            | ${}^\circ\text{C} = \frac{5}{9}({}^\circ\text{F} - 32)$<br>${}^\circ\text{F} = \frac{9}{5}({}^\circ\text{C}) + 32$                                      | ${}^\circ\text{C} = ({}^\circ\text{F} + 40)\frac{5}{9} + 40$<br>${}^\circ\text{F} = ({}^\circ\text{C} + 40)\frac{9}{5} - 40$  | $\Delta T({}^\circ\text{C}) = \frac{5}{9}\Delta T({}^\circ\text{F})$<br>$\Delta T({}^\circ\text{F}) = \frac{9}{5}\Delta T({}^\circ\text{C})$ | $K = {}^\circ\text{C} + 273.15$<br>$R = {}^\circ\text{F} + 459.67$   |
| Miscellaneous:                    | Acceleration of gravity (standard):<br>Gas constant:<br>Stefan-Boltzmann constant:  | $g = 9.806\ 65\ \text{m/s}^2$<br>$R = 8\ 314.3\ \text{m N/K kmol}$<br>$5.669\ 7 \times 10^{-8}\ \text{W/m}^2\ \text{K}^4$<br>$1.714 \times 10^{-9}\ \text{Btu}/\text{ft}^2\ \text{h R}^4$ |  |  |

Even though the abbreviations s and h were introduced only with the SI, they are used here throughout for consistency.

*b* Note: the calorie and Btu are based on the International Standard Table values. The thermochemical calorie equals 4.184 J (exact) and is used in some older texts.

## Lampiran 5 (Tabel Fouling) [8]

3/96 HEAT EXCHANGERS

**Table 3.3 (Continued)**

***Oil refinery streams***

|                                       |             |
|---------------------------------------|-------------|
| • Crude oil <sup>b</sup>              |             |
| – Temperature less than 250°F         | 0.002–0.003 |
| – Temperature between 250°F and 350°F | 0.003–0.004 |
| – Temperature between 350°F and 450°F | 0.004–0.005 |
| – Temperature greater than 450°F      | 0.005–0.006 |
| • Liquid product streams              |             |
| – Gasoline                            | 0.001–0.002 |
| – Naphtha and light distillates       | 0.001–0.003 |
| – Kerosene                            | 0.001–0.003 |
| – Light gas oil                       | 0.002–0.003 |
| – Heavy gas oil                       | 0.003–0.005 |
| – Heavy fuel oils                     | 0.003–0.007 |
| – Asphalt and residuum                | 0.007–0.01  |
| • Other oil streams                   |             |
| – Refined lube oil                    | 0.001       |
| – Cycle oil                           | 0.002–0.004 |
| – Coker gas oil                       | 0.003–0.005 |
| – Absorption oils                     | 0.002       |

<sup>a</sup> Assumes water velocity greater than 3 ft/s. Lower values of ranges correspond to water temperature below about 120°F and hot stream temperature below about 250°F.

<sup>b</sup> Assumes desalting at approximately 250°F and a minimum oil velocity of 2 ft/s.

Source: Refs. [7,8] and [www.engineeringpage.com](http://www.engineeringpage.com).

**Table 3.3 Typical Values of Fouling Factors ( $h \cdot ft^2 \cdot ^\circ F/Btu$ )**

| <i>Cooling water streams<sup>a</sup></i>              |              |
|---|--------------|
| • Seawater  | 0.0005–0.001 |
| • Brackish water                                      | 0.001–0.002  |
| • Treated cooling tower water                         | 0.001–0.002  |
| • Municipal water supply                              | 0.001–0.002  |
| • River water   | 0.001–0.003  |
| • Engine jacket water                                 | 0.001        |
| • Distilled or demineralized water                    | 0.0005       |
| • Treated boiler feedwater                            | 0.0005–0.001 |
| • Boiler blowdown                                     | 0.002        |
| <i>Service gas streams</i>                            |              |
| • Ambient air (in air-cooled units)                   | 0–0.0005     |
| • Compressed air                                      | 0.001–0.002  |
| • Steam (clean)                                       | 0–0.0005     |
| • Steam (with oil traces)                             | 0.001–0.002  |
| • Refrigerants (with oil traces)                      | 0.002        |
| • Ammonia   | 0.001        |
| • Carbon dioxide                                      | 0.002        |
| • Flue gases  | 0.005–0.01   |
| <i>Service liquid streams</i>                         |              |
| • Fuel oil  | 0.002–0.005  |
| • Lubrication oil                                     | 0.001        |
| • Transformer oil                                     | 0.001        |
| • Hydraulic fluid                                     | 0.001        |
| • Organic heat-transfer fluids                        | 0.001–0.002  |
| • Refrigerants  | 0.001        |
| • Brine   | 0.003        |
| <i>Process gas streams</i>                            |              |
| • Hydrogen  | 0.001        |
| • Organic solvent vapors                              | 0.001        |
| • Acid gases  | 0.002–0.003  |
| • Stable distillation overhead products               | 0.001        |
| <i>Process liquid streams</i>                         |              |
| • Amine solutions                                     | 0.002        |
| • Glycol solutions                                    | 0.002        |
| • Caustic solutions                                   | 0.002        |
| • Alcohol solutions                                   | 0.002        |
| • Ammonia   | 0.001        |
| • Vegetable oils                                      | 0.003        |
| • Stable distillation side-draw and bottom products   | 0.001–0.002  |
| <i>Natural gas processing streams</i>                 |              |
| • Natural gas   | 0.001        |
| • Overhead vapor products                             | 0.001–0.002  |
| • C <sub>3</sub> or C <sub>4</sub> vapor (condensing) | 0.001        |
| • Lean oil  | 0.002        |
| • Rich oil  | 0.001        |
| • LNG and LPG   | 0.001        |

(Continued)

## Lampiran 6 (Perkiraan Koefisien Menyeluruh U)

| <b>Shell and tube exchangers</b> |                     |                                     |
|----------------------------------|---------------------|-------------------------------------|
| <b>Hot fluid</b>                 | <b>Cold fluid</b>   | <b><i>U</i> (W/m<sup>2</sup>°C)</b> |
| <i>Heat exchangers</i>           |                     |                                     |
| Water                            | Water               | 800–1500                            |
| Organic solvents                 | Organic solvents    | 100–300                             |
| Light oils                       | Light oils          | 100–400                             |
| Heavy oils                       | Heavy oils          | 50–300                              |
| Gases                            | Gases               | 10–50                               |
| <i>Coolers</i>                   |                     |                                     |
| Organic solvents                 | Water               | 250–750                             |
| Light oils                       | Water               | 350–900                             |
| Heavy oils                       | Water               | 60–300                              |
| Gases                            | Water               | 20–300                              |
| Organic solvents                 | Brine               | 150–500                             |
| Water                            | Brine               | 600–1200                            |
| Gases                            | Brine               | 15–250                              |
| <i>Heaters</i>                   |                     |                                     |
| Steam                            | Water               | 1500–4000                           |
| Steam                            | Organic solvents    | 500–1000                            |
| Steam                            | Light oils          | 300–900                             |
| Steam                            | Heavy oils          | 60–450                              |
| Steam                            | Gases               | 30–300                              |
| Dowtherm                         | Heavy oils          | 50–300                              |
| Dowtherm                         | Gases               | 20–200                              |
| Flue-gases                       | Steam               | 30–100                              |
| Flue                             | Hydrocarbon vapours | 30–100                              |
| <i>Condensers</i>                |                     |                                     |
| Aqueous vapours                  | Water               | 1000–1500                           |
| Organic vapours                  | Water               | 700–1000                            |
| Organics (some non-condensables) | Water               | 500–700                             |
| Vacuum condensers                | Water               | 200–500                             |
| <i>Vaporisers</i>                |                     |                                     |
| Steam                            | Aqueous solutions   | 1000–1500                           |
| Steam                            | Light organics      | 900–1200                            |
| Steam                            | Heavy organics      | 600–900                             |

## Lampiran 7 (Properties dengan RefProp)

**REFPROP (ethanol) - NIST Reference Fluid Properties**

File Edit Options Substance Calculate Plot Window Help Cautions

3: ethanol: Specified state points

|   | Temperature (K) | Pressure (MPa) | Density (kg/m³) | Enthalpy (kJ/kg) | Entropy (kJ/kg-K) | Therm. Cond. (mW/m-K) | Viscosity (μPa-s) | Prandtl |  |
|---|-----------------|----------------|-----------------|------------------|-------------------|-----------------------|-------------------|---------|--|
| 1 | 352.00          | 0.10400        | 735.81          | 416.31           | 1.6903            | 153.05                | 436.88            | 9.1106  |  |
| 2 |                 |                |                 |                  |                   |                       |                   |         |  |

**REFPROP (water) - NIST Reference Fluid Properties**

File Edit Options Substance Calculate Plot Window Help Cautions

4: water: Specified state points

|   | Temperature (K) | Pressure (MPa) | Density (kg/m³) | Enthalpy (kJ/kg) | Entropy (kJ/kg-K) | Cp (kJ/kg-K) | Therm. Cond. (mW/m-K) | Viscosity (μPa-s) | Prandtl |  |
|---|-----------------|----------------|-----------------|------------------|-------------------|--------------|-----------------------|-------------------|---------|--|
| 1 | 295.00          | 0.10133        | 997.81          | 91.747           | 0.32278           | 4.1829       | 601.74                | 957.84            | 6.6582  |  |
| 2 | 293.20          | 0.10133        | 998.20          | 84.217           | 0.29718           | 4.1840       | 598.55                | 1000.4            | 6.9929  |  |
| 3 | 300.00          | 0.10133        | 996.56          | 112.65           | 0.39306           | 4.1806       | 610.32                | 853.83            | 5.8486  |  |
| 4 |                 |                |                 |                  |                   |              |                       |                   |         |  |

**REFPROP (ethanol) - NIST Reference Fluid Properties - [5: ethanol: Specified state points]**

File Edit Options Substance Calculate Plot Window Help Cautions

|   | Temperature (K) | Pressure (MPa) | Enthalpy (kJ/kg) | Liquid Enthalpy (kJ/kg) | Vapor Enthalpy (kJ/kg) | Cp (kJ/kg-K) | Liquid Cp (kJ/kg-K) | Vapor Cp (kJ/kg-K) | Viscosity (μPa-s) | Liquid Viscosity (μPa-s) | Vapor Viscosity (μPa-s) | Prandtl | Liquid Prandtl | Vapor Prandtl |
|---|-----------------|----------------|------------------|-------------------------|------------------------|--------------|---------------------|--------------------|-------------------|--------------------------|-------------------------|---------|----------------|---------------|
| 1 | 376.20          | 0.10400        | 1310.1           | Superheated             | 1310.1                 | 1.8940       | Superheated         | 1.8940             | 11.136            | Superheated              | 11.136                  | 0.87373 | Superheated    | 0.87373       |
| 2 | 353.00          | 0.10400        | 1267.0           | Superheated             | 1267.0                 | 1.8140       | Superheated         | 1.8140             | 10.428            | Superheated              | 10.428                  | 0.85451 | Superheated    | 0.85451       |
| 3 | 352.00          | 0.10400        | 416.31           | 416.31                  | Subcooled              | 3.1917       | 3.1917              | Subcooled          | 436.88            | 436.88                   | Subcooled               | 9.1106  | 9.1106         | Subcooled     |

**REFPROP (water) - NIST Reference Fluid Properties - [6: water: Specified state points]**

File Edit Options Substance Calculate Plot Window Help Cautions

|   | Temperature (K) | Pressure (MPa) | Enthalpy (kJ/kg) | Liquid Enthalpy (kJ/kg) | Vapor Enthalpy (kJ/kg) | Cp (kJ/kg-K) | Liquid Cp (kJ/kg-K) | Vapor Cp (kJ/kg-K) | Viscosity (μPa-s) | Liquid Viscosity (μPa-s) | Vapor Viscosity (μPa-s) | Prandtl | Liquid Prandtl | Vapor Prandtl |
|---|-----------------|----------------|------------------|-------------------------|------------------------|--------------|---------------------|--------------------|-------------------|--------------------------|-------------------------|---------|----------------|---------------|
| 1 | 293.00          | 0.10130        | 83.380           | 83.380                  | Subcooled              | 4.1842       | 4.1842              | Subcooled          | 1005.3            | 1005.3                   | Subcooled               | 7.0317  | 7.0317         | Subcooled     |
| 2 | 298.40          | 0.10130        | 105.97           | 105.97                  | Subcooled              | 4.1812       | 4.1812              | Subcooled          | 885.04            | 885.04                   | Subcooled               | 6.0902  | 6.0902         | Subcooled     |
| 3 | 295.70          | 0.10130        | 94.675           | 94.675                  | Subcooled              | 4.1825       | 4.1825              | Subcooled          | 942.07            | 942.07                   | Subcooled               | 6.5347  | 6.5347         | Subcooled     |
| 4 |                 |                |                  |                         |                        |              |                     |                    |                   |                          |                         |         |                |               |

# Lampiran 8 (Hasil Simulasi Keseluruhan)

## FULL REPORT

### *System Info*

|                  |  |
|------------------|--|
| Product          | Flow Simulation 2009 0.0. Build: 706                             |
| Computer name    | PRAMESWA-732555  |
| User name        | Ceger  |
| Processors       | Intel(R) Core(TM)2 CPU T5500 @ 1.66GHz<br>( 2 processors)        |
| Memory           | 2038 MB / 2047 MB  |
| Operating system | Microsoft Windows XP Professional Service Pack 2<br>(Build 2600) |
| CAD version      | SolidWorks 2009 SP365425488                                      |
| CPU speed        | 1666 MHz   |

### *General Info*

|  |  |
|--|--|
| Model                                    | E:\Skripsi\gambar\desain 7x\new desain\shell assembly.SLDASM |
| Project name                             | humidity lg  |
| Project path                             | E:\Skripsi\gambar\desain 7x\new desain\3                     |
| Units system                             | SI (m-kg-s)  |
| Analysis type                            | Internal   |
| Exclude cavities without flow conditions | On   |
| Coordinate system                        | Global coordinate system                                     |
| Reference axis                           | X  |

## INPUT DATA

### **Initial Mesh Settings**

Automatic initial mesh: On  
 Result resolution level: 3  
 Advanced narrow channel refinement: Off  
 Refinement in solid region: Off

### **Geometry Resolution**

Evaluation of minimum gap size: Automatic  
 Evaluation of minimum wall thickness: Automatic

### **Computational Domain**

#### *Size*

|       |              |
|-------|--------------|
| X min | -0.0318135 m |
| X max | 0 m          |
| Y min | -0.0418335 m |
| Y max | 0.0418335 m  |
| Z min | -0.06048 m   |
| Z max | 0.42048 m    |

### **Boundary Conditions**

|               |          |
|---------------|----------|
| 2D plane flow | None     |
| At X min      | Default  |
| At X max      | Symmetry |
| At Y min      | Default  |
| At Y max      | Default  |
| At Z min      | Default  |
| At Z max      | Default  |

### **Physical Features**

Heat conduction in solids: On  
 Heat conduction in solids only: Off  
 Radiation: Off  
 Time dependent: Off  
 Gravitational effects: On  
 Flow type: Laminar and turbulent  
 High Mach number flow: Off  
 Relative humidity: 70 %  
 Default roughness: 0 micrometer

### **Gravitational Settings**

|             |                       |
|-------------|-----------------------|
| X component | 0 m/s <sup>2</sup>    |
| Y component | 0 m/s <sup>2</sup>    |
| Z component | 9.81 m/s <sup>2</sup> |

Default outer wall condition  
 Heat transfer coefficient: 5 W/m<sup>2</sup>/K  
 External fluid temperature: 293.2 K

### **Initial Conditions**

|                          |   |
|--------------------------|---|
| Thermodynamic parameters | Static Pressure: 101400 Pa<br>Temperature: 376.2 K  |
| Velocity parameters      | Velocity vector<br>Velocity in X direction: 0 m/s<br>Velocity in Y direction: 0 m/s<br>Velocity in Z direction: 0 m/s |
| Solid parameters         | Default material: Insulator<br>Initial solid temperature: 293.2 K   |
| Turbulence parameters    | Turbulence intensity and length<br>Intensity: 2 %<br>Length: 0.000635 m   |

### **Material Settings**

#### **Fluids**

Ethanol  
 Water

#### **Solids**

Insulator  
 Plain Carbon Steel  
 Copper

## Fluid Subdomains

water

|                             |  |
|-----------------------------|--|
| Thermodynamic Parameters    | Static Pressure: 101325 Pa<br>Pressure potential: On<br>Temperature: 293.2 K                       |
| Velocity Parameters         | Velocity in X direction: 0 m/s<br>Velocity in Y direction: 0 m/s<br>Velocity in Z direction: 0 m/s |
| Turbulence parameters type: | Turbulence intensity and length  |
| Intensity                   | 2 %  |
| Length                      | 0.000635 m   |
| Flow type                   | Laminar and Turbulent  |
| Cavitation                  | Off  |
| Default fluid type          | Liquid   |
| Fluids                      | Water  |
| Faces                       | Face<2>@Lid Inlet Water-1  |
| Coordinate system           | Global coordinate system   |
| Reference axis              | X  |

## Solid Materials

Plain Carbon Steel Solid Material 1

|                 |  |
|-----------------|--|
| Components      | rear end-1<br>baffle front-5<br>baffle end-3<br>baffle end-4<br>baffle end-5<br>front end-3<br>shell-1<br>baffle front-1<br>baffle front-2<br>baffle front-3<br>baffle end-1<br>baffle end-2<br>baffle front-4 |
| Solid substance | Plain Carbon Steel   |

Copper Solid Material 1

|            |  |
|------------|--|
| Components | tubess-7<br>tubess-12<br>tubess-34<br>tubess-13<br>tubess-8<br>tubess-9<br>tubess-26<br>tubess-27<br>tubess-28<br>tubess-29<br>tubess-1<br>tubess-2<br>tubess-3<br>tubess-30<br>tubess-31<br>tubess-4<br>tubess-5<br>tubess-10 |
|------------|--|

|                 |   |
|-----------------|---|
|                 | tubess-32<br>tubess-6<br>tubess-11<br>tubess-33 |
| Solid substance | Copper  |

## Boundary Conditions

### Inlet Mass Flow 1

|                           |   |
|---------------------------|---|
| Type                      | Inlet Mass Flow   |
| Faces                     | Face <1 >   |
| Coordinate system         | Face Coordinate System  |
| Reference axis            | X   |
| Flow parameters           | Flow vectors direction: Normal to face<br>Mass flow rate normal to face: 0.002 kg/s<br>Fully developed flow: No<br>Inlet profile: 0 |
| Thermodynamic parameters  | Temperature: 376.2 K  |
| Turbulence parameters     | Turbulence intensity and length<br>Intensity: 2 %<br>Length: 0.000635 m   |
| Boundary layer parameters | Boundary layer type: Turbulent  |

### Environment Pressure 1

|                           |   |
|---------------------------|---|
| Type                      | Environment Pressure  |
| Faces                     | Face <1 >   |
| Coordinate system         | Face Coordinate System  |
| Reference axis            | X   |
| Thermodynamic parameters  | Environment pressure: 101400 Pa<br>Temperature: 376.2 K                 |
| Turbulence parameters     | Turbulence intensity and length<br>Intensity: 2 %<br>Length: 0.000635 m |
| Boundary layer parameters | Boundary layer type: Turbulent  |

### Environment Pressure 2

|                           |   |
|---------------------------|---|
| Type                      | Environment Pressure  |
| Faces                     | Face <1 >   |
| Coordinate system         | Face Coordinate System  |
| Reference axis            | X   |
| Thermodynamic parameters  | Environment pressure: 101400 Pa<br>Temperature: 376.2 K                 |
| Turbulence parameters     | Turbulence intensity and length<br>Intensity: 2 %<br>Length: 0.000635 m |
| Boundary layer parameters | Boundary layer type: Turbulent  |

### Inlet Mass Flow 2

|                   |   |
|-------------------|---|
| Type              | Inlet Mass Flow   |
| Faces             | Face <1 >   |
| Coordinate system | Face Coordinate System  |
| Reference axis    | X   |
| Flow parameters   | Flow vectors direction: Normal to face<br>Mass flow rate normal to face: 0.1 kg/s<br>Fully developed flow: No<br>Inlet profile: 0 |

|                           |   |
|---------------------------|---|
| Thermodynamic parameters  | Temperature: 293.2 K  |
| Turbulence parameters     | Turbulence intensity and length<br>Intensity: 2 %<br>Length: 0.000635 m |
| Boundary layer parameters | Boundary layer type: Turbulent  |

#### Environment Pressure 3

|                           |   |
|---------------------------|---|
| Type                      | Environment Pressure  |
| Faces                     | Face <1>  |
| Coordinate system         | Face Coordinate System  |
| Reference axis            | X   |
| Thermodynamic parameters  | Environment pressure: 101325 Pa<br>Temperature: 293.2 K                 |
| Turbulence parameters     | Turbulence intensity and length<br>Intensity: 2 %<br>Length: 0.000635 m |
| Boundary layer parameters | Boundary layer type: Turbulent  |

## Goals

### Surface Goals

#### SG Av Heat Flux 1

|                    |                              |
|--------------------|------------------------------|
| Type               | Surface Goal                 |
| Goal type          | Heat Flux                    |
| Calculate          | Average value                |
| Faces              | Face<2>@Lid Outlet Ethanol-1 |
| Coordinate system  | Global coordinate system     |
| Use in convergence | On                           |

#### SG Av Heat Flux 2

|                    |                            |
|--------------------|----------------------------|
| Type               | Surface Goal               |
| Goal type          | Heat Flux                  |
| Calculate          | Average value              |
| Faces              | Face<1>@Lid Outlet Water-1 |
| Coordinate system  | Global coordinate system   |
| Use in convergence | On                         |

## Calculation Control Options

### Finish Conditions

|                   |                        |
|-------------------|------------------------|
| Finish conditions | If one is satisfied    |
| Maximum travels   | 4                      |
| Goals convergence | Analysis interval: 0.5 |

### Solver Refinement

Refinement: Disabled

### Results Saving

|                        |    |
|------------------------|----|
| Save before refinement | On |
|------------------------|----|

### ***Advanced Control Options***

|                        |          |
|------------------------|----------|
| Flow Freezing          | Disabled |
| Flow freezing strategy | Disabled |

## **RESULTS**

### **General Info**

Iterations: 307  
CPU time: 7568 s

### ***Log***

|   |                   |
|---|-------------------|
| Mesh generation started   | 01:54:00 , Dec 17 |
| Mesh generation normally finished   | 01:56:43 , Dec 17 |
| Preparing data for calculation  | 01:56:50 , Dec 17 |
| Calculation started 0   | 01:57:27 , Dec 17 |
| Calculation has converged since the following criteria are satisfied: 306 | 04:32:30 , Dec 17 |
| Max. travel is reached 306  |                   |
| Calculation finished 307  | 04:33:10 , Dec 17 |

Warnings: A vortex crosses the pressure opening 3 ; Inlet flow/outlet flow=0.021293      Boundary Condition : Environment Pressure

Invalid goals      Goal name: SG Av Heat Flux 1  
Goal name: SG Av Heat Flux 2

### **Calculation Mesh**

#### ***Basic Mesh Dimensions***

|                      |    |
|----------------------|----|
| Number of cells in X | 3  |
| Number of cells in Y | 8  |
| Number of cells in Z | 52 |

#### ***Number Of Cells***

|                 |       |
|-----------------|-------|
| Total cells     | 56345 |
| Fluid cells     | 7272  |
| Solid cells     | 2891  |
| Partial cells   | 46182 |
| Irregular cells | 0     |
| Trimmed cells   | 320   |

Maximum refinement level: 4

### Min/Max Table

| Name   | Minimum     | Maximum   |
|--|-------------|-----------|
| Pressure [Pa]                                      | 101187      | 108154    |
| Temperature [K]                                    | 293.2       | 376.201   |
| Density [kg/m <sup>3</sup> ]                       | 1.48962     | 997.562   |
| Velocity [m/s]                                     | 0           | 28.7359   |
| X-velocity [m/s]                                   | -3.07243    | 9.55354   |
| Y-velocity [m/s]                                   | -8.47267    | 8.23094   |
| Z-velocity [m/s]                                   | -26.6889    | 28.7349   |
| Mach Number [ ]                                    | 0           | 0.105546  |
| Heat Transfer Coefficient<br>[W/m <sup>2</sup> /K] | 0.00212711  | 21234.5   |
| Shear Stress [Pa]                                  | 2.65074e-15 | 10.956    |
| Surface Heat Flux [W/m <sup>2</sup> ]              | -44311.3    | 22347.7   |
| Steam Mass Fraction [ ]                            | 0           | 0.0063982 |
| Ethanol Mass Fraction [ ]                          | 0           | 0.993602  |
| Steam Volume Fraction [ ]                          | 0           | 0.0162084 |
| Ethanol Volume Fraction [ ]                        | 0           | 0.983796  |
| Fluid Temperature [K]                              | 293.2       | 376.201   |
| Solid Temperature [K]                              | 293.202     | 349.203   |
| Melting Temperature Exceed [K]                     | 293.202     | 349.203   |

## Lampiran 9 (Prosedur CAD)

Pada simulasi ini semua gambar part harus dibuat dalam file assembly, sehingga untuk menambah part cukup dengan menekan *insert new part*.

- **Shell and Tube Assembly**

1. Klik Insert Component dan pilih tube.part yang telah dibuat
2. Assembly menjadi Shell and Tube dengan perintah Mate

- **Tube :**

1. Pilih face untuk memulai sketch
2. Sketch lingkaran sesuai ukuran
3. Klik Extrude sesuai ukuran
4. Klik Shell dan pilih permukaan depan dan belakang Tube

- **Shell**

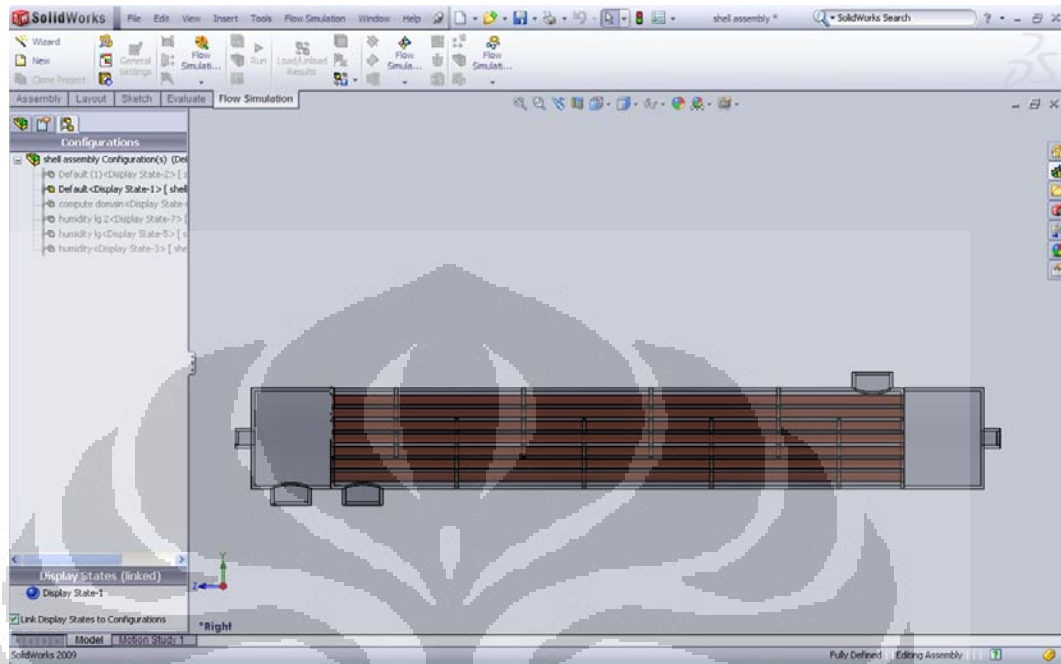
1. Pilih face untuk memulai sketch
2. Buat lingkaran sesuai ukuran dan Klik Extrude sesuai ukuran
3. Buat plane sejajar di permukaan atas shell
4. Sketch lingkaran sesuai ukuran
5. Klik Extrude direction 1 sesuai ukuran dan direction 2 up to next
6. Buat plane sejajar di permukaan bawah shell
7. Sketch lingkaran sesuai ukuran
8. Klik Extrude direction 1 sesuai ukuran dan direction 2 up to next
9. Klik fitur Shell dan pilih permukaan yang ingin dilubangi
10. Buat lingkaran untuk menutup shell dengan fitur extrude
11. Buat lingkaran sebesar diameter luar tube dan lubangi dengan fitur Cut Extrude
12. Klik fitur Linear Pattern dan perbanyak lubang tube sesuai kebutuhan

- **Baffle**

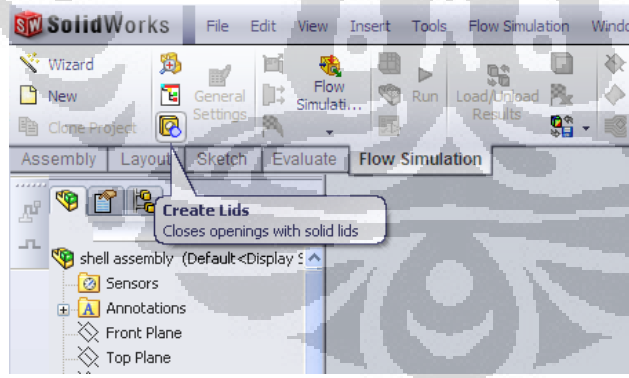
1. Buat garis Bantu ditengah lingkaran sepanjang Baffle yang diperlukan
2. Sketch garis dan busur untuk membentuk Baffle
3. Extrude Sketch yang telah dibuat
4. Klik fitur Linear Pattern untuk memperbanyak baffle
5. Lakukan hal yang sama pada baffle sisi satunya

## Lampiran 10 (Prosedur Simulasi)

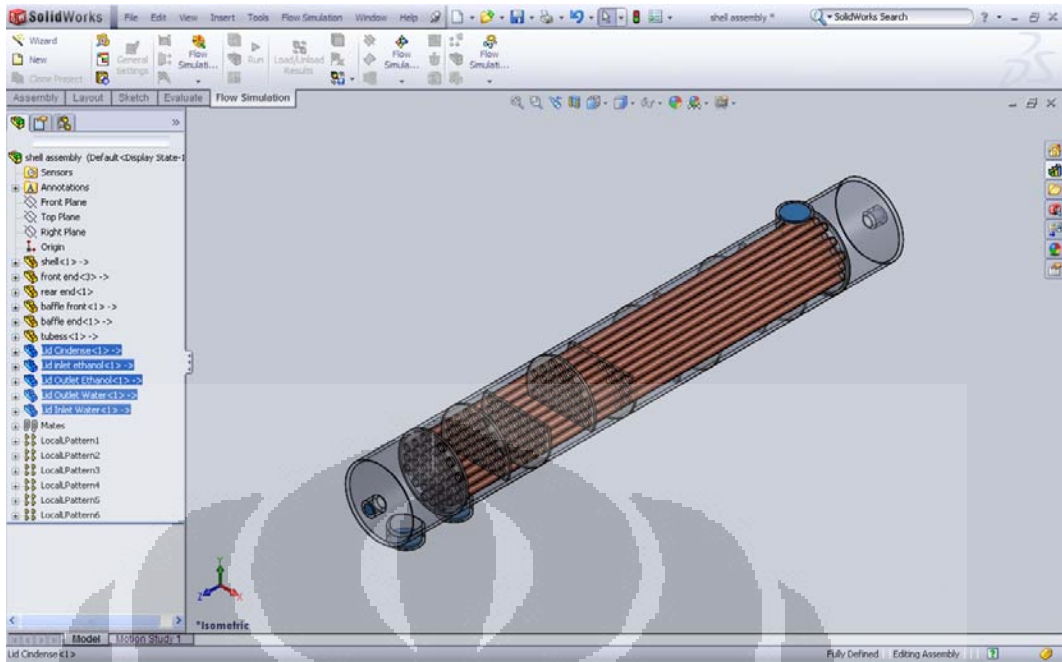
1. Open model yang telah dibuat



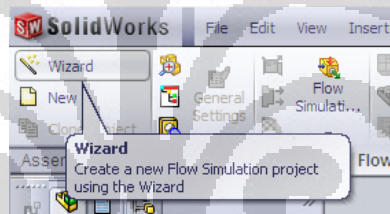
2. Tutup semua lubang dengan fitur lid yang nantinya akan digunakan sebagai inlet dan outlet



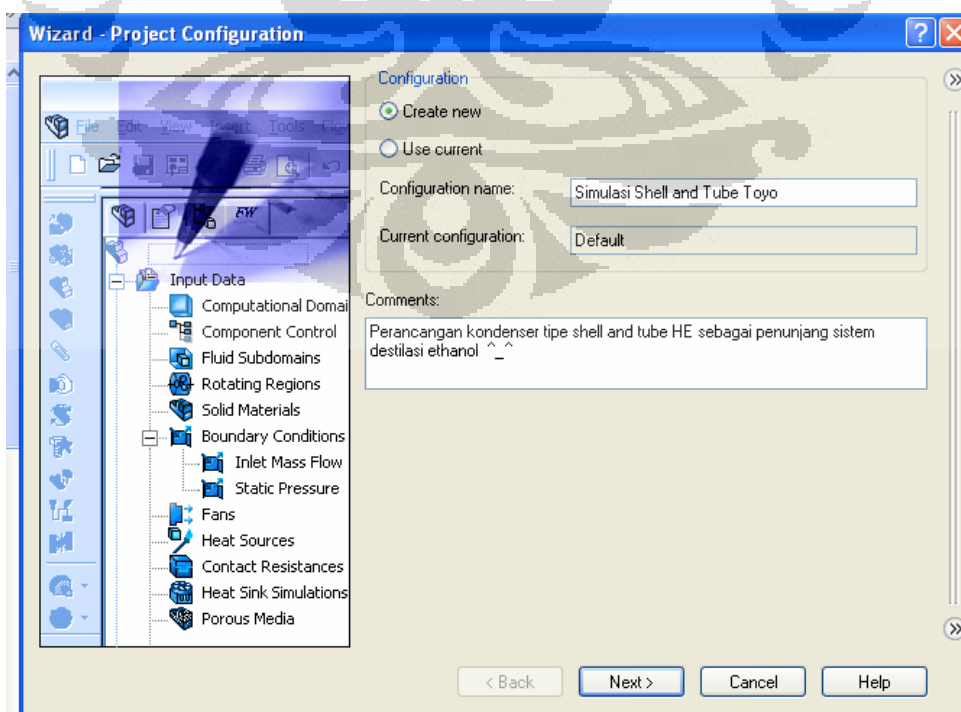
Kemudian pilih permukaan yang berlubang dan lid akan otomatis terbentuk



3. Setelah lid telah dibuat, saatnya memulai langkah selanjutnya untuk melakukan simulasi.

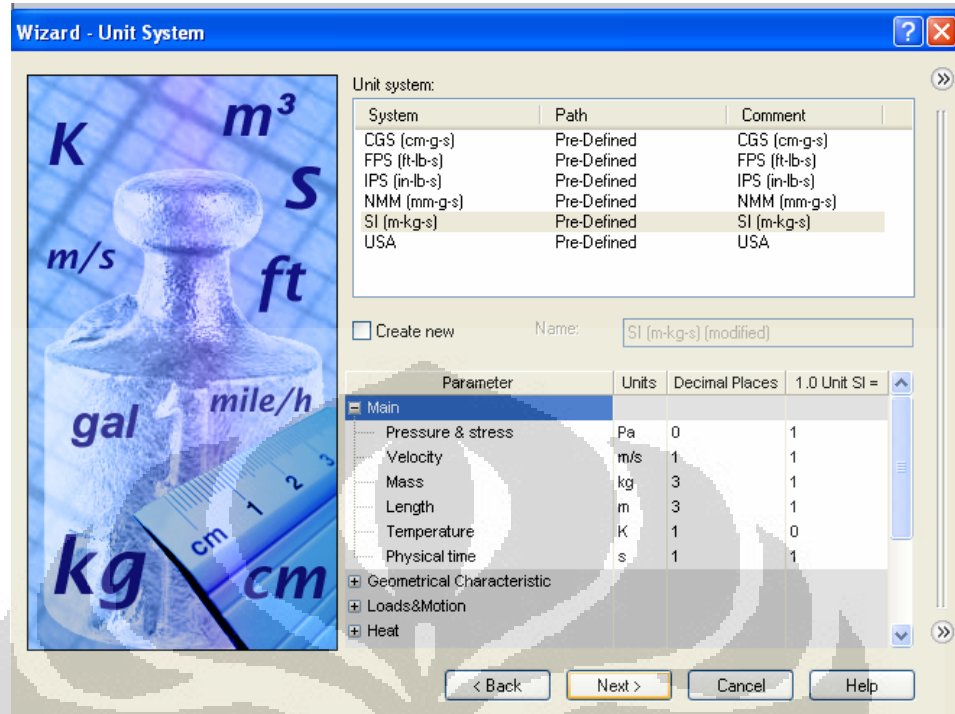


4. Tekan wizard dan akan muncul gambar seperti dibawah

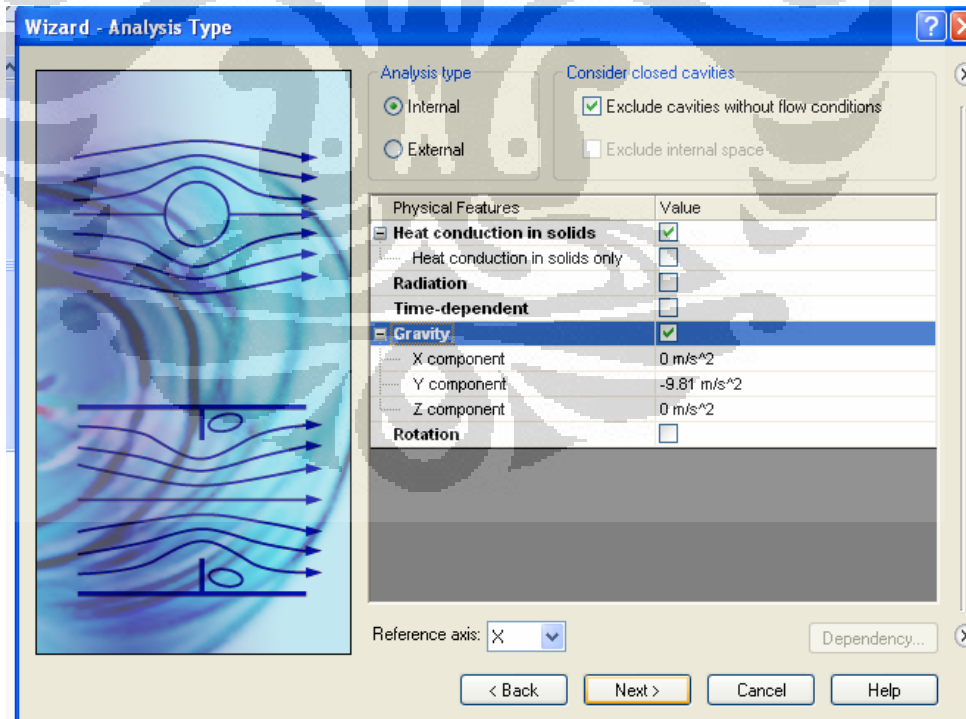


Universitas Indonesia

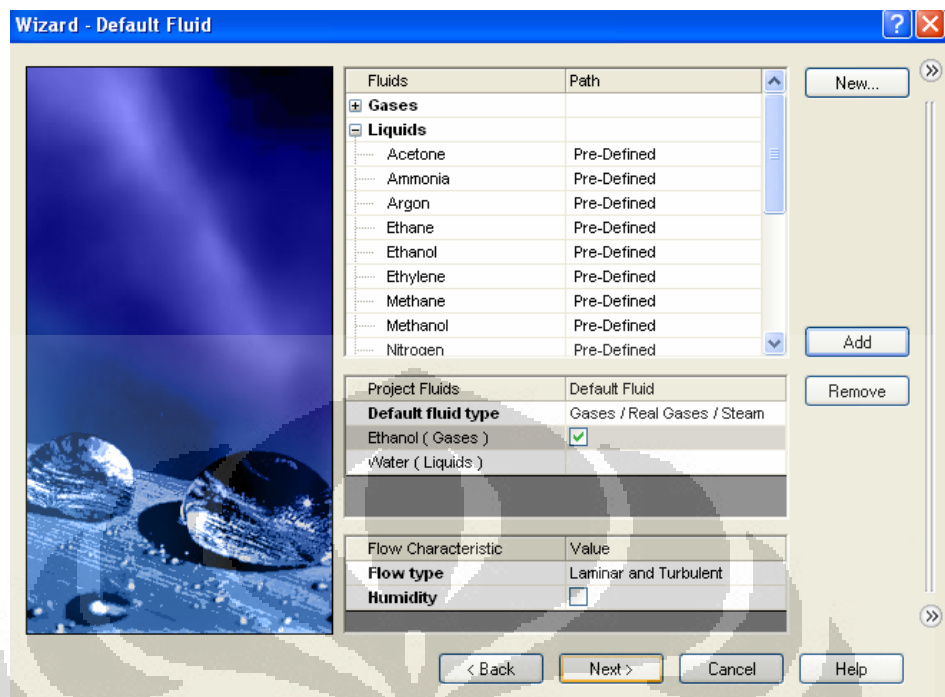
5. Klik next dan tentukan system unit yang akan digunakan



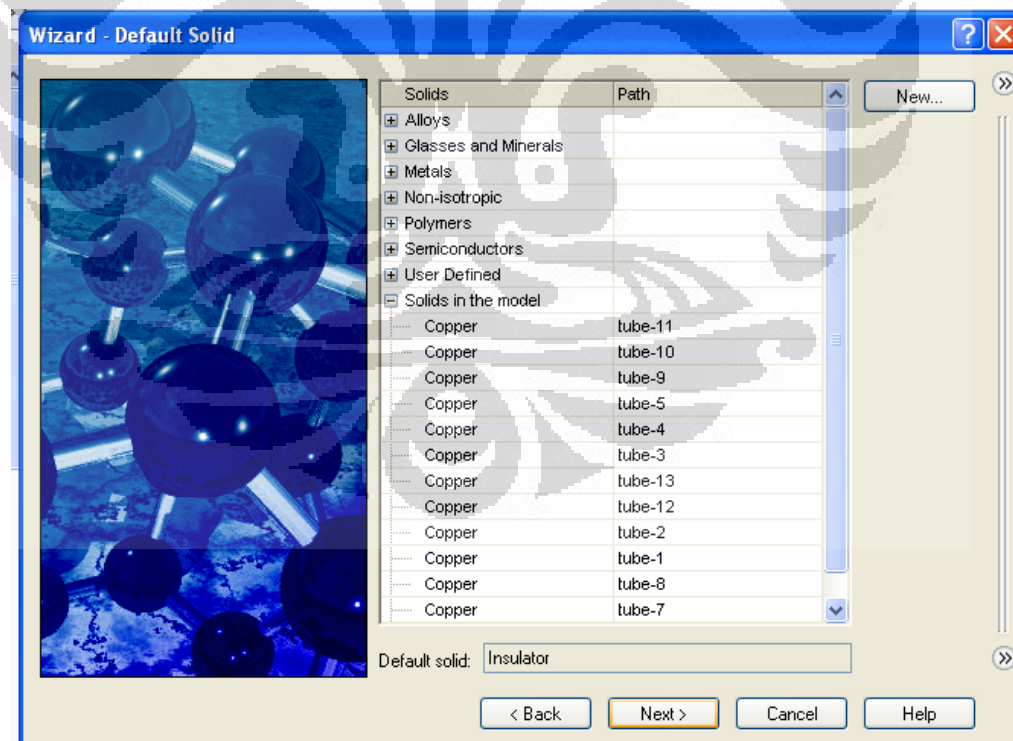
6. Klik next dan tentukan tipe aliran yang akan dianalisa (gravitasi -Z)



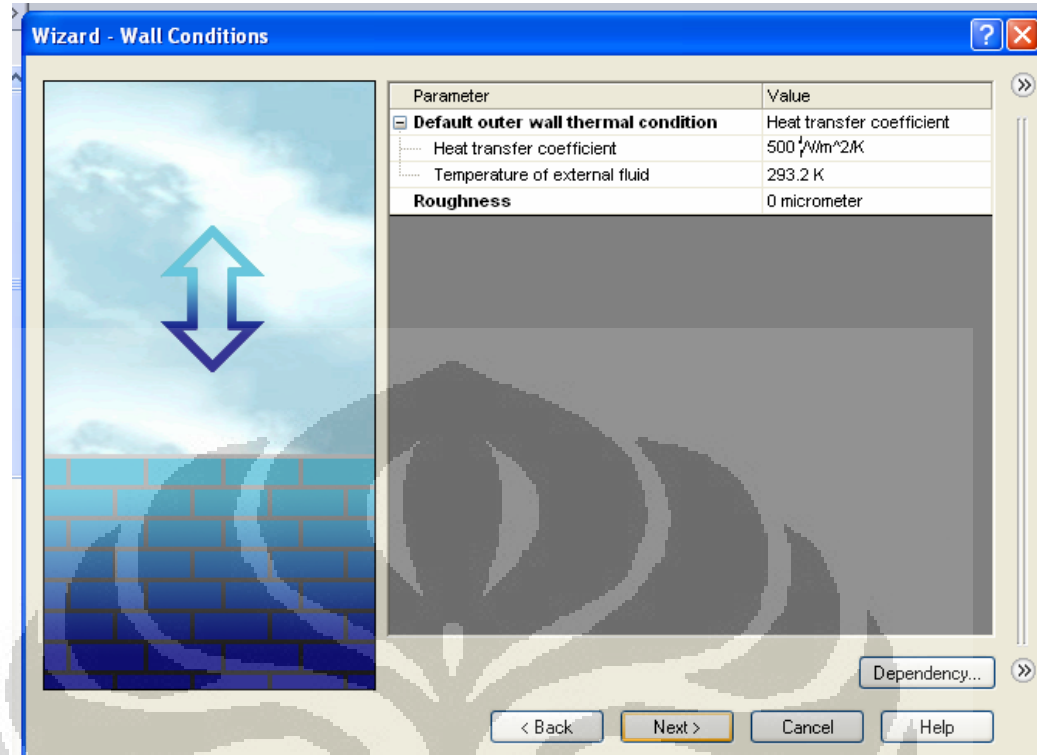
7. Klik next dan tentukan jenis fluida yang akan digunakan



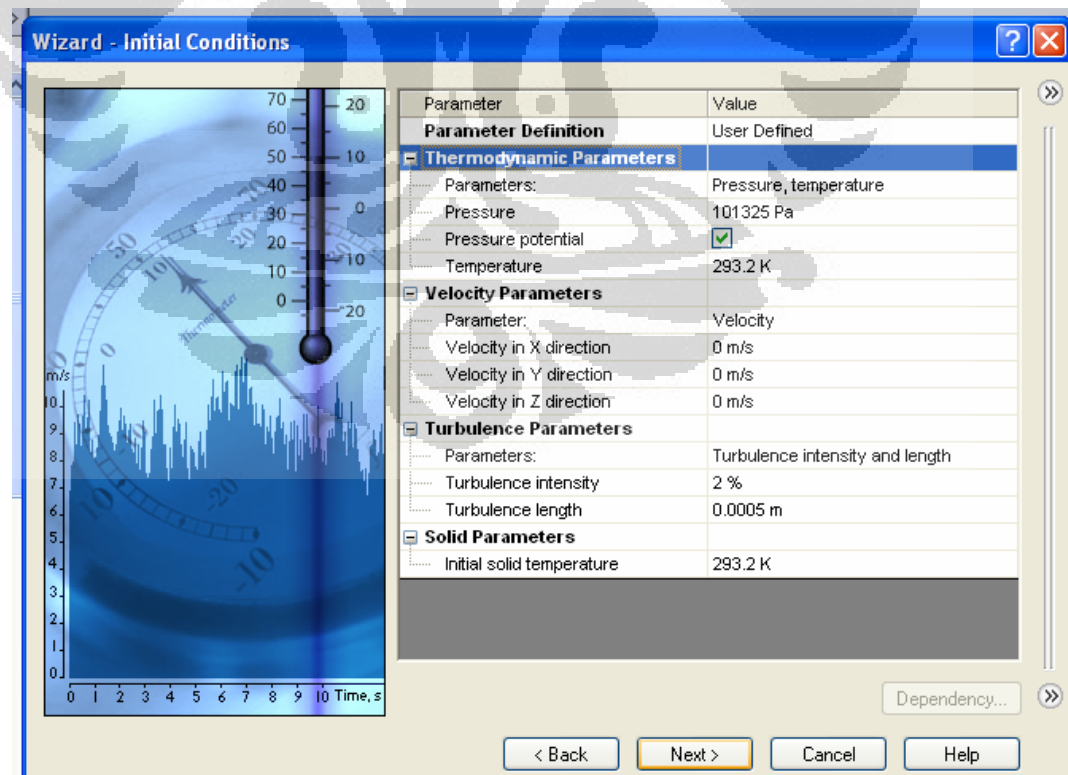
8. Klik next dan tentukan default material untuk solid



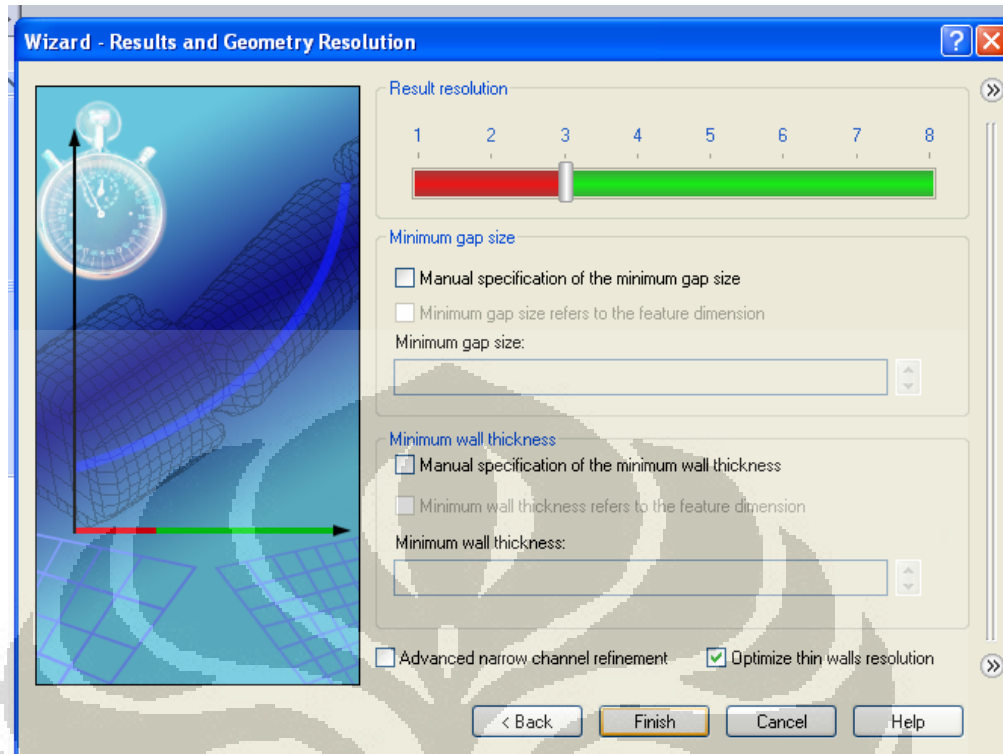
9. Klik next dan tentukan wall condition ( $h= 5 \text{ w/m.K}$ )



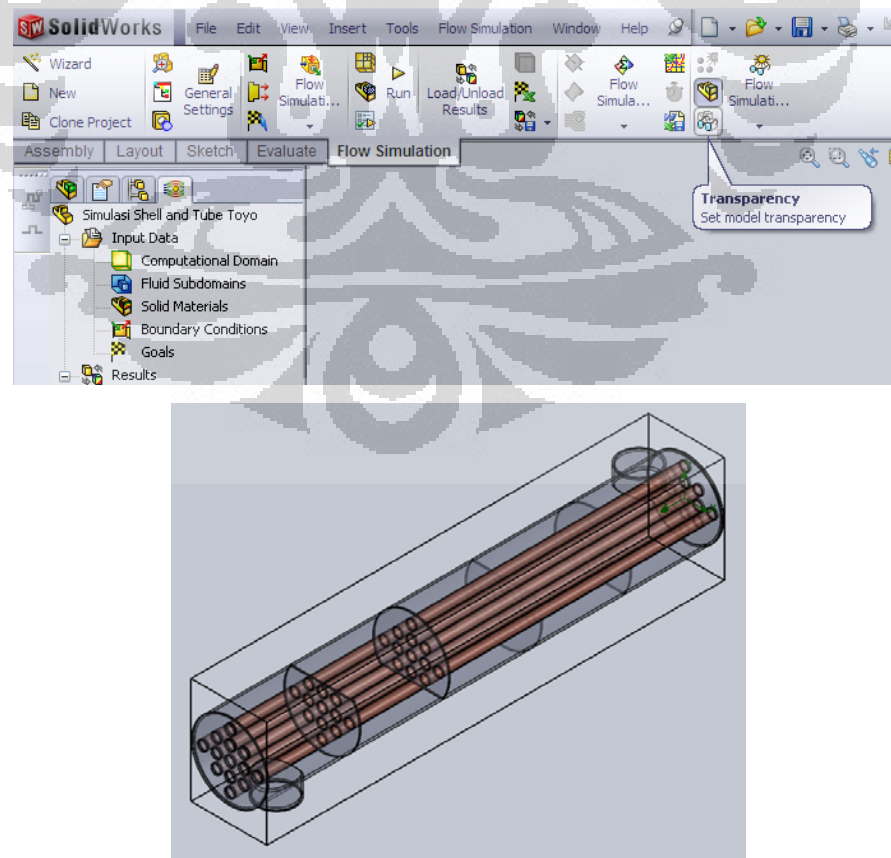
10. Klik next dan tentukan *Initial Condition*



11. Klik next dan tentukan mesh sesuai kebutuhan simulasi, kemudian finish

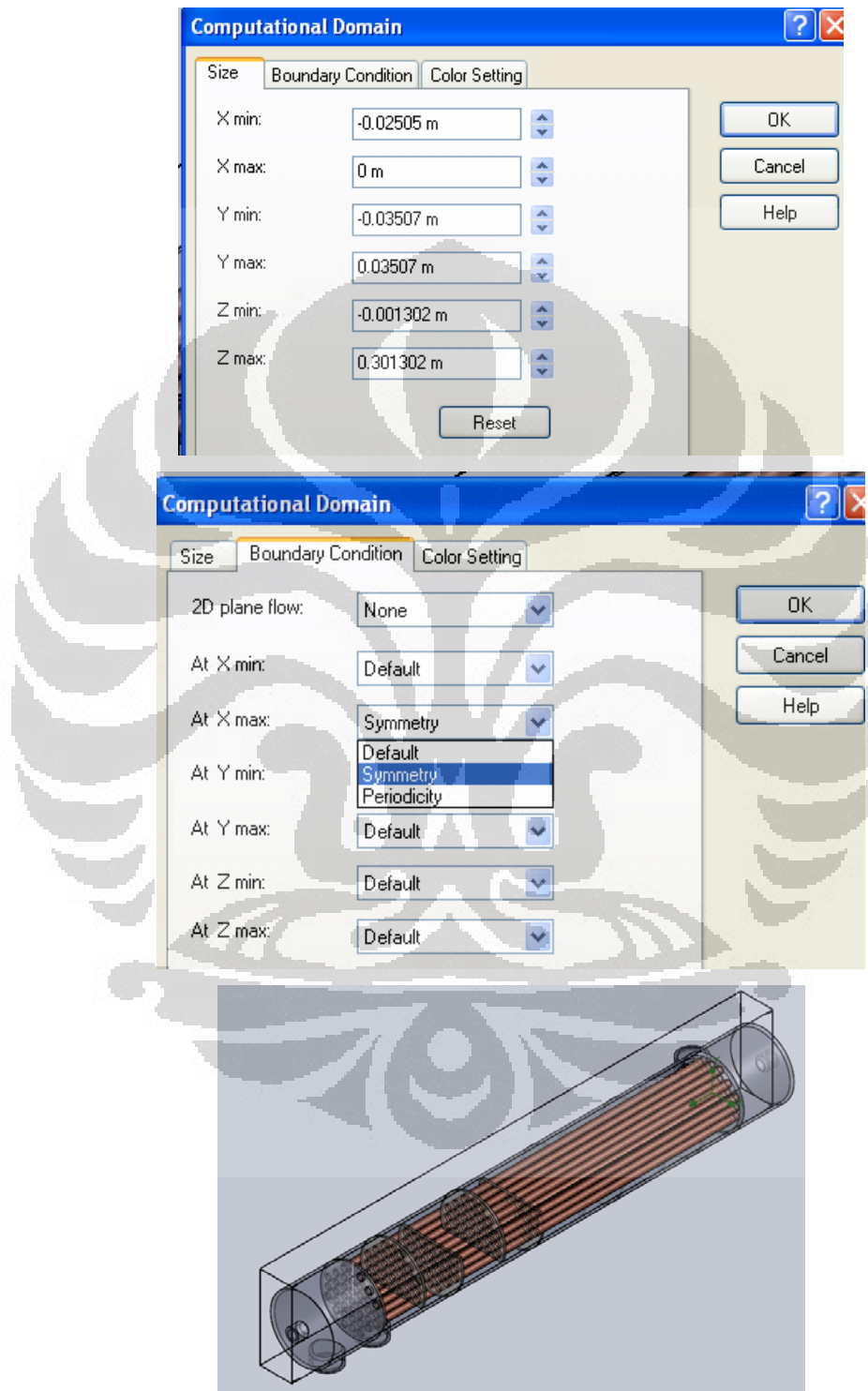


12. Untuk memperjelas gambar aktifkan fitur transparan



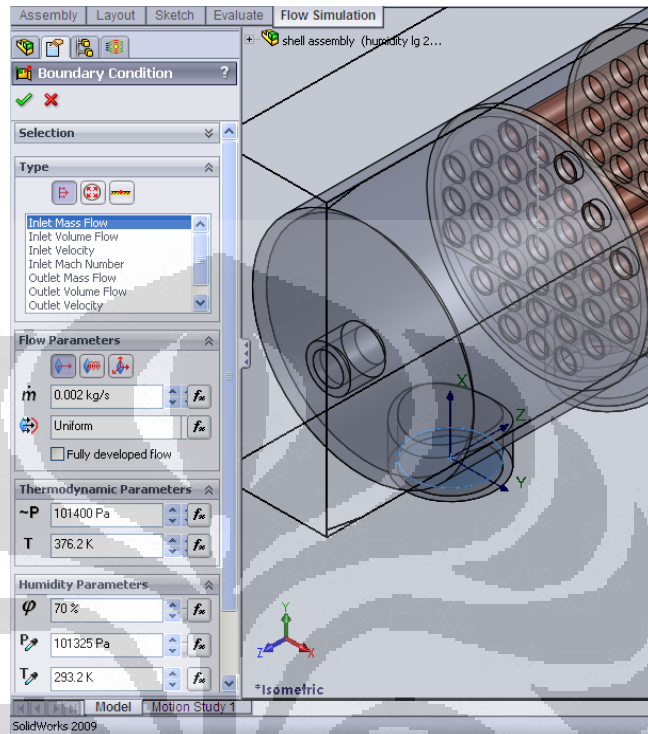
Universitas Indonesia

13. Setelah proses *wizard* selesai, selanjutnya kita harus menentukan *ComputationalDomain*. Karena model yang akan disimulasikan simetris, maka dapat disederhanakan menjadi setengahnya saja.

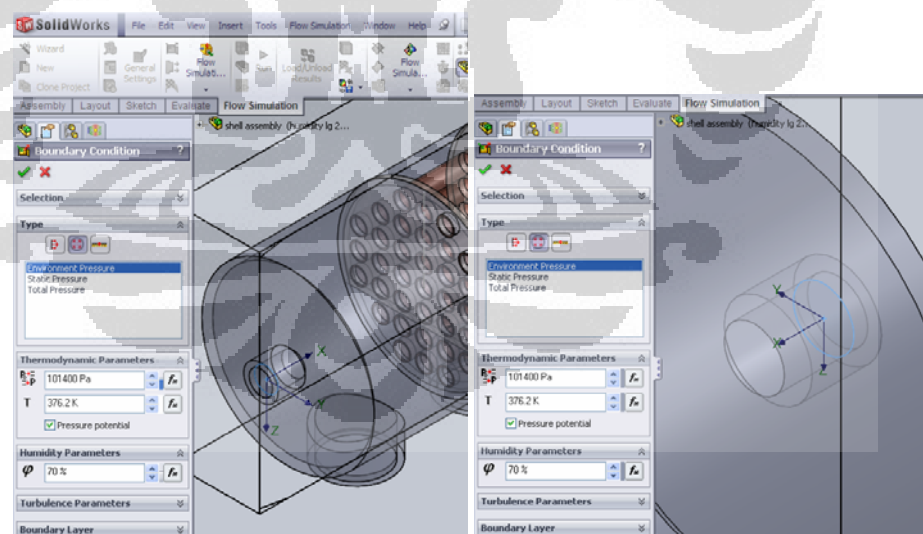


14. Selanjutnya kita harus menentukan *boundary conditions* dengan mengklik permukaan dalam *lid*.

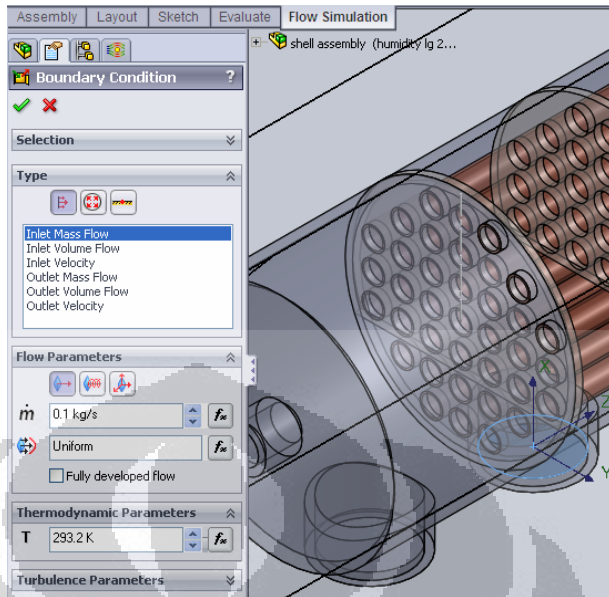
- Tentukan inlet hot fluid beserta parameter yang diperlukan



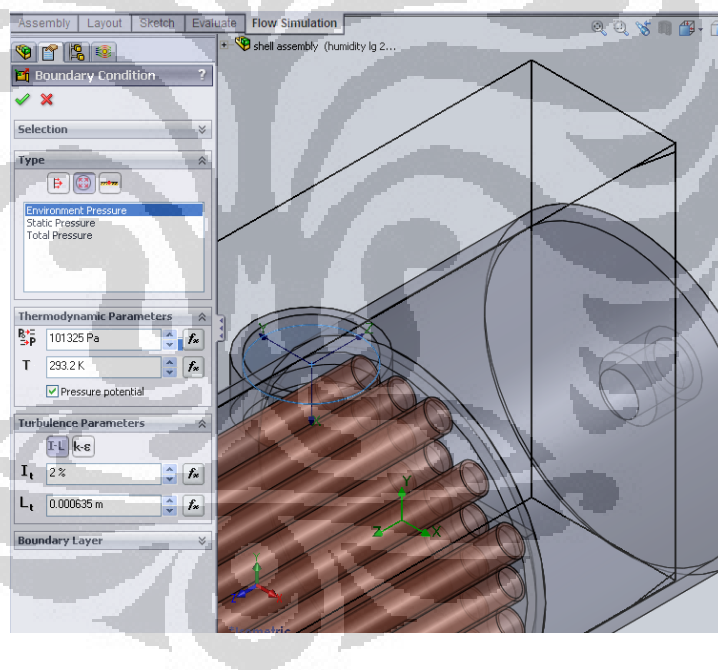
- Tentukan outlet hot fluid beserta parameter yang diperlukan



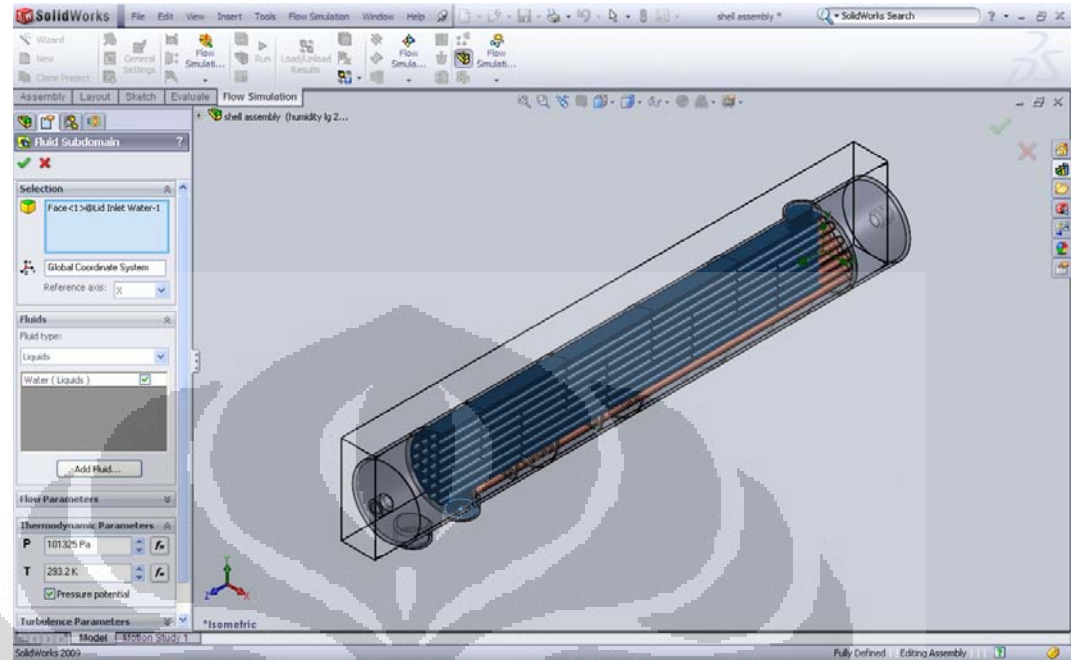
c. Tentukan inlet cold fluid beserta parameter yang diperlukan



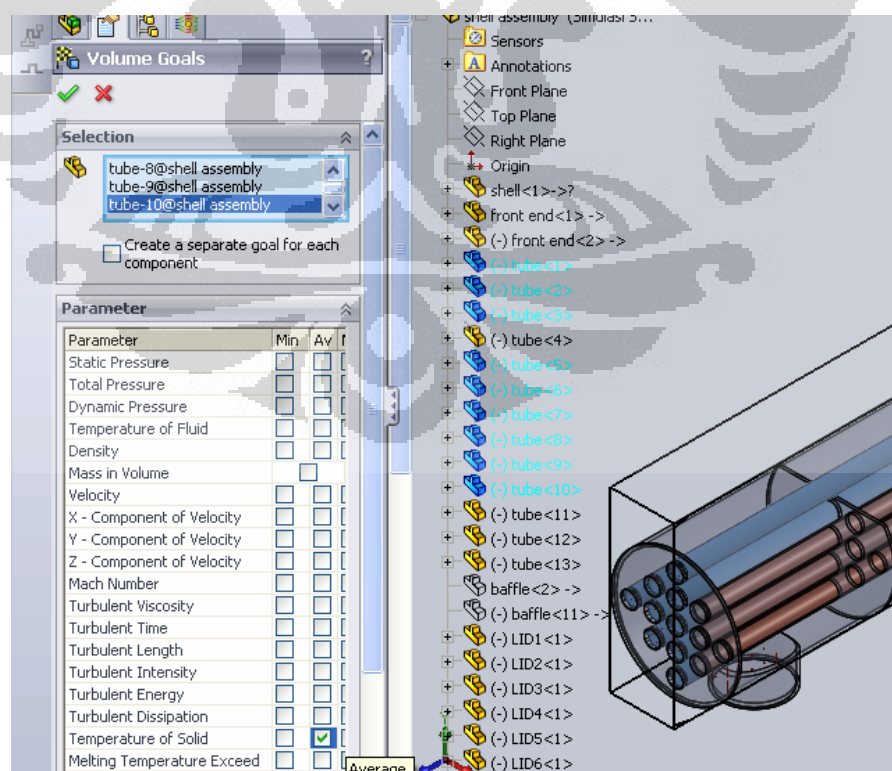
d. Tentukan outlet cold fluid beserta parameter yang diperlukan



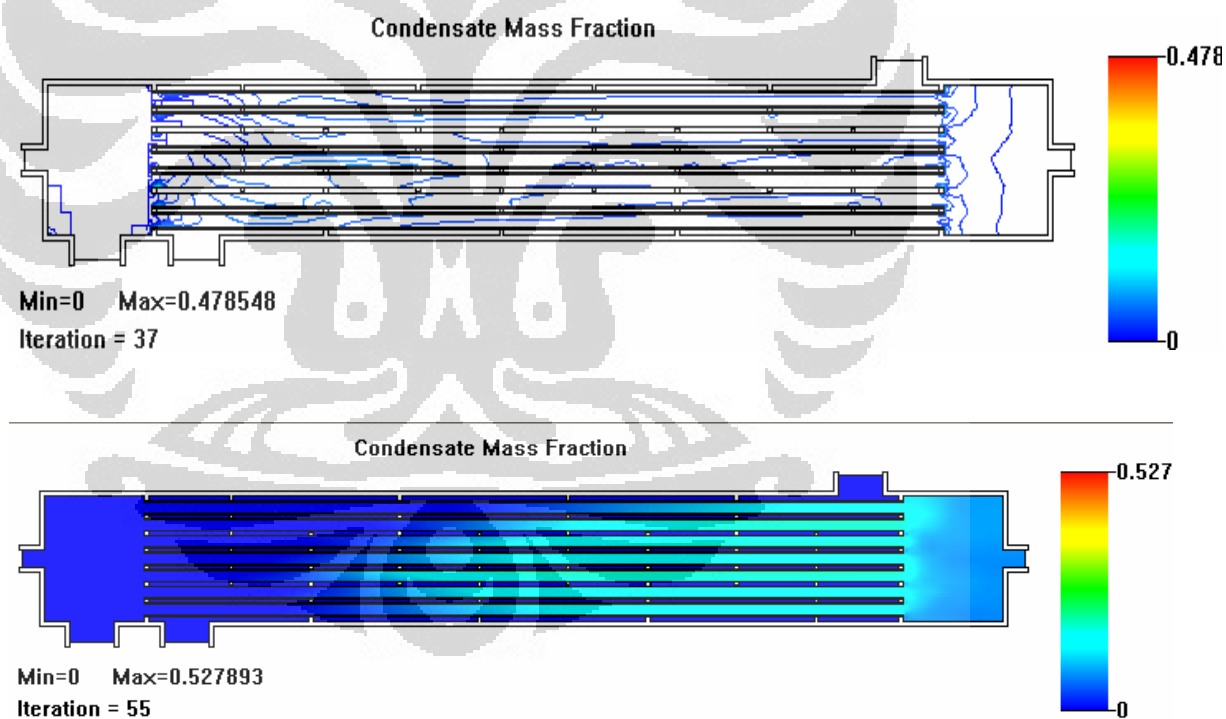
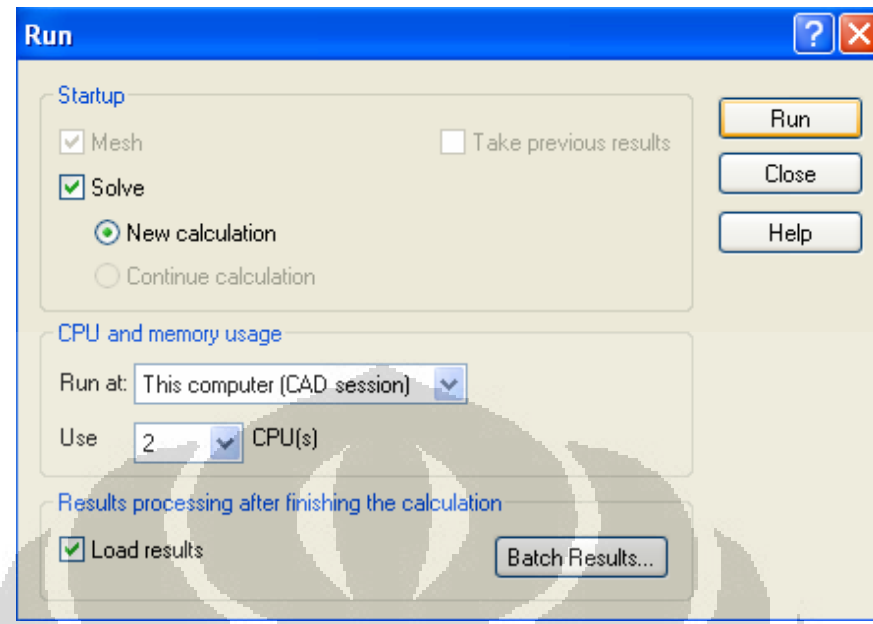
15. Karena disini ada 2 fluida maka tentukan *Fluid Subdomain* untuk fluida dingin, karena fluida panas sudah ditentukan sebagai default fluid



16. Setelah selesai saatnya menentukan *Goal* dan selesailah tahap *preprocessor*.



17. Untuk memulai simulasi Klik *Run* dan disinilah tahap processor berperan.



Proses simulasi dari iterasi ke iterasi bisa kita amati, baik dalam bentuk gradasi warna (contour) maupun isoline.

18. Setelah *Run* selesai, maka proses simulasi masuk ke tahap postprocessor, yaitu berupa tampilan gambar hasil simulasi.